




## USO DA BIOINFORMÁTICA PARA SELECIONAR MOLÉCULAS CANDIDATAS A FÁRMACOS

## USE OF BIOINFORMATICS TO SELECT CANDIDATE DRUG MOLECULES

## USO DE LA BIOINFORMÁTICA PARA SELECCIONAR MOLÉCULAS CANDIDATAS A FARMACOS

 <https://doi.org/10.56238/levv16n53-039>

Data de submissão: 10/09/2025

Data de publicação: 10/10/2025

### **Jullyana Bicalho Costa**

Mestrado

Instituição: Universidade Federal de Juiz de Fora

E-mail: [jullyanabicalho17@gmail.com](mailto:jullyanabicalho17@gmail.com)

Orcid: <https://orcid.org/0000-0002-7137-9359>

Lattes: <http://lattes.cnpq.br/1811532933524810>

### **Tainara Soares dos Santos**

Graduação

Instituição: Universidade Federal de Juiz de Fora

E-mail: [tainara.s.santos0@gmail.com](mailto:tainara.s.santos0@gmail.com)

Orcid: <https://orcid.org/0009-0008-0691-7457>

Lattes: <https://lattes.cnpq.br/1306245554915907>

### **Larissa Moura de Matos Franco**

Mestrado

Instituição: Universidade Federal de Juiz de Fora

E-mail: [larissammf2@gmail.com](mailto:larissammf2@gmail.com)

Orcid: <https://orcid.org/0009-0008-0691-7457>

Lattes: <http://lattes.cnpq.br/5818351350295605>

### **Ana de Araújo Sathler**

Mestrado

Instituição: Universidade Federal de Juiz de Fora

E-mail: [anasathler1994@outlook.com](mailto:anasathler1994@outlook.com)

Orcid: <https://orcid.org/0009-0009-7896-2887>

Lattes: <http://lattes.cnpq.br/9120688268358031>

### **Michelle Bueno de Moura Pereira**

Doutorado

Instituição: Universidade Federal de Juiz de Fora

E-mail: [michelle.antunes@ufjf.br](mailto:michelle.antunes@ufjf.br)

Orcid: <https://orcid.org/0000-0003-2065-1700>

Lattes: <http://lattes.cnpq.br/3378998327997426>

---

**RESUMO**

O desenvolvimento de novos fármacos pode apresentar diversos problemas, sendo um importante gargalo deste processo a capacidade de conciliar uma molécula que seja um potente inibidor farmacológico e que também tenha sua síntese possível de ser executada. Estudos computacionais prévios devem ser executados para direcionar moléculas com bons parâmetros farmacocinéticos, alta atividade biológica e também grande possibilidade de serem sintetizadas. Dentre várias ferramentas computacionais usadas no estudo de novos fármacos tem-se aquelas usadas para a predição de parâmetros farmacocinéticos. Após a identificação e validação de um alvo farmacológico, por exemplo, enzimas quinases em câncer, pode-se planejar moléculas promissoras para este alvo. Se o tipo de câncer for cerebral estudos de moléculas promissoras com a capacidade de atravessar a barreira hematoencefálica podem contribuir de maneira expressiva. Assim, o objetivo deste estudo é realizar estudos computacionais para seleção de moléculas promissoras para o tratamento de câncer cerebral. Para realização deste estudo foram selecionadas 98 moléculas. Como critério para essa seleção foi, primeiramente, avaliar a possibilidade de síntese destas moléculas. Em seguida, estudos computacionais realizados para avaliar parâmetros farmacocinéticos, capacidade de inibir quinases e de atravessar a barreira hematoencefálica. O resultado obtido neste estudo permitiu selecionar cinco moléculas mais promissoras. Tais moléculas poderão ser sintetizadas e testadas em experimentos in vitro. Pode-se concluir, portanto, que tal estudo permitiu a redução de um número considerado elevado de moléculas propostas para um número reduzido daquelas consideradas mais promissoras, reduzindo assim o tempo e dinheiro para o desenvolvimento de moléculas promissoras para o tratamento de desse tipo de câncer.

**Palavras-chave:** Câncer. Desenvolvimento de Novos Fármacos. Bioinformática.

**ABSTRACT**

The development of new drugs can present several challenges, with a significant bottleneck being the ability to combine a molecule that is both a potent pharmacological inhibitor and achievable for synthesis. Prior computational studies must be performed to identify molecules with good pharmacokinetic parameters, high biological activity, and a high likelihood of being synthesized. Among the various computational tools used in the study of new drugs are those used to predict pharmacokinetic parameters. After identifying and validating a pharmacological target, such as kinase enzymes in cancer, promising molecules can be designed for this target. If the cancer is brain cancer, studies of promising molecules with the ability to cross the blood-brain barrier can be significantly beneficial. Therefore, the objective of this study is to conduct computational studies to select promising molecules for the treatment of brain cancer. Ninety-eight molecules were selected for this study. The selection criterion was, first, to assess the feasibility of synthesizing these molecules. Next, computational studies were performed to evaluate pharmacokinetic parameters, kinase inhibition, and blood-brain barrier crossing. The results of this study allowed the selection of five most promising molecules. These molecules can be synthesized and tested in vitro. Therefore, it can be concluded that this study allowed the reduction of a considered large number of proposed molecules to a small number of those considered most promising, thus reducing the time and cost required to develop promising molecules for the treatment of this type of cancer.

**Keywords:** Cancer. New Drug Development. Bioinformatics.

## RESUMEN

El desarrollo de nuevos fármacos puede presentar diversos desafíos, siendo un obstáculo importante la capacidad de combinar una molécula que sea a la vez un potente inhibidor farmacológico y factible para la síntesis. Es necesario realizar estudios computacionales previos para identificar moléculas con buenos parámetros farmacocinéticos, alta actividad biológica y alta probabilidad de ser sintetizadas. Entre las diversas herramientas computacionales utilizadas en el estudio de nuevos fármacos se encuentran las que permiten predecir los parámetros farmacocinéticos. Tras identificar y validar una diana farmacológica, como las enzimas quinasas en el cáncer, se pueden diseñar moléculas prometedoras para dicha diana. Si se trata de un cáncer cerebral, los estudios de moléculas prometedoras con capacidad para atravesar la barrera hematoencefálica pueden ser significativamente beneficiosos. Por lo tanto, el objetivo de este estudio es realizar estudios computacionales para seleccionar moléculas prometedoras para el tratamiento del cáncer cerebral. Se seleccionaron noventa y ocho moléculas para este estudio. El criterio de selección fue, en primer lugar, evaluar la viabilidad de sintetizar estas moléculas. A continuación, se realizaron estudios computacionales para evaluar los parámetros farmacocinéticos, la inhibición de quinasas y el cruce de la barrera hematoencefálica. Los resultados de este estudio permitieron seleccionar las cinco moléculas más prometedoras. Estas moléculas pueden sintetizarse y probarse *in vitro*. Por lo tanto, se puede concluir que este estudio permitió reducir un gran número de moléculas propuestas a un pequeño número de las consideradas más prometedoras, reduciendo así el tiempo y el coste necesarios para desarrollar moléculas prometedoras para el tratamiento de este tipo de cáncer.

**Palabras clave:** Cáncer. Desarrollo de Nuevos Fármacos. Bioinformática.

## 1 INTRODUÇÃO

O desenvolvimento de novos fármacos pode apresentar diversos problemas, sendo um importante gargalo a capacidade de conciliar uma molécula que seja um potente inibidor farmacológico e que também tenha sua síntese possível de ser executada (GOLAN et al., 2008). Estudos computacionais prévios devem ser executados para selecionar moléculas com bons parâmetros farmacocinéticos, alta atividade biológica e também grande possibilidade de serem sintetizadas (FERNANDES et al., 2015). Esses estudos podem avaliar se uma molécula apresenta boa biodisponibilidade oral através da regra dos cinco de Lipinski. Essa regra tem como objetivo auxiliar químicos medicinais em decisões que estão relacionadas com modificações químicas, fazendo com que compostos com propriedades físico-químicas indesejáveis não sejam preparados. A regra foi criada com cinco propriedades moleculares que são importantes, sendo elas o log P, o número de doadores de ligações de hidrogênio, o número de aceptores de ligações de hidrogênio, o peso molecular, bem como, os pontos de interação para os principais alvos de fármacos, como os ligantes de receptores acoplados à proteína G, inibidores de quinases, moduladores de canais iônicos e receptores nucleares (SANTOS et al., 2018). A regra foi criada a partir de diversos fármacos estudados, que demonstraram baixa atividade farmacológica causada pela baixa absorção e permeabilidade, que foram consequência das seguintes propriedades: mais de cinco centros doadores de ligação de hidrogênio, mais do que 10 aceptores de ligação de hidrogênio, peso molecular maior que 500 unidades e Log P calculado maior do que 5, sendo todos parâmetros múltiplos de 5. A análise criada por Lipinski têm grande relevância e demonstra a importância da lipofilia na atividade farmacológica e no planejamento racional de qualquer fármaco (MIKOVSKI et al., 2018). Além da regra dos 5, o fármaco também necessita apresentar boas propriedades farmacodinâmicas e farmacocinéticas. As propriedades farmacodinâmicas demonstram as interações envolvidas no reconhecimento molecular dinâmico do ligante ao receptor e os grupos farmacofóricos definem a afinidade. As propriedades farmacocinéticas determinam a absorção, distribuição, metabolismo e eliminação do fármaco. As duas propriedades em conjunto irão determinar o perfil de eficácia e biodisponibilidade do fármaco (BARREIRO, 2007). A inserção de um novo medicamento no mercado pode ser demorada e dispendiosa até que se prove sua eficácia e segurança. Ao inserir um novo medicamento no mercado, é necessário provar que este candidato a fármaco tenha eficácia e segurança, tornando esse processo demorado. Através das abordagens de bioinformática como o método *in silico*, torna-se possível otimizar esse tempo e diminuir os gastos na produção desse novo medicamento. Isso porque através desses estudos *in silico*, é possível prever os perfis de absorção, distribuição, metabolismo, excreção e toxicidade (ADMET) fazendo com que o processo de descoberta seja mais rápido e de menor custo financeiro (PINHEIRO et al., 2022).

## 1.1 ETAPAS PARA DESCOBERTA DE NOVOS FÁRMACOS

A descoberta de um novo medicamento é iniciada quando há uma doença ou condição clínica que não possua produtos médicos adequados disponíveis, tornando uma necessidade clínica não atendida (HUGUES *et al.*, 2011). O processo da descoberta de fármacos é dividido em duas classes: descoberta e desenvolvimento (LOMBARDINO e LOWE, 2004). A fase inicial da busca pelo novo fármaco abrange a identificação e otimização de moléculas capazes de representar uma nova entidade química. (GUIDO *et al.*, 2010).

As moléculas bioativas têm sua busca realizada através de triagens reais ou virtuais de produtos naturais, compostos sintéticos ou coleções combinatórias, e ainda através de planejamento racional (GUIDO *et al.*, 2010). Quando há o conhecimento do alvo macromolecular como o complexo ligante-receptor torna-se possível o uso das estratégias de planejamento de novos fármacos baseadas na estrutura do receptor, sendo essa uma abordagem fisiológica, que se baseia no mecanismo de ação pretendido. Esta abordagem é fundamentada no conhecimento prévio do processo fisiopatológico e alvo terapêutico. Este alvo, sendo uma enzima ou um receptor, pode ter sua estrutura molecular bem conhecida ou não. Quando há o conhecimento do sítio de interação, torna-se possível desenhar inibidores ou ativadores enzimáticos assim como agonistas ou antagonistas de receptores. Ao encontrar esse novo candidato a fármaco, identificam-se suas propriedades farmacodinâmicas a fim de analisar se suas propriedades estruturais são aptas para o reconhecimento molecular. Quando necessário são introduzidas modificações moleculares nesses candidatos a fármaco para melhorar seu perfil de biodisponibilidade (BARREIRO, 2014; ANDRADE *et al.*, 2016). No entanto, quando a estrutura alvo não é conhecida podem ser utilizados métodos de desenho de drogas baseados na estrutura do ligante em que são investigadas suas propriedades e características de séries de ligantes bioativos (ANDRADE *et al.*, 2016). Quando não há conhecimento do sítio de interação, o desenho molecular do inibidor/ativador enzimático ou agonista/antagonista do receptor inicia-se a partir da estrutura da micromolécula endógena que está envolvida no processo fisiopatológico, podendo identificar assim um novo análogo. Após ser descoberto este novo análogo deve ser otimizado e suas propriedades farmacocinéticas, farmacodinâmicas e toxicidade devem ser testadas (BARREIRO, 2014).

Um dos passos mais importantes para o desenvolvimento de um novo medicamento é a identificação e validação do alvo (HUGUES *et al.*, 2011). A validação é de extrema importância no processo fisiopatológico e sua modulação seletiva tem grande impacto no tratamento ou cura da doença (Guido *et al.*, 2010). O objetivo da validação é prever se a modulação do alvo terapêutico será capaz de gerar uma resposta biológica satisfatória, suas técnicas variam de ferramentas *in vitro* ao uso de modelos de animais inteiros e à modulação de um alvo desejado em pacientes doentes. Cada abordagem é válida entre si, mas o resultado observado tem maior confiança quando realizada uma abordagem de validação múltipla (ANDRADE *et al.*, 2016; HUGUES *et al.*, 2011).

Após ser identificado e otimizado, inicia-se o desenvolvimento do fármaco passando pelos estudos clínicos de fase I que identificam a toxicidade em indivíduos saudáveis, fase clínica II que realiza estudos de eficácia e segurança, fase clínica III eficácia e segurança em populações maiores. Também é realizado estudos farmacocinéticos, tais como absorção, distribuição, metabolismo e excreção e, então, após passar por todas essas análises é realizada a requisição para aprovação do novo fármaco nos órgãos reguladores tal como Agência Nacional de Vigilância Sanitária (ANVISA). E após ser aprovado, existe ainda a fase IV onde realiza a Farmacovigilância pós- comercialização (GUIDO et al., 2010).

## 1.2 FERRAMENTAS PARA A DESCOBERTA DE NOVOS FÁRMACOS

A abordagem para estudos de descoberta de novos fármacos que usam a bioinformática levou a um aumento significativo na identificação de alvos terapêuticos. Tal ferramenta pode auxiliar não só na identificação, mas também na seleção e priorização de possíveis alvos de doenças (YANG et al., 2009). Com o auxílio das metodologias de bioinformática tornou-se possível delinear a identificação, seleção e otimização de moléculas que são capazes de interagir com alta afinidade e seletividade com um alvo molecular selecionado. Tal alvo pode ser uma enzima ou receptor. Várias estratégias podem ser empregadas nesta abordagem, dentre elas a organização de bases de dados, a aplicação de filtros moleculares, o emprego de triagens biológicas automatizadas em alta escala e o uso da triagem virtual (GUIDO et al., 2010).

Uma ferramenta para a descoberta de novos fármacos é a investigação intensiva de SAR (Relação estrutura-atividade) em torno de cada estrutura de composto central, com medições sendo feitas para estabelecer a magnitude da atividade e a seletividade de cada composto. A investigação é realizada sistematicamente e, quando há informações estruturais sobre o alvo, podem ser utilizadas técnicas de desenho de moléculas baseadas em estrutura usando modelagem molecular e metodologias como cristalografia de raios-X (HUGUES et al., 2011).

A modelagem *in silico* das propriedades farmacocinéticas ADME (a absorção, distribuição, metabolismo e excreção) pode ser realizada por diversas abordagens, variando de abordagens de banco de dados, como a relação estrutura-atividade quantitativa (QSAR), pesquisas de similaridade, QSAR tridimensional, a métodos baseados em estrutura, como ancoragem de ligante-proteína e modelagem farmacofórica (ANDRADE et al., 2016).

O estudo através da triagem virtual baseado na estrutura do ligante, ocorre de acordo com as informações sobre o arranjo topológico dos alvos biológicos, sendo esta informação obtida por análise de estruturas cristalizadas, Ressonância nuclear magnética (NMR) ou modelagem por homologia. A triagem virtual baseada na estrutura do receptor emprega métodos de estudos tais como *molecular docking* na análise de grandes bases de dados de compostos para realizar a caracterização de um espaço

químico e biológico ideal, tal como sítio ativo de uma enzima e permitir a seleção de compostos para testes bioquímicos e/ou biológicos (ANDRADE et al., 2016).

### 1.3 USO DA BIOINFORMÁTICA PARA A DESCOBERTA DE NOVOS FÁRMACOS

As ferramentas de bioinformática têm papel fundamental na obtenção de uma melhor compreensão dos efeitos das variantes genômicas na eficácia e toxicidade dos medicamentos, estudos *in silico* de várias propriedades das moléculas candidatas à fármaco auxiliando assim as empresas farmacêuticas. Essas informações são utilizadas para melhorar a qualidade dos alvos enviados para testes de medicamentos, com o objetivo de minimizar o custo do desenvolvimento de medicamentos (MAH et al., 2011). Sendo assim, a bioinformática nos permite reduzir o tempo de produção desses novos medicamentos e reduzir as despesas de pesquisa e desenvolvimento de medicamentos, tornando-os mais produtivos (LIANG et al., 2019). Essas ferramentas possibilitam a organização, o gerenciamento, a visualização e interpretação da informação gerada e tem como objetivo o estabelecimento de padrões de correlação entre inúmeros eventos bioquímicos e celulares envolvidos no estado de doença (GUIDO et al., 2010).

A bioinformática combina diversas ferramentas da matemática, ciência da computação e biologia tornando possível elucidar e entender com mais eficiência as implicações biológicas e o significado de uma variedade de dados de sequência e estrutura, assim como desvendar dados biológicos, o que tem auxiliado fortemente na pesquisa e no desenvolvimento de muitas áreas relativas à biologia (LIANG et al., 2019). A revolução biotecnológica fornece informações úteis para a descoberta de fármacos, gerando uma variedade de aplicações por meio do monitoramento de indicadores celulares ou bioquímicos, essas aplicações se iniciam nas etapas de identificação de alterações fisiológicas e/ou metabólicas induzidas pelo estado de doença e permanecem até a avaliação dos efeitos dos fármacos sobre o organismo humano (GUIDO et al., 2010).

### 1.4 INIBIDORES DE QUINASES

Em todas as proteínas quinases existe um domínio catalítico que contém uma fenda onde se liga uma molécula de ATP. Quando ocorre uma alteração conformacional destas enzimas, bloqueiam-se os sítios de ligação de ATP causando então uma inibição alostérica. Essa inibição alostérica é muito utilizada no planejamento de fármacos e em especial moléculas de baixa massa molecular (SILVA et al., 2009). Os inibidores de proteínas quinases permeiam as células e se tornam reagentes importantes na investigação dos papéis fisiológicos das proteínas quinases, pois podem rapidamente bloquear a atividade de quinases endógenas em células e tecidos normais, bem como em linhagens celulares transformadas. Existe uma infinidade de inibidores de proteínas quinases e com essa variedade torna-



se difícil a escolha de molécula que poderá ser um inibidor específico de uma proteína quinase (BAIN et al., 2007).

Alterações genéticas, incluindo mutações, superexpressão, translocações e desregulação das proteínas quinases ocasionam diversas doenças como doenças autoimunes, cardiovasculares, inflamatórias e nervosas, e também o câncer. Por esse motivo, cerca de 20 a 33% do empenho de descoberta de medicamentos envolvem as proteínas quinases. Um grande número de inibidores de proteína quinase de pequenas moléculas já foi aprovado pela Food and Drug Administration (FDA) dos EUA, sendo quase todos eficazes por via oral (ROSKOSKI, 2020). As quinases estão envolvidas em papéis-chave de diversas vias que interfere em processos fisiológicos essenciais, principalmente no câncer, como transcrição, metabolismo, progressão do ciclo celular, apoptose e desenvolvimento. Isso ocorre em grande parte pois as proteínas quinases catalizam a transferência de fosfato do trifosfato de adenosina (ATP) para um resíduo de serina, treonina ou tirosina de uma proteína. Com todos esses fatores, a inibição seletiva de quinases é uma abordagem terapêutica muito aceita para o tratamento do câncer (PATEL e DOERKISEN, 2010).

### 1.5 BARREIRA HEMATOENCEFÁLICA

Através de experimentos realizados pelo cientista Paul Ehrlich foi criado o conceito de barreira hematoencefálica (BHE), que surgiu no final do século XIX, na Alemanha, após injeções de corantes em animais tanto na circulação arterial como na venosa todos os órgãos, exceto o cérebro e a medula espinhal, se coravam, levando a hipótese de dois compartimentos (ROJAS et al., 2011).

A BHE é um importante componente de uma rede de comunicação conectando o sistema nervoso central e os tecidos periféricos, também funciona como uma interface que limita e regula a troca de substâncias entre sangue e o sistema nervoso central (BANKS, 2006). A impermeabilidade da BHE é o resultado de uma série de características únicas, que acrescenta dificuldade as moléculas tentando penetrar nesta barreira. Esta propriedade é baseada na existência de uma permeabilidade muito restrita do endotélio, além da presença de enzimas degradantes presentes em grande número no interior do endotélio de modo que, com exceção de água, gases como oxigênio e o dióxido de carbono e determinadas moléculas lipossolúveis muito pequenas podem passar de forma íntegra. As moléculas hidrofílicas, que são essenciais para o metabolismo do cérebro, tais como íons, glicose, aminoácidos e componentes de ácido nucléico, passam pela BHE através de canais especializados (BEGLEY, 2003). No transporte das moléculas hidrofílicas, tais como peptídeos e proteínas que não têm um sistema de transporte específico, o transporte ocorre de forma mais lenta do que nas moléculas lipofílicas, porém podem atravessar quantidades suficientes para causam um efeito mediado por receptores nos neurônios. Alguns tipos especiais de proteínas ou peptídeos como, por exemplo, hormônios periféricos e peptídeos regulatórios que exercem sua ação no cérebro geralmente têm sistemas especializados de



transporte saturável em toda a BHE. Através disso a BHE se torna altamente restritiva, mas ainda pode ser incapaz de impedir a passagem de algumas toxinas e agentes terapêuticos, tais como os fármacos da corrente sanguínea para o cérebro (BANKS, 2010).

## 1.6 SÍNTESE DE MOLÉCULAS ORGÂNICAS

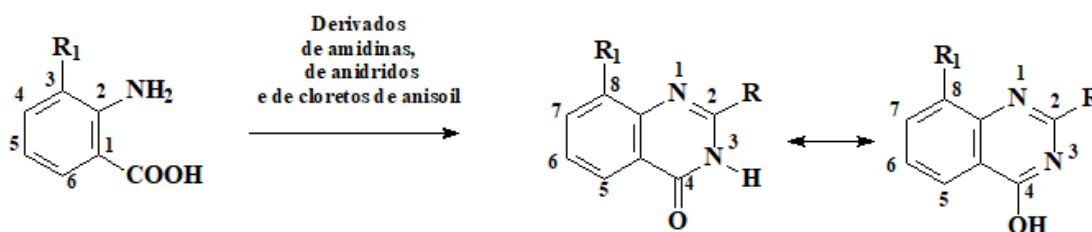
A síntese de moléculas orgânicas é uma etapa limitante do desenvolvimento de novos fármacos (GOLAN et al., 2008). Assim, torna-se importante a identificação de um grupo farmacofórico cuja rotas sintéticas sejam conhecidas e testadas. O farmacóforo quinazolina, por exemplo, é amplamente reconhecido em síntese orgânica e pode ser encontrado em uma grande variedade de compostos diferentes, como por exemplo, nos derivados de 4-anilinoquinazolinonas, com propriedades biológicas reconhecidas (REWCASTLE, 2000). Esses compostos já foram reportados na literatura como inibidores potentes e seletivos da atividade de tirosina quinases da família de receptores do fator de crescimento endotelial EGF (FRY, 1994). Além disso, o conhecimento do processo de inibição dessas enzimas parece ser o caminho para a terapia de muitas doenças, tais como câncer, “psoríasis”, diabetes, doenças cardiovasculares entre outras (LEVITZKI, 2006).

Desenvolver uma molécula promissora para ser novo fármaco requer conhecimento de diversas ferramentas computacionais, tais como a bioinformática. Assim, estudos como este podem ajudar a encontrar moléculas promissoras para tratamento de câncer cerebral.

## 2 METODOLOGIA

O uso de esquema de rotas sintéticas conhecidos foi utilizado para selecionar possíveis moléculas com potencial para serem sintetizadas (Esquema 1).

Esquema 1 – Procedimento de ciclização para derivados de 4-(3*H*)-quinazolinonas. *Reagentes e condições*: (a) acetato de formamidina, 140 °C, 8h; (b) dicloridrato de guanidina; NaOEt, EtOH, 130 °C, 5h. (c) dibromidrato de 2-aminoacetamidina, MeOH, 80 °C, 6h; (d-e) anidridos acético e benzóico, refluxo, 2h e NH<sub>3</sub>; (f-h) (i) Cloreto de *o*, *m*, *p*-anisoila, Et<sub>3</sub>N (2 eq), THF, TA, 3h; ii) NH<sub>3</sub>; iii) 5% KOH aq, EtOH, refluxo, 1h.



Fonte: Elaborada pelo autor. (2025)

No esquema 1 os substituintes R e R1 foram racionalmente testados para possibilidade de execução da síntese e as outras etapas de estudos *in silico*. A partir do esquema 1 foram testadas 98 moléculas. Para todas as moléculas propostas foi mantido o mesmo grupo farmacofórico variando

apenas os substituintes. Todas as moléculas propostas foram desenhadas em programas computacionais tais como *ChemSketch* e *MarvinSketch*. Em seguida, todas as moléculas foram submetidas em plataformas computacionais para avaliar parâmetros farmacocinéticos. A plataforma computacional *Molinspiration* (<https://www.molinspiration.com/>) permitiu selecionar moléculas com perfil para boa disponibilidade oral de acordo com a “Regra dos cinco de Lipinsk”. Além da biodisponibilidade oral, as moléculas também foram estudadas para outros parâmetros farmacocinéticos e toxicológicos. As plataformas computacionais *Swiss ADME* (SwissADME) e *ADMETlab* (<https://admet.scbdd.com/>) foram utilizadas de modo que as moléculas submetidas em tais plataformas pudessem ter os parâmetros calculados. As moléculas que não apresentaram bons parâmetros farmacocinéticos e toxicológicos foram excluídas deste estudo, uma vez que tal estudo tem como objetivo as moléculas mais promissoras.

A plataforma *Molinspiration* também permite que as moléculas introduzidas possam ser avaliadas quanto a capacidade de inibição de quinases. Tal resultado, também pode ser apresentado como capacidade de uma molécula apresentar-se bioativa. Todas as moléculas foram introduzidas nesta plataforma para realização deste cálculo.

A plataforma *ADMETlab* permitiu calcular, além de outras propriedades farmacocinéticas, a capacidade das moléculas deste estudo em atravessar a Barreira Hematoencefálica (BHE). As moléculas propostas foram introduzidas nesta plataforma e o cálculo para capacidade de atravessar a BHE foi então calculado.

Os cálculos para todas as 98 moléculas propostas neste estudo foram realizados. As plataformas computacionais utilizadas apresentam resultados para os cálculos como sendo uma probabilidade do resultado para cada parâmetro analisado que já foi realizado os mesmos parâmetros em testes experimentais. Assim, os resultados normalmente são expressos em números de probabilidade variando de 0,00 a 99,99. Quanto maior número, maior a probabilidade de o resultado reproduzir um teste experimental de uma fração de cada molécula que já foi realizado tal teste *in vitro*. Portanto, foi realizado os cálculos para todas as moléculas criando o *score* (moléculas mais promissoras > moléculas menos promissoras). Para isso, foi adotado pesos para os principais critérios deste estudo: capacidade de atravessar a BHE – peso 3, capacidade de ser inibidor de quinase - peso 2 e inibidor de enzima - peso 1.

### 3 RESULTADOS E DISCUSSÃO

O presente estudo permitiu selecionar 98 moléculas para serem avaliadas quanto à capacidade de serem sintetizadas. De acordo com o Esquema 1, todas as moléculas foram propostas variando substituições R e R1. Essa pré-seleção foi muito importante porque todas as moléculas propostas neste estudo tiveram sua rota sintética conhecida e passível de serem sintetizadas. As rotas sintéticas

propostas já foram realizadas com elevado índice de rendimento (CONNOLLY et al., 2005). As moléculas propostas foram avaliadas quanto à capacidade de ter boa biodisponibilidade oral através da regra de cinco de Lipinski e outros parâmetros farmacocinéticos.

A tabela do anexo A mostra 98 moléculas (numeradas de 1 a 98) que foram estudadas sendo avaliadas seus perfis farmacocinéticos *in silico*. De acordo com os cálculos realizados neste estudo em relação à violação da regra de cinco de Lipinski as moléculas 5, 7, 8, 10, 14, 15, 16, 18, 25, 26, 34, 37, 48, 56, 61, 65, 67, 70, 75, 82, 83, 86, 87 e 93 tiveram violações da regra. Dentre as moléculas com violação, apenas as moléculas 25, 37, 82 e 93 não apresentaram violação do requisito *LogP*, todas as demais violaram pelo menos um requisito desta regra, portanto, essa primeira abordagem permitiu excluir moléculas consideradas pobres em biodisponibilidade oral, ou seja, que provavelmente possuem má absorção. Alguns estudos computacionais usaram esses parâmetros como um filtro para selecionar moléculas mais promissoras em termos de biodisponibilidade oral (FERNANDES et al., 2015). Outras moléculas também foram excluídas deste estudo quando não foi permitido cálculo de um dos parâmetros estudados. Outros parâmetros farmacocinéticos também foram avaliados *in silico* (Anexo A) o que permitiu corroborar com a seleção das moléculas mais promissoras deste estudo. Estudos para o desenvolvimento de novos fármacos devem abordar parâmetros farmacocinéticos para excluir moléculas que não possam, por exemplo, ter boa absorção, distribuição, metabolismo, excreção e ser tóxica (ANTUNES e PEREIRA, 2019).

Os resultados para calcular a probabilidade de inibição de quinases e inibição de enzimas foram obtidos pelo uso da plataforma computacional *Molinspiration* (Anexo A). Tal plataforma utiliza fragmentos de moléculas que já foram testadas experimentalmente *in vitro* para criar um modelo de relação estrutura atividade (QSAR) calibrado e validado. Assim, quando novas moléculas propostas são inseridas neste modelo, o mesmo poderá prever possibilidade de inibição das quinases e das enzimas baseando-se nesta relação QSAR (<https://www.molinspiration.com/docu/midv/index.html>).

A análise de inibição de quinase foi um dos critérios mais importante neste estudo. Tal parâmetro é importante, pois as enzimas quinases são responsáveis pela fosforilação de proteínas que podem ativar estímulos intracelulares e extracelulares importantes no controle da atividade dessas proteínas (SILVA et al., 2009). Tais proteínas regulam diversas funções como o ciclo celular, proliferação, diferenciação, mobilidade e a sobrevivência ou morte celular. Para que essas enzimas sejam desreguladas, também há ativação através da fosforilação, porém ocorre uma ativação anormal por algum oncogene e consequentemente essa proteína quinase desempenha sua função de modo a auxiliar na formação de tumores e crescimento de células cancerígenas, proliferando essas células em excesso, impedindo a apoptose, entre outros mecanismos. Através dessas informações diversas drogas estão sendo produzidas na intenção de inibir o local de ligação do ATP inibindo assim, por exemplo, a

cascata de sinalização, fazendo com que não ocorra a divisão celular (LOPES et al., 2009; AZEVEDO et al., 2017). Devido à relevância da capacidade dessas moléculas em inibir quinases e essas enzimas estarem relacionadas com câncer atribuiu-se a esse parâmetro um *peso 2* (Anexo C).

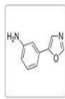
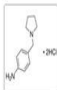
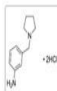
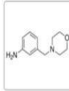
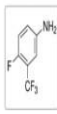
A probabilidade de cada molécula ser considerada um bom inibidor de enzimas também foi avaliada (Anexo C), mas como isso é um parâmetro bastante amplo em relação ao desenvolvimento de novos fármacos para tratamento de câncer, foi atribuído a este parâmetro *peso 1*. Existem algumas evidências em relação à inibição de enzimas ser importante para o tratamento de câncer, por exemplo, nos casos das enzimas  $\beta$ -glicuronidase e nitroredutase que quando tem sua produção diminuída pode ocasionar a hidrólise de compostos carcinogênicos diminuindo as substâncias nocivas (DENIPOTE et al., 2010). Alguns estudos também demonstram a importância de enzimas proteolíticas no processo de invasão tumoral (CAPELOZZI, 2009).

Um estudo da probabilidade de atravessar a Barreira Hematoencefálica pelas moléculas também foi avaliado *in silico* (Anexo B). Para realizar este estudo foi utilizado a plataforma *ADMETlab*. No presente estudo, uma molécula que tenha capacidade de atravessar a BHE é extremamente relevante. Assim, foi definido para esse parâmetro *peso 3*, uma vez que as moléculas mais promissoras deste estudo podem ser consideradas para tratamento de câncer cerebral. Nesse sentido, para que um fármaco tenha a ação desejada no local do tumor cerebral, é necessário que ele atravesse a BHE. Tal barreira tem como função impedir a passagem de macromoléculas, ela é uma estrutura que dificulta o acesso de substâncias do sangue para o sistema nervoso central assim como fármacos (VIEIRA e SOUSA, 2013).

A Tabela 1 mostra as cinco moléculas mais promissoras deste estudo. A classificação destas moléculas foi realizada considerando os três parâmetros mais importantes abordados: capacidade de atravessar a BHE que recebeu a denominação BBB do inglês *blood-brain barrier*; inibidor de quinase e inibidor de enzimas. Para cada um destes parâmetros foi atribuído *peso 3*, *2* e *1* respectivamente. Para cada molécula os valores destes parâmetros foram calculados e os resultados foram multiplicados pelo respectivo *peso* (Anexo C). Dessa forma, após a realização dos cálculos e multiplicações pelos respectivos *pesos* um valor final denominado “Nota total” foi obtido para cada molécula. Assim, as moléculas foram todas classificadas de acordo com a sua “Nota total” sendo que a molécula 49 obteve o maior valor, sendo, portanto, considerada a moléculas mais promissora deste estudo. Outras quatro moléculas 47, 55, 43 e 27 compõem o grupo das cinco melhores moléculas. Essas cinco moléculas mais promissoras podem apresentar bom perfil farmacocinético, boa biodisponibilidade oral, apresentam um alto potencial para inibir quinases e potencial capacidade de atravessar a BHE. As moléculas 47 e 43 apresentaram 93% de probabilidade de atravessarem a BHE, sendo considerado um resultado promissor para o desenvolvimento de uma molécula para câncer cerebral. Assim, este estudo

permitiu selecionar cinco moléculas mais promissoras para síntese e posterior testes *in vitro*, considerados etapas iniciais do desenvolvimento de novos fármacos.

Tabela 1: Classificação de moléculas promissoras.

Classificação	Moléculas	BBB	Inibidor de quinase	Inibidor de enzima	Nota total
1) Molécula 49	<p>49]</p> <p><a href="#">CDS014206</a></p>  <p><b>3-(1,3-oxazol-5-yl)aniline</b> Empirical Formula (Hill Notation): <math>C_9H_7N_2O</math> CAS No.: 157837-31-5    Peso molecular: 160,17</p>	0,727x 3=2,181	0,94x 2=1,88	0,62x 1=0,62	4,681
2) Molécula 47	<p>47]</p> <p><a href="#">CBR00966</a></p>  <p><b>4-(Pyrrolidin-1-ylmethyl)aniline dihydrochloride</b> Empirical Formula (Hill Notation): <math>C_{11}H_{14}Cl_2N_2</math> Peso molecular: 248,18</p>	0,934x 3=2,802	0,67 x 2=1,34	0,26 x 1=0,26	4,402
3) Molécula 55	<p>55]</p> <p><a href="#">CBR01277</a></p>  <p><b>3-(Pyrrolidin-1-ylmethyl)aniline dihydrochloride</b> Empirical Formula (Hill Notation): <math>C_{11}H_{14}Cl_2N_2</math> Peso molecular: 248,18</p>	0,929x 3=2,787	0,67x 2=1,34	0,25x 1=0,25	4,377
4) Molécula 43	<p>43]</p> <p><a href="#">CDS007538</a></p>  <p><b>3-(morpholin-4-ylmethyl)aniline</b> Empirical Formula (Hill Notation): <math>C_{12}H_{14}N_2O</math> Peso molecular: 192,26</p>	0,934x 3=2,802	0,66x 2=1,32	0,20x 1=0,20	4,322
5) Molécula 27	<p>27[21778</p>  <p><b>4-Fluoro-3-(trifluoromethyl)aniline</b> Sinônimo: 3-amino-2-fluorobenzoato de 2,2,2-trifluoroetileno Formula bruta: <math>C_8H_5F_4N</math> CAS No.: 2357-40-3    Peso molecular: 179,11 EC No.: 219-095-7</p>	0,844x 3=2,532	0,74x 2=1,48	0,24x 1=0,24	4,255

Fonte: Elaborada pelo autor. (2025)

## 4 CONCLUSÃO

O uso de ferramentas computacionais tal como a bioinformática permitiu realizar um estudo de 98 moléculas candidatas à fármacos. As moléculas foram avaliadas em relação à parâmetros considerados importantes neste estudo. Após a realização deste estudo pode-se propor cinco moléculas mais promissoras para síntese e futuro testes *in vitro*. Tal resultado pode ser considerado uma etapa importante para desenvolvimento de novos fármacos para o tratamento do câncer cerebral.

## REFERÊNCIAS

- ANDRADE, EL et al. Estudos não clínicos necessários para o desenvolvimento de novos medicamentos - Parte I: estudos iniciais in silico e in vitro, descoberta e validação de novos alvos, comprovação de princípios e robustez de estudos em animais. **Revista Brasileira de Pesquisas Médicas e Biológicas**, v. 49, 2016.
- ANTUNES, Joao Eustaquio; DE MOURA PEREIRA, Michelle Bueno. Rational Computational Study for New Kinase Inhibitors. **Journal of Drug Design and Medicinal Chemistry**, v. 5, n. 3, p. 40-46, 2019.
- AZEVEDO, Liviane D. de et al. Sínteses e propriedades de fármacos inibidores da tirosina quinase BCR-ABL, utilizados no tratamento da leucemia mieloide crônica. **Química Nova**, v. 40, p. 791-809, 2017.
- BAIN, Jenny et al. The selectivity of protein kinase inhibitors: a further update. **Biochemical Journal**, v. 408, n. 3, p. 297-315, 2007.
- BANKS, William A. The blood-brain barrier as a regulatory interface in the gut-brain axes. **Physiology & behavior**, v. 89, n. 4, p. 472-476, 2006.
- BANKS, William A.; ERICKSON, Michelle A. The blood-brain barrier and immune function and dysfunction. **Neurobiology of disease**, v. 37, n. 1, p. 26-32, 2010.
- BARREIRO, Eliezer J. Estratégia de simplificação molecular no planejamento racional de fármacos: a descoberta de novo agente cardioativo. **Química nova**, v. 25, p. 1172-1180, 2002.
- BARREIRO, Eliezer J.; FRAGA, Carlos Alberto Manssour. **Química Medicinal-: As bases moleculares da ação dos fármacos**. Artmed Editora, 2014.
- SILVA, Bárbara V. et al. Proteínas quinases: características estruturais e inibidores químicos. **Química nova**, v. 32, n. 2, p. 453-462, 2009.
- BEGLEY, David J.; BRIGHTMAN, Milton W. Structural and functional aspects of the blood-brain barrier. **Peptide transport and delivery into the central nervous system**, p. 39-78, 2003.
- CAPELOZZI, Vera Luiza. Papel da imuno-histoquímica no diagnóstico do câncer de pulmão. **Jornal Brasileiro de Pneumologia**, v. 35, p. 375-382, 2009.
- CONNOLLY, Terrence J.; MCGARRY, Patrick; SUKHTANKAR, Sunil. An eco-efficient pilot plant scale synthesis of two 5-substituted-6, 7-dimethoxy-1-H-quinazoline-2, 4-diones. **Green Chemistry**, v. 7, n. 8, p. 586-589, 2005.
- DE DEUS VIEIRA, Gabriel; DE SOUSA, Camila Maciel. Aspectos celulares e fisiológicos da Barreira Hematoencefálica. **Journal of Health & Biological Sciences**, v. 1, n. 4, p. 166, 2013.
- DENIPOTE, Fabiana Gouveia; TRINDADE, Erasmo Benício Santos de Moraes; BURINI, Roberto Carlos. Probióticos e prebióticos na atenção primária ao câncer de cólon. **Arquivos de Gastroenterologia**, v. 47, p. 93-98, 2010.



DOS SANTOS PINHEIRO, Renata Batista et al. Análise in silico do perfil farmacocinético e toxicológico do complexo tioglicolato de Zinco II [Zn (ATG) 2 (OH<sub>2</sub>) 2]. **Research, Society and Development**, v. 11, n. 6, p. e44711629430-e44711629430, 2022.

FERNANDES, Gabriela Souza et al. In Silico Pharmacokinetics Studies for Quinazolines Proposed as EGFR Inhibitors. **Open Journal of Medicinal Chemistry**, v. 5, n. 04, p. 106, 2015.

FRY, David W. et al. A specific inhibitor of the epidermal growth factor receptor tyrosine kinase. **Science**, v. 265, n. 5175, p. 1093-1095, 1994.

GOLAN, David et al. Princípios de farmacologia: a base fisiopatológica da farmacoterapia. In: **Princípios de farmacologia: a base fisiopatológica da farmacoterapia**. 2009

GUIDO, Rafael VC; ANDRICOPULO, Adriano D.; OLIVA, Glaucius. Planejamento de fármacos, biotecnologia e química medicinal: aplicações em doenças infecciosas. **Estudos avançados**, v. 24, p. 81-98, 2010.

HUGHES, James P. et al. Princípios da descoberta precoce de medicamentos. **Jornal britânico de farmacologia**, v. 162, n. 6, pág. 1239-1249, 2011.

LEVITZKI, Alexander; MISHANI, Eyal. Tyrophostins and other tyrosine kinase inhibitors. **Annual review of biochemistry**, v. 75, n. 1, p. 93-109, 2006.

LIANG, Xin et al. Molecular computing and bioinformatics. **Molecules**, v. 24, n. 13, p. 2358, 2019.

LOMBARDINO, Joseph G.; LOWE, John A. O papel do químico medicinal na descoberta de medicamentos - antes e agora. **Nature Reviews Drug Discovery**, v. 3, n. 10, pág. 853-862, 2004.

LOPES, Nei R.; ABREU, Maria Theresa CL. Inibidores de tirosina quinase na leucemia mielóide crônica. **Revista Brasileira de Hematologia e Hemoterapia**, v. 31, p. 449-453, 2009.

LUCENA, Rita de Cássia G. et al. Correlação clínico-topográfica em glioblastomas multiformes nas síndromes motoras: significados fisiopatológicos. **Arquivos de Neuro-Psiquiatria**, v. 64, p. 441-445, 2006.

MAH, James TL; LOW, Esther SH; LEE, Edmund. In silico SNP analysis and bioinformatics tools: a review of the state of the art to aid drug discovery. **Drug discovery today**, v. 16, n. 17-18, p. 800-809, 2011.

MIKOVSKI, Daniele et al. Química Medicinal E A Sua Importância No Desenvolvimento De Novos Fármacos. **Revista Saúde e Desenvolvimento**, v. 12, n. 13, p. 29-43, 2018.

Molinspiration Cheminformatics.

Disponível em: <<https://www.molinspiration.com/>>.

PATEL, Ronak Y.; DOERKSEN, Robert J. Protein kinase– inhibitor database: structural variability of and inhibitor interactions with the protein kinase P-loop. **Journal of proteome research**, v. 9, n. 9, p. 4433-4442, 2010.

REWCASTLE, G. W. et al. Synthesis of 4-(Phenylamino) pyrimidine Derivatives as ATP-Competitive Protein Kinase Inhibitors with Potential for Cancer Chemotherap. **Current Organic Chemistry**, v. 4, n. 7, p. 679-706, 2000.





ROJAS, Hugo; RITTER, Cristiane; PIZZOL, Felipe Dal. Mechanisms of dysfunction of the blood-brain barrier in critically ill patients: emphasis on the role of matrix metalloproteinases. **Revista Brasileira de terapia intensiva**, v. 23, p. 222-227, 2011.

ROSKOSKI JR, Robert. Properties of FDA-approved Small Molecule Protein Kinase Inhibitors: A 2023 Update. **Pharmacological research**, p. 106552, 2022.

SANTOS, Victória Laysna dos Anjos; GONSALVES, Arlan de Assis; ARAÚJO, Cleônia Roberta Melo. Abordagem didática para o desenvolvimento de moléculas bioativas: regra dos cinco de Lipinski e preparação de heterociclo 1, 3, 4-oxadiazol em forno de micro-ondas doméstico. **Química Nova**, v. 41, p. 110-115, 2018.





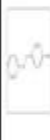

YANG, Yongliang; ADELSTEIN, S. James; KASSIS, Amin I. Descoberta de alvos a partir de abordagens de mineração de dados. **Descoberta de drogas hoje**, v. 17, p. S16-S23, 2012.

# ANEXOS

## ANEXO A - ESTUDO DAS MOLÉCULAS

Moléculas	Cálculos das propriedades moleculares	Cálculos das pontuações de bioatividade	Propriedades farmacocinéticas	Propriedades de toxicidade
<p>1) <a href="#">Produtor 006400</a></p> <p><b>4-(4-Fluorophenyl)aniline</b></p> <p><chem>Nc1ccc(cc1)-c2ccc(F)cc2</chem></p> <p>SMILES: <a href="#">CC1=CC=C(C=C1)N</a></p> <p>SMILES: <a href="#">CC1=CC=C(C=C1)N</a></p>	<p><a href="#">Motor de propriedade</a> Molinspiration v2021.10</p> <p><a href="#">MLogP</a> 5,00</p> <p><a href="#">TPSA</a> 90,54</p> <p>matoms 30</p> <p>NH 406,42</p> <p>não 7</p> <p>nOHNH 3</p> <p>violações 0</p> <p>rotb 6</p> <p><a href="#">volume</a> 351,24</p>	<p><a href="#">Pontuação de bioatividade de Molinspiration</a> v2021.03 Ligante de</p> <p>GPCR 0,13</p> <p>Modulador de canal iônico -0,15</p> <p>Inibidor de quinase 0,67</p> <p>Ligante de receptor nuclear -0,49</p> <p>Inibidor de protease -0,89</p> <p>Inibidor de enzima 0,13</p>	<p>absorção GI  Alto</p> <p>permeante BBB  Não</p> <p>Substrato P-gp  Não</p> <p>Inibidor de CYP1A2  sim</p> <p>Inibidor de CYP2C19  sim</p> <p>Inibidor de CYP2C9  sim</p> <p>Inibidor de CYP2D6  sim</p> <p>Inibidor de CYP3A4  sim</p> <p>Log <math>K_{oa}</math> (permeação da pele) -5,40 cm/s</p>	<p><a href="#">ADMET (Regulamentação Europeia)</a> ** 170</p> <p><a href="#">ADMET (Regulamentação da FDA)</a> * 1002</p> <p><a href="#">Efeitos (sensibilização da pele)</a> +++ 1124</p> <p><a href="#">LD50 (20% de toxicidade aguda)</a> 2401 mg/kg (100000 mg/kg) &gt; 500 mg/kg</p>
<p>2) <a href="#">CH001020</a></p> <p><b>4-(Tetrahydrofuran-3-ylmethoxy)aniline</b></p> <p><chem>Nc1ccc(cc1)COc2ccoc2</chem></p> <p>SMILES: <a href="#">CC1=CC=C(C=C1)N</a></p> <p>SMILES: <a href="#">CC1=CC=C(C=C1)N</a></p>	<p><a href="#">Motor de propriedade</a> Molinspiration v2021.10</p> <p><a href="#">MLogP</a> 3,51</p> <p><a href="#">TPSA</a> 100,77</p> <p>matoms 29</p> <p>NH 395,45</p> <p>não 8</p> <p>nOHNH 3</p> <p>violações 0</p> <p>rotb 7</p> <p><a href="#">volume</a> 357,68</p>	<p><a href="#">Pontuação de bioatividade de Molinspiration</a> v2021.03 Ligante de</p> <p>GPCR 0,00</p> <p>Modulador de canal iônico -0,15</p> <p>Inibidor de quinase 0,40</p> <p>Ligante de receptor nuclear -0,76</p> <p>Inibidor de protease -0,38</p> <p>Inibidor de enzima 0,08</p>	<p>absorção GI  Alto</p> <p>permeante BBB  Não</p> <p>Substrato P-gp  Não</p> <p>Inibidor de CYP1A2  sim</p> <p>Inibidor de CYP2C19  Não</p> <p>Inibidor de CYP2C9  sim</p> <p>Inibidor de CYP2D6  sim</p> <p>Inibidor de CYP3A4  sim</p> <p>Log <math>K_{oa}</math> (permeação da pele) -6,31 cm/s</p>	<p><a href="#">ADMET (Regulamentação Europeia)</a> *** 1534</p> <p><a href="#">ADMET (Regulamentação da FDA)</a> + 1294</p> <p><a href="#">Efeitos (sensibilização da pele)</a> +++ 1220</p> <p><a href="#">LD50 (20% de toxicidade aguda)</a> 2401 mg/kg (100000 mg/kg) &gt; 500 mg/kg</p>
<p>3) <a href="#">A020000</a></p> <p><b>2,6-Dichloro-4-(trifluoromethyl)aniline</b></p> <p><chem>Nc1cc(C(F)(F)F)c(Cl)c(Cl)c1</chem></p> <p>SMILES: <a href="#">CC1=CC=C(C=C1)N</a></p> <p>SMILES: <a href="#">CC1=CC=C(C=C1)N</a></p>	<p><a href="#">Motor de propriedade</a> Molinspiration v2021.10</p> <p><a href="#">MLogP</a> 3,86</p> <p><a href="#">TPSA</a> 91,54</p> <p>matoms 27</p> <p>NH 425,19</p> <p>não 7</p> <p>nOHNH 3</p> <p>violações 0</p> <p>rotb 6</p> <p><a href="#">volume</a> 111,20</p>	<p><a href="#">Pontuação de bioatividade de Molinspiration</a> v2021.03 Ligante de</p> <p>GPCR 0,13</p> <p>Modulador de canal iônico -0,84</p> <p>Inibidor de quinase 0,39</p> <p>Ligante de receptor nuclear -0,29</p> <p>Inibidor de protease -0,87</p> <p>Inibidor de enzima 0,11</p>	<p>absorção GI  Alto</p> <p>permeante BBB  Não</p> <p>Substrato P-gp  Não</p> <p>Inibidor de CYP1A2  sim</p> <p>Inibidor de CYP2C19  Não</p> <p>Inibidor de CYP2C9  sim</p> <p>Inibidor de CYP2D6  Não</p> <p>Inibidor de CYP3A4  Não</p> <p>Log <math>K_{oa}</math> (permeação da pele) -5,52 cm/s</p>	<p>Não foi possível alcular</p>

<p><b>4-TETRAZOL-5-YLANILINE</b></p> <p>InteractedMolMol (Lig.)</p>  <p>SMILES: <chem>Nc1ccc(cc1)-c2nn[nH]n2</chem> Molecular Weight: 151.1</p>	<p><b>Motor de prioridade</b> Molinspiration v2021.10</p> <p><b>allogP</b> 1.92  <b>TPSA</b> 125.91          natoms 27          MW 164.17          não 10          cOHM 3          violações 0          rotos 5  <b>volume</b> 310.22</p>	<p><b>Formação de bioatividade de Molinspiration v2021.03</b> Ligante de GPCR</p> <p>Modulador de canal iônico -0.84          Inibidor de canais -0.71          Inibidor de estase 0.45          Ligante de receptor nuclear -0.54          Inibidor de protease -0.19          Inibidor de enzima 0.65</p>	<p>atraso G 0 Alto          permeante BBB 0 Não          Substrato P-gp 0 sim          inibidor de CYP1A2 0 sim          inibidor de CYP2C19 0 Não          inibidor de CYP2C9 0 Não          inibidor de CYP2D6 0 Não          inibidor de CYP3A4 0 sim          Log K<sub>p</sub> (permeação de pele) -6.03 cm/s</p>	<p>ADMET (Depotização de Bases) *** 0.00          ADM (Depotização de bases) + 0.00          Níveis toxicidade de pele --- 0.00          CDD (CDD de toxicidade aguda) 1.00 log(mg/kg) (1.00 mg/kg) &lt;0.00 mg/kg</p>
<p><b>3-(4-Chloro-2-ethylphenyl)aniline</b></p> <p>InteractedMolMol (Lig.)</p>  <p>SMILES: <chem>CC1=CC=C(C=C1C2=CC=CC=C2N)C3=CC=C(C=C3)Cl</chem> Molecular Weight: 200.16</p>	<p><b>Motor de prioridade</b> Molinspiration v2021.10</p> <p><b>allogP</b> 6.33  <b>TPSA</b> 91.54          natoms 32          MW 200.16          não 7          cOHM 3          violações 1          rotos 7  <b>volume</b> 393.20</p>	<p><b>Formação de bioatividade de Molinspiration v2021.03</b> Ligante de GPCR</p> <p>Modulador de canal iônico -0.15          Inibidor de canais -0.51          Ligante de receptor nuclear -0.50          Inibidor de protease -0.13          Inibidor de enzima 0.16</p> <p><u>Outros dados com teste (para copiar/colar).</u></p>	<p>atraso G 0 Alto          permeante BBB 0 Não          Substrato P-gp 0 Não          inibidor de CYP1A2 0 sim          inibidor de CYP2C19 0 sim          inibidor de CYP2C9 0 sim          inibidor de CYP2D6 0 sim          inibidor de CYP3A4 0 sim          Log K<sub>p</sub> (permeação de pele) -4.32 cm/s</p>	<p>ADMET (Depotização de Bases) *** 0.00          ADM (Depotização de bases) + 0.00          Níveis toxicidade de pele --- 0.00          CDD (CDD de toxicidade aguda) 2.00 log(mg/kg) (2.00 mg/kg) &lt;0.00 mg/kg</p>
<p><b>4-Trifluoromethylaniline</b></p> <p>InteractedMolMol (Lig.)</p>  <p>SMILES: <chem>Nc1ccc(cc1)C(F)(F)F</chem> Molecular Weight: 185.14</p>	<p><b>Motor de prioridade</b> Molinspiration v2021.10</p> <p><b>allogP</b> 3.97  <b>TPSA</b> 81.30          natoms 26          MW 185.14          não 4          cOHM 3          violações 0          rotos 5  <b>volume</b> 297.21</p>	<p><b>Formação de bioatividade de Molinspiration v2021.03</b> Ligante de GPCR</p> <p>Modulador de canal iônico -0.25          Inibidor de canais -0.71          Ligante de receptor nuclear -0.54          Inibidor de protease -0.11          Inibidor de enzima 0.24</p> <p><u>Outros dados com teste (para copiar/colar).</u></p>	<p>atraso G 0 Alto          permeante BBB 0 Não          Substrato P-gp 0 Não          inibidor de CYP1A2 0 sim          inibidor de CYP2C19 0 sim          inibidor de CYP2C9 0 sim          inibidor de CYP2D6 0 sim          inibidor de CYP3A4 0 sim          Log K<sub>p</sub> (permeação de pele) -6.10 cm/s</p>	<p>ADMET (Depotização de Bases) *** 0.79          ADM (Depotização de bases) + 1.00          Níveis toxicidade de pele --- 0.00          CDD (CDD de toxicidade aguda) 2.00 log(mg/kg) (2.00 mg/kg) &lt;0.00 mg/kg</p>
<p><b>4-(2-Methylallyl)phenylamine</b></p> <p>InteractedMolMol (Lig.)</p>  <p>SMILES: <chem>CNc1ccc(cc1)CC(C)=C</chem> Molecular Weight: 134.16</p>	<p><b>Motor de prioridade</b> Molinspiration v2021.10</p> <p><b>allogP</b> 5.21  <b>TPSA</b> 81.30          natoms 28          MW 150.17          não 6          cOHM 3          violações 1          rotos 4  <b>volume</b> 367.29</p>	<p><b>Formação de bioatividade de Molinspiration v2021.03</b> Ligante de GPCR</p> <p>Modulador de canal iônico 0.48          Inibidor de canais 0.50          Ligante de receptor nuclear -0.53          Inibidor de protease 0.28          Inibidor de enzima 0.65</p> <p><u>Outros dados com teste (para copiar/colar).</u></p>	<p>atraso G 0 Alto          permeante BBB 0 Não          Substrato P-gp 0 Não          inibidor de CYP1A2 0 sim          inibidor de CYP2C19 0 Não          inibidor de CYP2C9 0 sim          inibidor de CYP2D6 0 sim          inibidor de CYP3A4 0 Não          Log K<sub>p</sub> (permeação de pele) -5.30 cm/s</p>	<p>Não foi possível alcular</p>
<p><b>4-(4-Bromophenyl)aniline</b></p> <p>InteractedMolMol (Lig.)</p>  <p>SMILES: <chem>Nc1ccc(cc1)-c2ccc(Br)cc2</chem> Molecular Weight: 216.04</p>	<p><b>Motor de prioridade</b> Molinspiration v2021.10</p> <p><b>allogP</b> 5.64  <b>TPSA</b> 91.54          natoms 38          MW 216.04          não 7          cOHM 3          violações 1          rotos 6  <b>volume</b> 364.19</p>	<p><b>Formação de bioatividade de Molinspiration v2021.03</b> Ligante de GPCR</p> <p>Modulador de canal iônico -0.20          Inibidor de canais 0.60          Ligante de receptor nuclear -0.61          Inibidor de protease -0.17          Inibidor de enzima 0.18</p> <p><u>Outros dados com teste (para copiar/colar).</u></p>	<p>atraso G 0 Alto          permeante BBB 0 Não          Substrato P-gp 0 sim          inibidor de CYP1A2 0 sim          inibidor de CYP2C19 0 sim          inibidor de CYP2C9 0 sim          inibidor de CYP2D6 0 sim          inibidor de CYP3A4 0 sim          Log K<sub>p</sub> (permeação de pele) -6.44 cm/s</p>	<p>ADMET (Depotização de Bases) *** 0.00          ADM (Depotização de bases) + 0.00          Níveis toxicidade de pele --- 0.00          CDD (CDD de toxicidade aguda) 2.00 log(mg/kg) (2.00 mg/kg) &lt;0.00 mg/kg</p>
<p><b>4-(2-Methoxyphenyl)aniline</b></p> <p>InteractedMolMol (Lig.)</p>  <p>SMILES: <chem>Nc1ccc(cc1)-c2cc(OC)cc2</chem> Molecular Weight: 176.17</p>	<p><b>Motor de prioridade</b> Molinspiration v2021.10</p> <p><b>allogP</b> 4.89  <b>TPSA</b> 106.77          natoms 31          MW 176.17          não 8          cOHM 3          violações 0          rotos 7  <b>volume</b> 371.85</p>	<p><b>Formação de bioatividade de Molinspiration v2021.03</b> Ligante de GPCR</p> <p>Modulador de canal iônico -0.14          Inibidor de canais 0.61          Ligante de receptor nuclear -0.49          Inibidor de protease -0.01          Inibidor de enzima 0.21</p> <p><u>Outros dados com teste (para copiar/colar).</u></p>	<p>atraso G 0 Alto          permeante BBB 0 Não          Substrato P-gp 0 Não          inibidor de CYP1A2 0 sim          inibidor de CYP2C19 0 sim          inibidor de CYP2C9 0 sim          inibidor de CYP2D6 0 sim          inibidor de CYP3A4 0 sim          Log K<sub>p</sub> (permeação de pele) -6.55 cm/s</p>	<p>ADMET (Depotização de Bases) *** 0.00          ADM (Depotização de bases) + 0.00          Níveis toxicidade de pele --- 0.00          CDD (CDD de toxicidade aguda) 1.00 log(mg/kg) (1.00 mg/kg) &lt;0.00 mg/kg</p>

 <p><b>4-(4-chlorophenyl)aniline</b>  <chem>Nc1ccc(cc1)C2=CC=C(C=C2)Cl</chem>          Fórmula Molecular: <math>C_8H_7ClN</math>          Massa: 153.61 g/mol          Números: 153.61</p>	<p><b>Motor de associação</b> Molinspiration v2021.10</p> <p><b>allogE</b> 5.11  <b>TPSA</b> 81.34          autores 30          PM 412,67          não 7          cOHM 3          violações 1          protó 6  <b>volume</b> 119,84</p>	<p><b>Parâmetro de bioatividade de Molinspiration</b> v2021.03 Ligante de GPCR 0,12          Modulador de canal iônico -0,34  <b>Inibidor de quina</b> 0,23          Ligante de receptor nuclear -0,53          Inibidor de protease -0,38          Inibidor de enzima 0,21</p>	<p>absorção GI 0 Alto          permeante BBB 0 Não          Substrato P-gp 0 Não          inibidor de CYP1A2 0 Não          inibidor de CYP2C19 0 Não          inibidor de CYP2C9 0 Não          inibidor de CYP2D6 0 Não          inibidor de CYP3A4 0 Não          Log <math>K_p</math> (permeação da pele) -5,21 cm/s</p>	<p>6-RT (degenerabilidade humana) +++ 100          cH2 (degenerabilidade de ação) + 100          Toxicos (sensibilização da pele) +++ 100          C20 (C20 de toxicidade aguda) 230 log mol/kg (34,78 mg/kg) &lt;100 mg/kg</p>
 <p><b>15-bicyclohexylmethylamine</b>  <chem>NCC1CCCCC1C2CCCCC2</chem>          Fórmula Molecular: <math>C_{14}H_{29}N</math>          Massa: 213.41 g/mol          Números: 213.41</p>	<p><b>Motor de associação</b> Molinspiration v2021.10</p> <p><b>allogE</b> 4.88  <b>TPSA</b> 81.36          autores 30          PM 432,32          não 6          cOHM 3          violações 0          protó 6  <b>volume</b> 128,51</p>	<p><b>Parâmetro de bioatividade de Molinspiration</b> v2021.03 Ligante de GPCR 0,16          Modulador de canal iônico -0,06  <b>Inibidor de quina</b> 0,52          Ligante de receptor nuclear -0,46          Inibidor de protease -0,09          Inibidor de enzima 0,23</p>	<p>absorção GI 0 Alto          permeante BBB 0 Não          Substrato P-gp 0 Não          inibidor de CYP1A2 0 Não          inibidor de CYP2C19 0 Não          inibidor de CYP2C9 0 Não          inibidor de CYP2D6 0 Não          inibidor de CYP3A4 0 Não          Log <math>K_p</math> (permeação da pele) -5,54 cm/s</p>	<p>6-RT (degenerabilidade humana) + 100          cH2 (degenerabilidade de ação) + 100          Toxicos (sensibilização da pele) +++ 100          C20 (C20 de toxicidade aguda) 134 log mol/kg (16,17 mg/kg) &lt;100 mg/kg</p>
 <p><b>4-thiophen-3-yl aniline</b>  <chem>Nc1ccc(cc1)C2=CC=C(S)C=C2</chem>          Fórmula Molecular: <math>C_9H_7NS</math>          Massa: 155.16 g/mol          Números: 155.16</p>	<p><b>Motor de associação</b> Molinspiration v2021.10</p> <p><b>allogE</b> 4.45  <b>TPSA</b> 82.36          autores 27          PM 178,46          não 6          cOHM 3          violações 0          protó 5  <b>volume</b> 128,03</p>	<p><b>Parâmetro de bioatividade de Molinspiration</b> v2021.03 Ligante de GPCR 0,19          Modulador de canal iônico -0,80  <b>Inibidor de quina</b> 0,85          Ligante de receptor nuclear -0,56          Inibidor de protease -0,87          Inibidor de enzima 0,31</p>	<p>absorção GI 0 Alto          permeante BBB 0 Não          Substrato P-gp 0 Não          inibidor de CYP1A2 0 Não          inibidor de CYP2C19 0 Não          inibidor de CYP2C9 0 Não          inibidor de CYP2D6 0 Não          inibidor de CYP3A4 0 Não          Log <math>K_p</math> (permeação da pele) -5,53 cm/s</p>	<p>6-RT (degenerabilidade humana) ++ 100          cH2 (degenerabilidade de ação) + 100          Toxicos (sensibilização da pele) +++ 100          C20 (C20 de toxicidade aguda) 135 log mol/kg (16,2 mg/kg) &lt;100 mg/kg</p>
 <p><b>4-pyridin-3-yl aniline</b>  <chem>Nc1ccc(cc1)C2=CC=CC=N2</chem>          Fórmula Molecular: <math>C_9H_7N</math>          Massa: 133.07 g/mol          Números: 133.07</p>	<p><b>Motor de associação</b> Molinspiration v2021.10</p> <p><b>allogE</b> 3.75  <b>TPSA</b> 104.43          autores 29          PM 169,42          não 8          cOHM 3          violações 0          protó 6  <b>volume</b> 141,15</p>	<p><b>Parâmetro de bioatividade de Molinspiration</b> v2021.03 Ligante de GPCR 0,22          Modulador de canal iônico -0,62  <b>Inibidor de quina</b> 0,36          Ligante de receptor nuclear -0,52          Inibidor de protease -0,85          Inibidor de enzima 0,23</p>	<p>absorção GI 0 Alto          permeante BBB 0 Não          Substrato P-gp 0 Não          inibidor de CYP1A2 0 Não          inibidor de CYP2C19 0 Não          inibidor de CYP2C9 0 Não          inibidor de CYP2D6 0 Não          inibidor de CYP3A4 0 Não          Log <math>K_p</math> (permeação da pele) -6,21 cm/s</p>	<p>6-RT (degenerabilidade humana) ++ 100          cH2 (degenerabilidade de ação) ++ 100          Toxicos (sensibilização da pele) +++ 100          C20 (C20 de toxicidade aguda) 129 log mol/kg (16,68 mg/kg) &lt;100 mg/kg</p>
 <p><b>4-phenylbutan-1-ylamine</b>  <chem>NCCCC1=CC=CC=C1</chem>          Fórmula Molecular: <math>C_{10}H_{13}N</math>          Massa: 147.20 g/mol          Números: 147.20</p>	<p><b>Motor de associação</b> Molinspiration v2021.10</p> <p><b>allogE</b> 5.11  <b>TPSA</b> 82.36          autores 30          PM 418,52          não 6          cOHM 3          violações 1          protó 7  <b>volume</b> 372,25</p>	<p><b>Parâmetro de bioatividade de Molinspiration</b> v2021.03 Ligante de GPCR 0,01          Modulador de canal iônico -0,35  <b>Inibidor de quina</b> 0,46          Ligante de receptor nuclear -0,50          Inibidor de protease -0,32          Inibidor de enzima 0,19</p>	<p>absorção GI 0 Alto          permeante BBB 0 Não          Substrato P-gp 0 Não          inibidor de CYP1A2 0 Não          inibidor de CYP2C19 0 Não          inibidor de CYP2C9 0 Não          inibidor de CYP2D6 0 Não          inibidor de CYP3A4 0 Não          Log <math>K_p</math> (permeação da pele) -5,28 cm/s</p>	<p>6-RT (degenerabilidade humana) ++ 100          cH2 (degenerabilidade de ação) + 100          Toxicos (sensibilização da pele) +++ 100          C20 (C20 de toxicidade aguda) 239 log mol/kg (33,04 mg/kg) &lt;100 mg/kg</p>
 <p><b>4-methylphenylamine</b>  <chem>Cc1ccc(cc1)N</chem>          Fórmula Molecular: <math>C_7H_9N</math>          Massa: 93.12 g/mol          Números: 93.12</p>	<p><b>Motor de associação</b> Molinspiration v2021.10</p> <p><b>allogE</b> 6.38  <b>TPSA</b> 82.36          autores 47          PM 754,38          não 6          cOHM 3          violações 2          protó 12  <b>volume</b> 481,77</p>	<p><b>Parâmetro de bioatividade de Molinspiration</b> v2021.03 Ligante de GPCR -0,21 Modulador de canal iônico -1,80          Inibidor de quina -0,34          Ligante de receptor nuclear -0,45          Inibidor de protease 0,81          Inibidor de enzima -0,36</p>	<p>absorção GI 0 Alto          permeante BBB 0 Não          Substrato P-gp 0 Não          inibidor de CYP1A2 0 Não          inibidor de CYP2C19 0 Não          inibidor de CYP2C9 0 Não          inibidor de CYP2D6 0 Não          inibidor de CYP3A4 0 Não          Log <math>K_p</math> (permeação da pele) 0 cm/s</p>	<p>Não foi possível alcular</p>

[illegible]



 <b>4-(1,3-Thiazol-4-yl)aniline</b> <small>TopicalFormaldehyde (C<sub>10</sub>H<sub>7</sub>N<sub>2</sub>S)</small> <small>Ativa: 4729-044 Reatividade: 1713</small>	<b>Fator de prioridade</b> Molinspiration v2021.10 <b>silico<sup>2</sup></b> 3,68 <b>TPSA</b> 95,19 <small>notas: 27</small> <small>PM 379,44</small> <small>não 7</small> <small>nOH 3</small> <small>violacoes 0</small> <small>rotb 5</small> <b>volume</b> 323,88	<b>Predição de biotividade de Molinspiration v2021.03</b> Ligante de GPCR 0,10 Modulador de canal iônico -0,10 Modulador de canal iônico -0,10 Modulador de canal iônico -0,10 Ligante de receptor nuclear -0,10 Inibidor de protease -0,10 Inibidor de enzima 0,10	atenução G <sub>i</sub> Atto permeante BBB  Não Substrato P-gp  Não inibidor de CYP1A2  não inibidor de CYP2C19  não inibidor de CYP2C9  não inibidor de CYP2D6  não inibidor de CYP3A4  não Log <i>K<sub>a</sub></i> (permeação de pele)  -2,00 cm/s	6-ET (Segurança/Estudo)  ++ 0,00 aED (Segurança de uso)  + 0,02 Estudos (estabilização de pele)  --- 0,00 200 (200 de toxicidade aguda) 200 (200 de toxicidade aguda)  + 0,00 mg/kg
 <b>4-(2H-Benzotriazol-2-yl)aniline</b> <small>TopicalFormaldehyde (C<sub>12</sub>H<sub>8</sub>N<sub>4</sub>)</small> <small>Ativa: 5238-343 Reatividade: 202</small>	<b>Fator de prioridade</b> Molinspiration v2021.10 <b>silico<sup>2</sup></b> 3,91 <b>TPSA</b> 100,13 <small>notas: 31</small> <small>PM 412,45</small> <small>não 8</small> <small>nOH 3</small> <small>violacoes 0</small> <small>rotb 5</small> <b>volume</b> 352,52	<b>Predição de biotividade de Molinspiration v2021.03</b> Ligante de GPCR 0,10 Modulador de canal iônico 0,10 Modulador de canal iônico 0,10 Modulador de canal iônico 0,10 Ligante de receptor nuclear -0,10 Inibidor de protease -0,10 Inibidor de enzima 0,10	atenução G <sub>i</sub> Atto permeante BBB  Não Substrato P-gp  não inibidor de CYP1A2  não inibidor de CYP2C19  não inibidor de CYP2C9  não inibidor de CYP2D6  não inibidor de CYP3A4  não Log <i>K<sub>a</sub></i> (permeação de pele)  -0,34 cm/s	6-ET (Segurança/Estudo)  ++ 0,02 aED (Segurança de uso)  + 0,04 Estudos (estabilização de pele)  --- 0,00 200 (200 de toxicidade aguda) 200 (200 de toxicidade aguda)  + 0,00 mg/kg
 <b>2-(5H-Tetrazol-1-yl)aniline</b> <small>TopicalFormaldehyde (C<sub>10</sub>H<sub>7</sub>N<sub>4</sub>)</small> <small>Ativa: 3029-044 Reatividade: 1713</small>	<b>Fator de prioridade</b> Molinspiration v2021.10 <b>silico<sup>2</sup></b> 1,90 <b>TPSA</b> 125,91 <small>notas: 27</small> <small>PM 364,17</small> <small>não 10</small> <small>nOH 3</small> <small>violacoes 0</small> <small>rotb 5</small> <b>volume</b> 318,22	<b>Predição de biotividade de Molinspiration v2021.03</b> Ligante de GPCR 0,10 Modulador de canal iônico -0,10 Modulador de canal iônico -0,10 Modulador de canal iônico -0,10 Ligante de receptor nuclear -0,10 Inibidor de protease -0,10 Inibidor de enzima -0,10	atenução G <sub>i</sub> Atto permeante BBB  Não Substrato P-gp  não inibidor de CYP1A2  não inibidor de CYP2C19  não inibidor de CYP2C9  não inibidor de CYP2D6  não inibidor de CYP3A4  não Log <i>K<sub>a</sub></i> (permeação de pele)  -0,00 cm/s	6-ET (Segurança/Estudo)  ++ 0,00 aED (Segurança de uso)  + 0,02 Estudos (estabilização de pele)  --- 0,00 200 (200 de toxicidade aguda) 200 (200 de toxicidade aguda)  + 0,00 mg/kg
 <b>4-(5H-Tetrazol-5-yl)aniline</b> <small>TopicalFormaldehyde (C<sub>10</sub>H<sub>7</sub>N<sub>4</sub>)</small> <small>Ativa: 4729-044 Reatividade: 1713</small>	<b>Fator de prioridade</b> Molinspiration v2021.10 <b>silico<sup>2</sup></b> -0,71 <b>TPSA</b> 148,49 <small>notas: 28</small> <small>PM 381,38</small> <small>não 11</small> <small>nOH 6</small> <small>violacoes 2</small> <small>rotb 6</small> <b>volume</b> 324,52	<b>Predição de biotividade de Molinspiration v2021.03</b> Ligante de GPCR 0,10 Modulador de canal iônico -0,10 Modulador de canal iônico -0,10 Modulador de canal iônico -0,10 Ligante de receptor nuclear -0,10 Inibidor de protease -0,10 Inibidor de enzima 0,10	atenução G <sub>i</sub> Não permeante BBB  Não Substrato P-gp  Não inibidor de CYP1A2  não inibidor de CYP2C19  Não inibidor de CYP2C9  Não inibidor de CYP2D6  Não inibidor de CYP3A4  não Log <i>K<sub>a</sub></i> (permeação de pele)  -0,00 cm/s	6-ET (Segurança/Estudo)  ++ 0,02 aED (Segurança de uso)  + 0,00 Estudos (estabilização de pele)  --- 0,00 200 (200 de toxicidade aguda) 200 (200 de toxicidade aguda)  + 0,00 mg/kg
 <b>3-Chloro-4-(4-chlorophenyl)aniline</b> <small>TopicalFormaldehyde (C<sub>12</sub>H<sub>8</sub>Cl<sub>2</sub>N)</small> <small>Ativa: 3890-044 Reatividade: 1713</small>	<b>Fator de prioridade</b> Molinspiration v2021.10 <b>silico<sup>2</sup></b> 6,12 <b>TPSA</b> 91,54 <small>notas: 31</small> <small>PM 457,32</small> <small>não 7</small> <small>nOH 3</small> <small>violacoes 1</small> <small>rotb 6</small> <b>volume</b> 371,38	<b>Predição de biotividade de Molinspiration v2021.03</b> Ligante de GPCR 0,10 Modulador de canal iônico -0,10 Modulador de canal iônico -0,10 Modulador de canal iônico -0,10 Ligante de receptor nuclear -0,10 Inibidor de protease -0,10 Inibidor de enzima 0,10	atenução G <sub>i</sub> Atto permeante BBB  Não Substrato P-gp  Não inibidor de CYP1A2  não inibidor de CYP2C19  não inibidor de CYP2C9  não inibidor de CYP2D6  não inibidor de CYP3A4  não Log <i>K<sub>a</sub></i> (permeação de pele)  -0,07 cm/s	6-ET (Segurança/Estudo)  ++ 0,00 aED (Segurança de uso)  - 0,02 Estudos (estabilização de pele)  --- 0,00 200 (200 de toxicidade aguda) 200 (200 de toxicidade aguda)  + 0,00 mg/kg
 <b>4-Fluoro-2-(trifluoromethyl)aniline</b> <small>TopicalFormaldehyde (C<sub>10</sub>H<sub>7</sub>F<sub>3</sub>N)</small> <small>Ativa: 2074-043 Reatividade: 1713</small>	<b>Fator de prioridade</b> Molinspiration v2021.10 <b>silico<sup>2</sup></b> 4,07 <b>TPSA</b> 82,30 <small>notas: 27</small> <small>PM 381,32</small> <small>não 6</small> <small>nOH 3</small> <small>violacoes 0</small> <small>rotb 5</small> <b>volume</b> 302,14	<b>Predição de biotividade de Molinspiration v2021.03</b> Ligante de GPCR 0,10 Modulador de canal iônico -0,10 Modulador de canal iônico -0,10 Modulador de canal iônico -0,10 Ligante de receptor nuclear -0,10 Inibidor de protease -0,10 Inibidor de enzima 0,10	atenução G <sub>i</sub> Atto permeante BBB  Não Substrato P-gp  Não inibidor de CYP1A2  não inibidor de CYP2C19  não inibidor de CYP2C9  não inibidor de CYP2D6  não inibidor de CYP3A4  não Log <i>K<sub>a</sub></i> (permeação de pele)  -0,07 cm/s	6-ET (Segurança/Estudo)  ++ 0,00 aED (Segurança de uso)  - 0,04 Estudos (estabilização de pele)  --- 0,00 200 (200 de toxicidade aguda) 200 (200 de toxicidade aguda)  + 0,00 mg/kg

[illegible]



[illegible]

[illegible]

Chemical Structure	Chemical Name	Chemical Class	Chemical Formula	Molecular Weight	Chemical Description
	4-(2-Furyl)aniline hydrochloride	Chemical	C <sub>10</sub> H <sub>9</sub> NO	175.19	Chemical structure of 4-(2-Furyl)aniline hydrochloride
	3-(5-Methyl-2-furyl)aniline hydrochloride	Chemical	C <sub>11</sub> H <sub>11</sub> NO	185.21	Chemical structure of 3-(5-Methyl-2-furyl)aniline hydrochloride
	3-[1-piperidinyl]carboxyaniline hydrochloride	Chemical	C <sub>14</sub> H <sub>17</sub> NO	235.30	Chemical structure of 3-[1-piperidinyl]carboxyaniline hydrochloride
	4-Pyridyl-2-methylphenylhydrazide hydrochloride	Chemical	C <sub>14</sub> H <sub>13</sub> N <sub>3</sub> O	251.28	Chemical structure of 4-Pyridyl-2-methylphenylhydrazide hydrochloride
	3,5-Dichlorophenylhydrazide hydrochloride	Chemical	C <sub>8</sub> H <sub>6</sub> Cl <sub>2</sub> N <sub>2</sub> O	214.05	Chemical structure of 3,5-Dichlorophenylhydrazide hydrochloride

[illegible]

[illegible]



[illegible]

[illegible]



<p><b>73</b></p> <p><b>4-O-Pyrido-6-ethyluracil</b></p> <p><chem>Cc1cc2nc3c(nc(=O)[nH]3)nc(=O)[nH]2c1</chem></p> <p>mol. 228.21 Pontuação: 100</p>	<p><b>Fator de prioridade</b> Molinspiration</p> <p><b>milosP</b> 3,77</p> <p><b>IPSA</b> 95,19</p> <p>natoms 30</p> <p>PM 401,47</p> <p>não 7</p> <p>nOHNH 3</p> <p>violações 0</p> <p>rotb 7</p> <p><b>volume</b> 366,77</p>	<p><b>Pontuação de biotividade de Molinspiration</b></p> <p>GPCR 0,20</p> <p>Modulador de canal iônico -0,06</p> <p><b>Inibidor de quinase</b> 0,69</p> <p>Ligante de receptor nuclear -0,55</p> <p>Inibidor de protease -0,04</p> <p><b>Inibidor de enzima</b> 0,31</p>	<p>absorção 0 </p> <p>potência 000 </p> <p>solubilidade P-gp </p> <p>inibidor de CYP1A2 </p> <p>inibidor de CYP2C19 </p> <p>inibidor de CYP2C9 </p> <p>inibidor de CYP2D6 </p> <p>inibidor de CYP3A4 </p> <p>Log P<sub>o/w</sub> (previsão de paco) -0,02 cm</p>	<p>ADME disponibilidade </p> <p>ADME disponibilidade de água </p> <p>ADME disponibilidade de água </p> <p>ADME disponibilidade de água </p> <p>ADME disponibilidade de água </p> <p>ADME disponibilidade de água </p> <p>ADME disponibilidade de água </p> <p>ADME disponibilidade de água </p>
<p><b>74</b></p> <p><b>4-(4-methyl-4,5,6-triazol-1-yl)uracil</b></p> <p><chem>Cc1cc2nc3c(nc(=O)[nH]3)nc(=O)[nH]2c1</chem></p> <p>mol. 228.21 Pontuação: 100</p>	<p><b>Fator de prioridade</b> Molinspiration</p> <p><b>milosP</b> 2,72</p> <p><b>IPSA</b> 113,02</p> <p>natoms 28</p> <p>PM 377,41</p> <p>não 9</p> <p>nOHNH 3</p> <p>violações 0</p> <p>rotb 5</p> <p><b>volume</b> 330,94</p>	<p><b>Pontuação de biotividade de Molinspiration</b></p> <p>GPCR 0,03</p> <p>Modulador de canal iônico -0,36</p> <p><b>Inibidor de quinase</b> 0,45</p> <p>Ligante de receptor nuclear -0,78</p> <p>Inibidor de protease -0,38</p> <p><b>Inibidor de enzima</b> 0,17</p>	<p>2021.03 Ligante de</p> <p>absorção 0 </p> <p>potência 000 </p> <p>solubilidade P-gp </p> <p>inibidor de CYP1A2 </p> <p>inibidor de CYP2C19 </p> <p>inibidor de CYP2C9 </p> <p>inibidor de CYP2D6 </p> <p>inibidor de CYP3A4 </p> <p>Log P<sub>o/w</sub> (previsão de paco) -1,20 cm</p>	<p>ADME disponibilidade </p> <p>ADME disponibilidade de água </p> <p>ADME disponibilidade de água </p> <p>ADME disponibilidade de água </p> <p>ADME disponibilidade de água </p> <p>ADME disponibilidade de água </p> <p>ADME disponibilidade de água </p> <p>ADME disponibilidade de água </p>
<p><b>75</b></p> <p><b>4-O-Pyrido-4-ethyluracil</b></p> <p><chem>Cc1cc2nc3c(nc(=O)[nH]3)nc(=O)[nH]2c1</chem></p> <p>mol. 228.21 Pontuação: 100</p>	<p><b>Fator de prioridade</b> Molinspiration</p> <p><b>milosP</b> 3,77</p> <p><b>IPSA</b> 95,19</p> <p>natoms 30</p> <p>PM 401,47</p> <p>não 7</p> <p>nOHNH 3</p> <p>violações 0</p> <p>rotb 7</p> <p><b>volume</b> 366,77</p>	<p><b>Pontuação de biotividade de Molinspiration</b></p> <p>GPCR 0,20</p> <p>Modulador de canal iônico -0,06</p> <p><b>Inibidor de quinase</b> 0,69</p> <p>Ligante de receptor nuclear -0,55</p> <p>Inibidor de protease -0,04</p> <p><b>Inibidor de enzima</b> 0,31</p>	<p>absorção 0 </p> <p>potência 000 </p> <p>solubilidade P-gp </p> <p>inibidor de CYP1A2 </p> <p>inibidor de CYP2C19 </p> <p>inibidor de CYP2C9 </p> <p>inibidor de CYP2D6 </p> <p>inibidor de CYP3A4 </p> <p>Log P<sub>o/w</sub> (previsão de paco) -0,02 cm</p>	<p>ADME disponibilidade </p> <p>ADME disponibilidade de água </p> <p>ADME disponibilidade de água </p> <p>ADME disponibilidade de água </p> <p>ADME disponibilidade de água </p> <p>ADME disponibilidade de água </p> <p>ADME disponibilidade de água </p> <p>ADME disponibilidade de água </p>
<p><b>76</b></p> <p><b>4-O-Pyrido-2-ethyluracil</b></p> <p><chem>Cc1cc2nc3c(nc(=O)[nH]3)nc(=O)[nH]2c1</chem></p> <p>mol. 228.21 Pontuação: 100</p>	<p><b>Fator de prioridade</b> Molinspiration</p> <p><b>milosP</b> 4,29</p> <p><b>IPSA</b> 95,19</p> <p>natoms 30</p> <p>PM 399,45</p> <p>não 7</p> <p>nOHNH 3</p> <p>violações 0</p> <p>rotb 6</p> <p><b>volume</b> 360,58</p>	<p><b>Pontuação de biotividade de Molinspiration</b></p> <p>GPCR 0,24</p> <p>Modulador de canal iônico -0,04</p> <p><b>Inibidor de quinase</b> 0,75</p> <p>Ligante de receptor nuclear -0,53</p> <p>Inibidor de protease -0,05</p> <p><b>Inibidor de enzima</b> 0,33</p>	<p>absorção 0 </p> <p>potência 000 </p> <p>solubilidade P-gp </p> <p>inibidor de CYP1A2 </p> <p>inibidor de CYP2C19 </p> <p>inibidor de CYP2C9 </p> <p>inibidor de CYP2D6 </p> <p>inibidor de CYP3A4 </p> <p>Log P<sub>o/w</sub> (previsão de paco) -0,72 cm</p>	<p>ADME disponibilidade </p> <p>ADME disponibilidade de água </p> <p>ADME disponibilidade de água </p> <p>ADME disponibilidade de água </p> <p>ADME disponibilidade de água </p> <p>ADME disponibilidade de água </p> <p>ADME disponibilidade de água </p> <p>ADME disponibilidade de água </p>
<p><b>77</b></p> <p><b>4-O-Pyrido-2-ethyluracil</b></p> <p><chem>Cc1cc2nc3c(nc(=O)[nH]3)nc(=O)[nH]2c1</chem></p> <p>mol. 228.21 Pontuação: 100</p>	<p><b>Fator de prioridade</b> Molinspiration</p> <p><b>milosP</b> 5,45</p> <p><b>IPSA</b> 106,19</p> <p>natoms 33</p> <p>PM 459,51</p> <p>não 7</p> <p>nOHNH 4</p> <p>violações 1</p> <p>rotb 5</p> <p><b>volume</b> 382,69</p>	<p><b>Pontuação de biotividade de Molinspiration</b></p> <p>GPCR 0,06</p> <p>Modulador de canal iônico -0,17</p> <p><b>Inibidor de quinase</b> 0,63</p> <p>Ligante de receptor nuclear -0,51</p> <p>Inibidor de protease -0,20</p> <p><b>Inibidor de enzima</b> 0,20</p>	<p>absorção 0 </p> <p>potência 000 </p> <p>solubilidade P-gp </p> <p>inibidor de CYP1A2 </p> <p>inibidor de CYP2C19 </p> <p>inibidor de CYP2C9 </p> <p>inibidor de CYP2D6 </p> <p>inibidor de CYP3A4 </p> <p>Log P<sub>o/w</sub> (previsão de paco) -0,02 cm</p>	<p>ADME disponibilidade </p> <p>ADME disponibilidade de água </p> <p>ADME disponibilidade de água </p> <p>ADME disponibilidade de água </p> <p>ADME disponibilidade de água </p> <p>ADME disponibilidade de água </p> <p>ADME disponibilidade de água </p> <p>ADME disponibilidade de água </p>
<p><b>78</b></p> <p><b>4-O-Pyrido-1-ethyluracil</b></p> <p><chem>Cc1cc2nc3c(nc(=O)[nH]3)nc(=O)[nH]2c1</chem></p> <p>mol. 228.21 Pontuação: 100</p>	<p><b>Fator de prioridade</b> Molinspiration</p> <p><b>milosP</b> 3,38</p> <p><b>IPSA</b> 96,53</p> <p>natoms 28</p> <p>PM 379,46</p> <p>não 7</p> <p>nOHNH 4</p> <p>violações 0</p> <p>rotb 6</p> <p><b>volume</b> 351,14</p>	<p><b>Pontuação de biotividade de Molinspiration</b></p> <p>GPCR 0,33</p> <p>Modulador de canal iônico -0,03</p> <p><b>Inibidor de quinase</b> 0,69</p> <p>Ligante de receptor nuclear -0,50</p> <p>Inibidor de protease 0,04</p> <p><b>Inibidor de enzima</b> 0,33</p>	<p>absorção 0 </p> <p>potência 000 </p> <p>solubilidade P-gp </p> <p>inibidor de CYP1A2 </p> <p>inibidor de CYP2C19 </p> <p>inibidor de CYP2C9 </p> <p>inibidor de CYP2D6 </p> <p>inibidor de CYP3A4 </p> <p>Log P<sub>o/w</sub> (previsão de paco) -0,15 cm</p>	<p>ADME disponibilidade </p> <p>ADME disponibilidade de água </p> <p>ADME disponibilidade de água </p> <p>ADME disponibilidade de água </p> <p>ADME disponibilidade de água </p> <p>ADME disponibilidade de água </p> <p>ADME disponibilidade de água </p> <p>ADME disponibilidade de água </p>

<div>000000</div> <div><div><div><div><div><div></div></div></div><div><div><div></div></div><div><div></div></div></div><div><div><div></div></div><div><div></div></div></div><div><div><div></div></div><div><div></div></div></div></div></div><div><div>3-(4-Methylbenzyl)-2-(4-pyridyl)pyridine</div><div>Apresentação: LAD</div><div>Regra: 007</div></div></div>	<div>Motor de geração</div> <div>Molinspira</div> <div><div>mollogP</div><div>4.21</div></div> <div><div>TPSA</div><div>110.60</div></div> <div><div>rotoms 31</div><div>MW 412,45</div><div>não 8</div><div>nOHNH 4</div><div>nviolacões 0</div><div>nrotb 4</div></div> <div><div>volume</div><div>361,56</div></div>	<div>Pontuação de bioatividade de Molinspiration v0.11.0</div> <div><div>GPCR</div><div>0,15</div></div> <div><div>Modulador de canal iônico</div><div>-0,06</div></div> <div><div>Inibidor de quinase</div><div>0,75</div></div> <div><div>Ligante de receptor nuclear</div><div>-0,91</div></div> <div><div>Inibidor de protease</div><div>-0,37</div></div> <div><div>Inibidor de enzima</div><div>0,19</div></div>	<div>Não foi possível calcular</div>	<div><div>Atividade GPCR</div><div><input type="checkbox"/></div><div>não</div></div> <div><div>Atividade BDNF</div><div><input type="checkbox"/></div><div>não</div></div> <div><div>Atividade P-gp</div><div><input type="checkbox"/></div><div>não</div></div> <div><div>Atividade de CYP1A2</div><div><input type="checkbox"/></div><div>não</div></div> <div><div>Atividade de CYP2C9</div><div><input type="checkbox"/></div><div>não</div></div> <div><div>Atividade de CYP2C19</div><div><input type="checkbox"/></div><div>não</div></div> <div><div>Atividade de CYP3A4</div><div><input type="checkbox"/></div><div>não</div></div> <div><div>Log P<sub>o/w</sub> (partição de óleo)</div><div>2,36</div></div> <div><div>Atividade GPCR</div><div><input type="checkbox"/></div><div>não</div></div> <div><div>Atividade BDNF</div><div><input type="checkbox"/></div><div>não</div></div> <div><div>Atividade P-gp</div><div><input type="checkbox"/></div><div>não</div></div> <div><div>Atividade de CYP1A2</div><div><input type="checkbox"/></div><div>não</div></div> <div><div>Atividade de CYP2C9</div><div><input type="checkbox"/></div><div>não</div></div> <div><div>Atividade de CYP2C19</div><div><input type="checkbox"/></div><div>não</div></div> <div><div>Atividade de CYP3A4</div><div><input type="checkbox"/></div><div>não</div></div> <div><div>Log P<sub>o/w</sub> (partição de óleo)</div><div>2,36</div></div>
<div>000002</div> <div><div><div><div><div><div></div></div></div><div><div><div></div></div><div><div></div></div></div><div><div><div></div></div><div><div></div></div></div></div></div><div><div>5-chloro-2-(2H-pyridyl)pyridine</div><div>Apresentação: LAD</div><div>Regra: 002</div></div></div>	<div>Motor de geração</div> <div>Molinspira</div> <div><div>mollogP</div><div>5,88</div></div> <div><div>TPSA</div><div>96,53</div></div> <div><div>rotoms 27</div><div>MW 385,86</div><div>não 7</div><div>nOHNH 4</div><div>nviolacões 0</div><div>nrotb 4</div></div> <div><div>volume</div><div>331,07</div></div>	<div>Pontuação de bioatividade de Molinspiration v0.11.0</div> <div><div>GPCR</div><div>0,18</div></div> <div><div>Modulador de canal iônico</div><div>-0,19</div></div> <div><div>Inibidor de quinase</div><div>0,67</div></div> <div><div>Ligante de receptor nuclear</div><div>-0,77</div></div> <div><div>Inibidor de protease</div><div>-0,25</div></div> <div><div>Inibidor de enzima</div><div>0,21</div></div>	<div><div>Atividade GPCR</div><div><input type="checkbox"/></div><div>não</div></div> <div><div>Atividade BDNF</div><div><input type="checkbox"/></div><div>não</div></div> <div><div>Atividade P-gp</div><div><input type="checkbox"/></div><div>não</div></div> <div><div>Atividade de CYP1A2</div><div><input type="checkbox"/></div><div>não</div></div> <div><div>Atividade de CYP2C9</div><div><input type="checkbox"/></div><div>não</div></div> <div><div>Atividade de CYP2C19</div><div><input type="checkbox"/></div><div>não</div></div> <div><div>Atividade de CYP3A4</div><div><input type="checkbox"/></div><div>não</div></div> <div><div>Log P<sub>o/w</sub> (partição de óleo)</div><div>2,36</div></div> <div><div>Atividade GPCR</div><div><input type="checkbox"/></div><div>não</div></div> <div><div>Atividade BDNF</div><div><input type="checkbox"/></div><div>não</div></div> <div><div>Atividade P-gp</div><div><input type="checkbox"/></div><div>não</div></div> <div><div>Atividade de CYP1A2</div><div><input type="checkbox"/></div><div>não</div></div> <div><div>Atividade de CYP2C9</div><div><input type="checkbox"/></div><div>não</div></div> <div><div>Atividade de CYP2C19</div><div><input type="checkbox"/></div><div>não</div></div> <div><div>Atividade de CYP3A4</div><div><input type="checkbox"/></div><div>não</div></div> <div><div>Log P<sub>o/w</sub> (partição de óleo)</div><div>2,36</div></div>	
<div>000003</div> <div><div><div><div><div><div></div></div></div><div><div><div></div></div><div><div></div></div></div><div><div><div></div></div><div><div></div></div></div></div></div><div><div>3-(4-Methylbenzyl)-2-(4-pyridyl)pyridine</div><div>Apresentação: LAD</div><div>Regra: 007</div></div></div>	<div>Motor de geração</div> <div>Molinspira</div> <div><div>mollogP</div><div>0,49</div></div> <div><div>TPSA</div><div>110,10</div></div> <div><div>rotoms 31</div><div>MW 415,48</div><div>não 8</div><div>nOHNH 5</div><div>nviolacões 0</div><div>nrotb 4</div></div> <div><div>volume</div><div>370,88</div></div>	<div>Pontuação de bioatividade de Molinspiration v0.11.0</div> <div><div>GPCR</div><div>0,21</div></div> <div><div>Modulador de canal iônico</div><div>-0,81</div></div> <div><div>Inibidor de quinase</div><div>0,53</div></div> <div><div>Ligante de receptor nuclear</div><div>-0,48</div></div> <div><div>Inibidor de protease</div><div>-0,28</div></div> <div><div>Inibidor de enzima</div><div>0,28</div></div>	<div><div>Atividade GPCR</div><div><input type="checkbox"/></div><div>não</div></div> <div><div>Atividade BDNF</div><div><input type="checkbox"/></div><div>não</div></div> <div><div>Atividade P-gp</div><div><input type="checkbox"/></div><div>não</div></div> <div><div>Atividade de CYP1A2</div><div><input type="checkbox"/></div><div>não</div></div> <div><div>Atividade de CYP2C9</div><div><input type="checkbox"/></div><div>não</div></div> <div><div>Atividade de CYP2C19</div><div><input type="checkbox"/></div><div>não</div></div> <div><div>Atividade de CYP3A4</div><div><input type="checkbox"/></div><div>não</div></div> <div><div>Log P<sub>o/w</sub> (partição de óleo)</div><div>2,36</div></div> <div><div>Atividade GPCR</div><div><input type="checkbox"/></div><div>não</div></div> <div><div>Atividade BDNF</div><div><input type="checkbox"/></div><div>não</div></div> <div><div>Atividade P-gp</div><div><input type="checkbox"/></div><div>não</div></div> <div><div>Atividade de CYP1A2</div><div><input type="checkbox"/></div><div>não</div></div> <div><div>Atividade de CYP2C9</div><div><input type="checkbox"/></div><div>não</div></div> <div><div>Atividade de CYP2C19</div><div><input type="checkbox"/></div><div>não</div></div> <div><div>Atividade de CYP3A4</div><div><input type="checkbox"/></div><div>não</div></div> <div><div>Log P<sub>o/w</sub> (partição de óleo)</div><div>2,36</div></div>	
<div>000004</div> <div><div><div><div><div><div></div></div></div><div><div><div></div></div><div><div></div></div></div><div><div><div></div></div><div><div></div></div></div></div></div><div><div>4-Benzyl-2-(2H-pyridyl)pyridine</div><div>Apresentação: LAD</div><div>Regra: 008</div></div></div>	<div>Motor de geração</div> <div>Molinspira</div> <div><div>mollogP</div><div>4,80</div></div> <div><div>TPSA</div><div>105,77</div></div> <div><div>rotoms 30</div><div>MW 474,36</div><div>não 8</div><div>nOHNH 4</div><div>nviolacões 0</div><div>nrotb 7</div></div> <div><div>volume</div><div>378,01</div></div>	<div>Pontuação de bioatividade de Molinspiration v0.11.0</div> <div><div>GPCR</div><div>0,18</div></div> <div><div>Modulador de canal iônico</div><div>-0,25</div></div> <div><div>Inibidor de quinase</div><div>0,63</div></div> <div><div>Ligante de receptor nuclear</div><div>-0,68</div></div> <div><div>Inibidor de protease</div><div>-0,17</div></div> <div><div>Inibidor de enzima</div><div>0,16</div></div>	<div><div>Atividade GPCR</div><div><input type="checkbox"/></div><div>não</div></div> <div><div>Atividade BDNF</div><div><input type="checkbox"/></div><div>não</div></div> <div><div>Atividade P-gp</div><div><input type="checkbox"/></div><div>não</div></div> <div><div>Atividade de CYP1A2</div><div><input type="checkbox"/></div><div>não</div></div> <div><div>Atividade de CYP2C9</div><div><input type="checkbox"/></div><div>não</div></div> <div><div>Atividade de CYP2C19</div><div><input type="checkbox"/></div><div>não</div></div> <div><div>Atividade de CYP3A4</div><div><input type="checkbox"/></div><div>não</div></div> <div><div>Log P<sub>o/w</sub> (partição de óleo)</div><div>2,36</div></div> <div><div>Atividade GPCR</div><div><input type="checkbox"/></div><div>não</div></div> <div><div>Atividade BDNF</div><div><input type="checkbox"/></div><div>não</div></div> <div><div>Atividade P-gp</div><div><input type="checkbox"/></div><div>não</div></div> <div><div>Atividade de CYP1A2</div><div><input type="checkbox"/></div><div>não</div></div> <div><div>Atividade de CYP2C9</div><div><input type="checkbox"/></div><div>não</div></div> <div><div>Atividade de CYP2C19</div><div><input type="checkbox"/></div><div>não</div></div> <div><div>Atividade de CYP3A4</div><div><input type="checkbox"/></div><div>não</div></div> <div><div>Log P<sub>o/w</sub> (partição de óleo)</div><div>2,36</div></div>	
<div>000005</div> <div><div><div><div><div><div></div></div></div><div><div><div></div></div><div><div></div></div></div><div><div><div></div></div><div><div></div></div></div></div></div><div><div>4-Benzyl-2-(2H-pyridyl)pyridine</div><div>Apresentação: LAD</div><div>Regra: 007</div></div></div>	<div>Motor de geração</div> <div>Molinspira</div> <div><div>mollogP</div><div>0,63</div></div> <div><div>TPSA</div><div>134,87</div></div> <div><div>rotoms 21</div><div>MW 287,28</div><div>não 9</div><div>nOHNH 5</div><div>nviolacões 0</div><div>nrotb 3</div></div> <div><div>volume</div><div>241,62</div></div>	<div>Pontuação de bioatividade de Molinspiration v0.11.0</div> <div><div>GPCR</div><div>-0,83</div></div> <div><div>Modulador de canal iônico</div><div>-0,40</div></div> <div><div>Inibidor de quinase</div><div>0,67</div></div> <div><div>Ligante de receptor nuclear</div><div>-1,24</div></div> <div><div>Inibidor de protease</div><div>-0,42</div></div> <div><div>Inibidor de enzima</div><div>0,24</div></div>	<div><div>Atividade GPCR</div><div><input type="checkbox"/></div><div>não</div></div> <div><div>Atividade BDNF</div><div><input type="checkbox"/></div><div>não</div></div> <div><div>Atividade P-gp</div><div><input type="checkbox"/></div><div>não</div></div> <div><div>Atividade de CYP1A2</div><div><input type="checkbox"/></div><div>não</div></div> <div><div>Atividade de CYP2C9</div><div><input type="checkbox"/></div><div>não</div></div> <div><div>Atividade de CYP2C19</div><div><input type="checkbox"/></div><div>não</div></div> <div><div>Atividade de CYP3A4</div><div><input type="checkbox"/></div><div>não</div></div> <div><div>Log P<sub>o/w</sub> (partição de óleo)</div><div>2,36</div></div> <div><div>Atividade GPCR</div><div><input type="checkbox"/></div><div>não</div></div> <div><div>Atividade BDNF</div><div><input type="checkbox"/></div><div>não</div></div> <div><div>Atividade P-gp</div><div><input type="checkbox"/></div><div>não</div></div> <div><div>Atividade de CYP1A2</div><div><input type="checkbox"/></div><div>não</div></div> <div><div>Atividade de CYP2C9</div><div><input type="checkbox"/></div><div>não</div></div> <div><div>Atividade de CYP2C19</div><div><input type="checkbox"/></div><div>não</div></div> <div><div>Atividade de CYP3A4</div><div><input type="checkbox"/></div><div>não</div></div> <div><div>Log P<sub>o/w</sub> (partição de óleo)</div><div>2,36</div></div>	
<div>000006</div> <div><div><div><div><div><div></div></div></div><div><div><div></div></div><div><div></div></div></div><div><div><div></div></div><div><div></div></div></div></div></div><div><div>4-Benzyl-2-(2H-pyridyl)pyridine</div><div>Apresentação: LAD</div><div>Regra: 007</div></div></div>	<div>Motor de geração</div> <div>Molinspira</div> <div><div>mollogP</div><div>4,52</div></div> <div><div>TPSA</div><div>145,35</div></div> <div><div>rotoms 33</div><div>MW 462,00</div><div>não 9</div><div>nOHNH 4</div><div>nviolacões 1</div><div>nrotb 4</div></div> <div><div>volume</div><div>382,58</div></div>	<div>Pontuação de bioatividade de Molinspiration v0.11.0</div> <div><div>Ligante de GPCR</div><div>-0,1</div></div> <div><div>Modulador de canal iônico</div><div>-0,1</div></div> <div><div>Inibidor de quinase</div><div>0,40</div></div> <div><div>Ligante de receptor nuclear</div><div>-0,44</div></div> <div><div>Inibidor de protease</div><div>-0,42</div></div> <div><div>Inibidor de enzima</div><div>0,18</div></div>	<div><div>Atividade GPCR</div><div><input type="checkbox"/></div><div>não</div></div> <div><div>Atividade BDNF</div><div><input type="checkbox"/></div><div>não</div></div> <div><div>Atividade P-gp</div><div><input type="checkbox"/></div><div>não</div></div> <div><div>Atividade de CYP1A2</div><div><input type="checkbox"/></div><div>não</div></div> <div><div>Atividade de CYP2C9</div><div><input type="checkbox"/></div><div>não</div></div> <div><div>Atividade de CYP2C19</div><div><input type="checkbox"/></div><div>não</div></div> <div><div>Atividade de CYP3A4</div><div><input type="checkbox"/></div><div>não</div></div> <div><div>Log P<sub>o/w</sub> (partição de óleo)</div><div>2,36</div></div> <div><div>Atividade GPCR</div><div><input type="checkbox"/></div><div>não</div></div> <div><div>Atividade BDNF</div><div><input type="checkbox"/></div><div>não</div></div> <div><div>Atividade P-gp</div><div><input type="checkbox"/></div><div>não</div></div> <div><div>Atividade de CYP1A2</div><div><input type="checkbox"/></div><div>não</div></div> <div><div>Atividade de CYP2C9</div><div><input type="checkbox"/></div><div>não</div></div> <div><div>Atividade de CYP2C19</div><div><input type="checkbox"/></div><div>não</div></div> <div><div>Atividade de CYP3A4</div><div><input type="checkbox"/></div><div>não</div></div> <div><div>Log P<sub>o/w</sub> (partição de óleo)</div><div>2,36</div></div>	

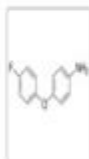

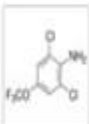
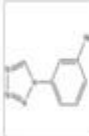

[illegible]

[illegible]



[illegible]

## ANEXO B - CAPACIDADE DE ATRAVESSAR BARREIRA HEMATO-ENCEFÁLICA

<div>1) Produto nº <b>695408</b></div> <div><div></div><div><div><b>4-(4-Fluorophenoxy)aniline</b></div><div>Empirical Formula (Hill Notation): <math>C_{12}H_{11}FO</math></div><div>CAS No.: <b>36160-82-4</b>    <b>Peso molecular:</b> 203.21</div></div></div>	<table><tr><td>99% Capable de Penetrar (Fluoresceína)</td><td>87.3%</td><td>9%</td><td>• Regulação nos lipídeos por via alterando lipídeos e proteínas e não base sobre</td><td>• 2009: 179-1-129-152-1 pag. 34</td></tr><tr><td>10% Distribuição de Volume</td><td>0.047 L/kg</td><td>100-10 L/kg</td><td>• 2009: 179-1-129-152-1 pag. 34 • 2009: 179-1-129-152-1 pag. 34 • 2009: 179-1-129-152-1 pag. 34</td><td>• 2009: 179-1-129-152-1 pag. 34 • 2009: 179-1-129-152-1 pag. 34 • 2009: 179-1-129-152-1 pag. 34</td></tr><tr><td>100% Distribuição de Volume</td><td>11</td><td>100%</td><td>• 2009: 179-1-129-152-1 pag. 34 • 2009: 179-1-129-152-1 pag. 34 • 2009: 179-1-129-152-1 pag. 34</td><td>• 2009: 179-1-129-152-1 pag. 34 • 2009: 179-1-129-152-1 pag. 34 • 2009: 179-1-129-152-1 pag. 34</td></tr></table>	99% Capable de Penetrar (Fluoresceína)	87.3%	9%	• Regulação nos lipídeos por via alterando lipídeos e proteínas e não base sobre	• 2009: 179-1-129-152-1 pag. 34	10% Distribuição de Volume	0.047 L/kg	100-10 L/kg	• 2009: 179-1-129-152-1 pag. 34 • 2009: 179-1-129-152-1 pag. 34 • 2009: 179-1-129-152-1 pag. 34	• 2009: 179-1-129-152-1 pag. 34 • 2009: 179-1-129-152-1 pag. 34 • 2009: 179-1-129-152-1 pag. 34	100% Distribuição de Volume	11	100%	• 2009: 179-1-129-152-1 pag. 34 • 2009: 179-1-129-152-1 pag. 34 • 2009: 179-1-129-152-1 pag. 34	• 2009: 179-1-129-152-1 pag. 34 • 2009: 179-1-129-152-1 pag. 34 • 2009: 179-1-129-152-1 pag. 34
99% Capable de Penetrar (Fluoresceína)	87.3%	9%	• Regulação nos lipídeos por via alterando lipídeos e proteínas e não base sobre	• 2009: 179-1-129-152-1 pag. 34												
10% Distribuição de Volume	0.047 L/kg	100-10 L/kg	• 2009: 179-1-129-152-1 pag. 34 • 2009: 179-1-129-152-1 pag. 34 • 2009: 179-1-129-152-1 pag. 34	• 2009: 179-1-129-152-1 pag. 34 • 2009: 179-1-129-152-1 pag. 34 • 2009: 179-1-129-152-1 pag. 34												
100% Distribuição de Volume	11	100%	• 2009: 179-1-129-152-1 pag. 34 • 2009: 179-1-129-152-1 pag. 34 • 2009: 179-1-129-152-1 pag. 34	• 2009: 179-1-129-152-1 pag. 34 • 2009: 179-1-129-152-1 pag. 34 • 2009: 179-1-129-152-1 pag. 34												
<div>2) <b>CBR01220</b></div> <div><div></div><div><div><b>4-(Tetrahydrofuran-2-ylmethoxy)aniline</b></div><div>Empirical Formula (Hill Notation): <math>C_{12}H_{15}FO_2</math></div><div>CAS No.: <b>91245-63-8</b>    <b>Peso molecular:</b> 193.24</div></div></div>	<table><tr><td>99% Capable de Penetrar (Fluoresceína)</td><td>85.4%</td><td>9%</td><td>• Regulação nos lipídeos por via alterando lipídeos e proteínas e não base sobre</td><td>• 2009: 179-1-129-152-1 pag. 34</td></tr><tr><td>10% Distribuição de Volume</td><td>0.047 L/kg</td><td>100-10 L/kg</td><td>• 2009: 179-1-129-152-1 pag. 34 • 2009: 179-1-129-152-1 pag. 34 • 2009: 179-1-129-152-1 pag. 34</td><td>• 2009: 179-1-129-152-1 pag. 34 • 2009: 179-1-129-152-1 pag. 34 • 2009: 179-1-129-152-1 pag. 34</td></tr><tr><td>100% Distribuição de Volume</td><td>11</td><td>100%</td><td>• 2009: 179-1-129-152-1 pag. 34 • 2009: 179-1-129-152-1 pag. 34 • 2009: 179-1-129-152-1 pag. 34</td><td>• 2009: 179-1-129-152-1 pag. 34 • 2009: 179-1-129-152-1 pag. 34 • 2009: 179-1-129-152-1 pag. 34</td></tr></table>	99% Capable de Penetrar (Fluoresceína)	85.4%	9%	• Regulação nos lipídeos por via alterando lipídeos e proteínas e não base sobre	• 2009: 179-1-129-152-1 pag. 34	10% Distribuição de Volume	0.047 L/kg	100-10 L/kg	• 2009: 179-1-129-152-1 pag. 34 • 2009: 179-1-129-152-1 pag. 34 • 2009: 179-1-129-152-1 pag. 34	• 2009: 179-1-129-152-1 pag. 34 • 2009: 179-1-129-152-1 pag. 34 • 2009: 179-1-129-152-1 pag. 34	100% Distribuição de Volume	11	100%	• 2009: 179-1-129-152-1 pag. 34 • 2009: 179-1-129-152-1 pag. 34 • 2009: 179-1-129-152-1 pag. 34	• 2009: 179-1-129-152-1 pag. 34 • 2009: 179-1-129-152-1 pag. 34 • 2009: 179-1-129-152-1 pag. 34
99% Capable de Penetrar (Fluoresceína)	85.4%	9%	• Regulação nos lipídeos por via alterando lipídeos e proteínas e não base sobre	• 2009: 179-1-129-152-1 pag. 34												
10% Distribuição de Volume	0.047 L/kg	100-10 L/kg	• 2009: 179-1-129-152-1 pag. 34 • 2009: 179-1-129-152-1 pag. 34 • 2009: 179-1-129-152-1 pag. 34	• 2009: 179-1-129-152-1 pag. 34 • 2009: 179-1-129-152-1 pag. 34 • 2009: 179-1-129-152-1 pag. 34												
100% Distribuição de Volume	11	100%	• 2009: 179-1-129-152-1 pag. 34 • 2009: 179-1-129-152-1 pag. 34 • 2009: 179-1-129-152-1 pag. 34	• 2009: 179-1-129-152-1 pag. 34 • 2009: 179-1-129-152-1 pag. 34 • 2009: 179-1-129-152-1 pag. 34												
<div>3)<b>429899</b></div> <div><div></div><div><div><b>2,6-Dichloro-4-(trifluoromethoxy)aniline</b></div><div>Empirical Formula (Hill Notation): <math>C_7H_4Cl_2F_3NO</math></div><div>CAS No.: <b>91679-44-0</b>    <b>Peso molecular:</b> 246.01</div></div></div>	<div>Não foi possível calcular</div>															
<div>4)<b>CBR01855</b></div> <div><div></div><div><div><b>3-(1H-Tetrazol-1-yl)aniline</b></div><div>Empirical Formula (Hill Notation): <math>C_7H_5N_4</math></div><div>CAS No.: <b>14213-12-8</b>    <b>Peso molecular:</b> 161.15</div></div></div>	<table><tr><td>99% Capable de Penetrar (Fluoresceína)</td><td>85.4%</td><td>9%</td><td>• Regulação nos lipídeos por via alterando lipídeos e proteínas e não base sobre</td><td>• 2009: 179-1-129-152-1 pag. 34</td></tr><tr><td>10% Distribuição de Volume</td><td>0.047 L/kg</td><td>100-10 L/kg</td><td>• 2009: 179-1-129-152-1 pag. 34 • 2009: 179-1-129-152-1 pag. 34 • 2009: 179-1-129-152-1 pag. 34</td><td>• 2009: 179-1-129-152-1 pag. 34 • 2009: 179-1-129-152-1 pag. 34 • 2009: 179-1-129-152-1 pag. 34</td></tr><tr><td>100% Distribuição de Volume</td><td>11</td><td>100%</td><td>• 2009: 179-1-129-152-1 pag. 34 • 2009: 179-1-129-152-1 pag. 34 • 2009: 179-1-129-152-1 pag. 34</td><td>• 2009: 179-1-129-152-1 pag. 34 • 2009: 179-1-129-152-1 pag. 34 • 2009: 179-1-129-152-1 pag. 34</td></tr></table>	99% Capable de Penetrar (Fluoresceína)	85.4%	9%	• Regulação nos lipídeos por via alterando lipídeos e proteínas e não base sobre	• 2009: 179-1-129-152-1 pag. 34	10% Distribuição de Volume	0.047 L/kg	100-10 L/kg	• 2009: 179-1-129-152-1 pag. 34 • 2009: 179-1-129-152-1 pag. 34 • 2009: 179-1-129-152-1 pag. 34	• 2009: 179-1-129-152-1 pag. 34 • 2009: 179-1-129-152-1 pag. 34 • 2009: 179-1-129-152-1 pag. 34	100% Distribuição de Volume	11	100%	• 2009: 179-1-129-152-1 pag. 34 • 2009: 179-1-129-152-1 pag. 34 • 2009: 179-1-129-152-1 pag. 34	• 2009: 179-1-129-152-1 pag. 34 • 2009: 179-1-129-152-1 pag. 34 • 2009: 179-1-129-152-1 pag. 34
99% Capable de Penetrar (Fluoresceína)	85.4%	9%	• Regulação nos lipídeos por via alterando lipídeos e proteínas e não base sobre	• 2009: 179-1-129-152-1 pag. 34												
10% Distribuição de Volume	0.047 L/kg	100-10 L/kg	• 2009: 179-1-129-152-1 pag. 34 • 2009: 179-1-129-152-1 pag. 34 • 2009: 179-1-129-152-1 pag. 34	• 2009: 179-1-129-152-1 pag. 34 • 2009: 179-1-129-152-1 pag. 34 • 2009: 179-1-129-152-1 pag. 34												
100% Distribuição de Volume	11	100%	• 2009: 179-1-129-152-1 pag. 34 • 2009: 179-1-129-152-1 pag. 34 • 2009: 179-1-129-152-1 pag. 34	• 2009: 179-1-129-152-1 pag. 34 • 2009: 179-1-129-152-1 pag. 34 • 2009: 179-1-129-152-1 pag. 34												
<div>5)<b>PH016744</b></div> <div><div></div><div><div><b>3-(4-Chloro-3-ethylphenoxy)aniline</b></div><div>Empirical Formula (Hill Notation): <math>C_{15}H_{15}ClO</math></div><div>CAS No.: <b>263266-18-8</b></div></div></div>	<table><tr><td>99% Capable de Penetrar (Fluoresceína)</td><td>85.4%</td><td>9%</td><td>• Regulação nos lipídeos por via alterando lipídeos e proteínas e não base sobre</td><td>• 2009: 179-1-129-152-1 pag. 34</td></tr><tr><td>10% Distribuição de Volume</td><td>0.047 L/kg</td><td>100-10 L/kg</td><td>• 2009: 179-1-129-152-1 pag. 34 • 2009: 179-1-129-152-1 pag. 34 • 2009: 179-1-129-152-1 pag. 34</td><td>• 2009: 179-1-129-152-1 pag. 34 • 2009: 179-1-129-152-1 pag. 34 • 2009: 179-1-129-152-1 pag. 34</td></tr><tr><td>100% Distribuição de Volume</td><td>11</td><td>100%</td><td>• 2009: 179-1-129-152-1 pag. 34 • 2009: 179-1-129-152-1 pag. 34 • 2009: 179-1-129-152-1 pag. 34</td><td>• 2009: 179-1-129-152-1 pag. 34 • 2009: 179-1-129-152-1 pag. 34 • 2009: 179-1-129-152-1 pag. 34</td></tr></table>	99% Capable de Penetrar (Fluoresceína)	85.4%	9%	• Regulação nos lipídeos por via alterando lipídeos e proteínas e não base sobre	• 2009: 179-1-129-152-1 pag. 34	10% Distribuição de Volume	0.047 L/kg	100-10 L/kg	• 2009: 179-1-129-152-1 pag. 34 • 2009: 179-1-129-152-1 pag. 34 • 2009: 179-1-129-152-1 pag. 34	• 2009: 179-1-129-152-1 pag. 34 • 2009: 179-1-129-152-1 pag. 34 • 2009: 179-1-129-152-1 pag. 34	100% Distribuição de Volume	11	100%	• 2009: 179-1-129-152-1 pag. 34 • 2009: 179-1-129-152-1 pag. 34 • 2009: 179-1-129-152-1 pag. 34	• 2009: 179-1-129-152-1 pag. 34 • 2009: 179-1-129-152-1 pag. 34 • 2009: 179-1-129-152-1 pag. 34
99% Capable de Penetrar (Fluoresceína)	85.4%	9%	• Regulação nos lipídeos por via alterando lipídeos e proteínas e não base sobre	• 2009: 179-1-129-152-1 pag. 34												
10% Distribuição de Volume	0.047 L/kg	100-10 L/kg	• 2009: 179-1-129-152-1 pag. 34 • 2009: 179-1-129-152-1 pag. 34 • 2009: 179-1-129-152-1 pag. 34	• 2009: 179-1-129-152-1 pag. 34 • 2009: 179-1-129-152-1 pag. 34 • 2009: 179-1-129-152-1 pag. 34												
100% Distribuição de Volume	11	100%	• 2009: 179-1-129-152-1 pag. 34 • 2009: 179-1-129-152-1 pag. 34 • 2009: 179-1-129-152-1 pag. 34	• 2009: 179-1-129-152-1 pag. 34 • 2009: 179-1-129-152-1 pag. 34 • 2009: 179-1-129-152-1 pag. 34												

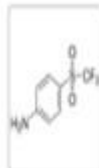
<div>5) <a href="#">336599</a></div> <div><div><div><div><div><div></div></div></div><div><div><div><div><div></div></div></div></div><div><div><div><div><div></div></div></div></div></div></div><div><div><div><div><div></div></div></div></div></div></div><div><div><div><div><div></div></div></div></div></div></div><div><div><div><div><div></div></div></div></div></div></div> <div><div><div><div><div></div></div></div></div></div>
--

</



[illegible]

16) [481920](#)

Nc1ccc(S(=O)(=O)C(F)(F)F)cc1

### 4-(Trifluoromethylsulfonyl)aniline

Formula lineal:  $\text{CF}_3\text{SO}_2\text{C}_6\text{H}_4\text{NH}_2$

CAS No.:

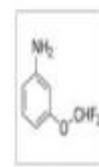
[475-27-8](#)

Peso molecular:

225.19

999 Lupa de Frotada (Pantufol)	0,20%	9%	• Aplicativo em lapa por de alavanca lapa e pimenta e lapa lapa	• 100 174 124-452 1 pag. 34
10 Dendroide de lapa	0,001 kg	0,0-0,1 kg	• 100 174 124-452 1 pag. 34	• 100 174 124-452 1 pag. 34
100 Dendroide de lapa	0,001 kg	0,0-0,1 kg	• 100 174 124-452 1 pag. 34	• 100 174 124-452 1 pag. 34

17) [586448](#)

Nc1cccc(OC(F)F)c1

### 3-(Difluoromethoxy)aniline

Formula lineal:  $\text{CH}_3\text{OCF}_2\text{C}_6\text{H}_4\text{NH}_2$

CAS No.:

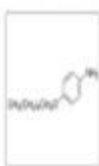
[22234-98-4](#)

Peso molecular:

159.13

999 Lupa de Frotada (Pantufol)	0,20%	9%	• Aplicativo em lapa por de alavanca lapa e pimenta e lapa lapa	• 100 174 124-452 1 pag. 34
10 Dendroide de lapa	0,001 kg	0,0-0,1 kg	• 100 174 124-452 1 pag. 34	• 100 174 124-452 1 pag. 34
100 Dendroide de lapa	0,001 kg	0,0-0,1 kg	• 100 174 124-452 1 pag. 34	• 100 174 124-452 1 pag. 34

18) [222100](#)

Nc1ccc(OCCCCC)cc1

### 4-(Hexyloxy)aniline

Formula lineal:  $\text{CH}_3(\text{CH}_2)_5\text{OC}_6\text{H}_4\text{NH}_2$

CAS No.:

[39926-57-2](#)

Peso molecular:

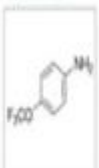
193.29

EC No.:

[254-696-8](#)

999 Lupa de Frotada (Pantufol)	0,20%	9%	• Aplicativo em lapa por de alavanca lapa e pimenta e lapa lapa	• 100 174 124-452 1 pag. 34
10 Dendroide de lapa	0,001 kg	0,0-0,1 kg	• 100 174 124-452 1 pag. 34	• 100 174 124-452 1 pag. 34
100 Dendroide de lapa	0,001 kg	0,0-0,1 kg	• 100 174 124-452 1 pag. 34	• 100 174 124-452 1 pag. 34

19) [227086](#)

Nc1ccc(OC(F)(F)F)cc1

### 4-(Trifluoromethoxy)aniline

Sinônimo(s): 4-(2-Trifluoro-para)anilina

Formula lineal:  $\text{CF}_3\text{OC}_6\text{H}_4\text{NH}_2$

CAS No.:

[463-02-5](#)

Peso molecular:

177.12

EC No.:

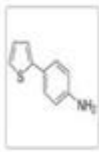
[207-317-5](#)

Referência No.:

2090209

999 Lupa de Frotada (Pantufol)	0,20%	9%	• Aplicativo em lapa por de alavanca lapa e pimenta e lapa lapa	• 100 174 124-452 1 pag. 34
10 Dendroide de lapa	0,001 kg	0,0-0,1 kg	• 100 174 124-452 1 pag. 34	• 100 174 124-452 1 pag. 34
100 Dendroide de lapa	0,001 kg	0,0-0,1 kg	• 100 174 124-452 1 pag. 34	• 100 174 124-452 1 pag. 34

20) [654558](#)

Nc1ccc(cc1)-c2ccsc2

### 4-(Thiophen-2-yl)aniline

Sinônimo(s): 4-(2-Thienyl)anilina

Empirical Formula (Mol Notation):  $\text{C}_{10}\text{H}_9\text{NS}$

CAS No.:

[70018-48-9](#)

Peso molecular:

175.25

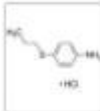
999 Lupa de Frotada (Pantufol)	0,20%	9%	• Aplicativo em lapa por de alavanca lapa e pimenta e lapa lapa	• 100 174 124-452 1 pag. 34
10 Dendroide de lapa	0,001 kg	0,0-0,1 kg	• 100 174 124-452 1 pag. 34	• 100 174 124-452 1 pag. 34
100 Dendroide de lapa	0,001 kg	0,0-0,1 kg	• 100 174 124-452 1 pag. 34	• 100 174 124-452 1 pag. 34



[illegible]

32)

[CBR01435](#)



Chemical structure of 4-(Propylthio)aniline hydrochloride, showing an aniline ring with a propylthio group at the para position and a hydrochloride counterion.

### 4-(Propylthio)aniline hydrochloride

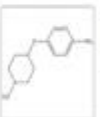
Empirical Formula (Molecular Weight):  $C_9H_{11}NS$

Molecular Weight: 205.73

FFS Ligação de Proteínas (Fluorescência)	87.20%	95%	• Ligação com drogas que são altamente lipofílicas e penetram a barreira hematoencefálica
TS (Distribuição de Volume)	6.07 L/kg	0.34-2.1 L/kg	• Classe 0.34-2.1 L/kg
BB (Barreira Sangue-Cérebro)	HH	0.07	• Classe BB <0.1 BB+ Classe BB <0.1 BB+ • Essas substâncias tendem a sofrer a permeação de BBB Ligação de R (oral) = 0-2.5% = 40-50% de acidez

33)

[CBR00534](#)



Chemical structure of 4-[(1-Methylpiperidin-4-yl)oxy]aniline, showing an aniline ring with a 1-methylpiperidin-4-yl group at the para position.

### 4-[(1-Methylpiperidin-4-yl)oxy]aniline

Empirical Formula (Molecular Weight):  $C_{17}H_{25}NO$

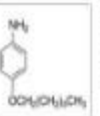
CAS No.: 358789-72-7

Molecular Weight: 266.28

FFS Ligação de Proteínas (Fluorescência)	84.03 %	95%	• Ligação com drogas que são altamente lipofílicas e penetram a barreira hematoencefálica
TS (Distribuição de Volume)	6.07 L/kg	0.34-2.1 L/kg	• Classe 0.34-2.1 L/kg
BB (Barreira Sangue-Cérebro)	HH	0.07	• Classe BB <0.1 BB+ Classe BB <0.1 BB+ • Essas substâncias tendem a sofrer a permeação de BBB Ligação de R (oral) = 0-2.5% = 40-50% de acidez

34)

[T346006](#)



Chemical structure of 4-(Heptyloxy)aniline, showing an aniline ring with a heptyloxy group at the para position.

### 4-(HEPTYLOXY)ANILINE

Formula (Molar):  $C_{17}H_{25}NO$

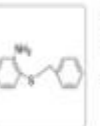
CAS No.: 39905-84-7

Molecular Weight: 267.35

FFS Ligação de Proteínas (Fluorescência)	85.64%	95%	• Ligação com drogas que são altamente lipofílicas e penetram a barreira hematoencefálica
TS (Distribuição de Volume)	6.07 L/kg	0.34-2.1 L/kg	• Classe 0.34-2.1 L/kg
BB (Barreira Sangue-Cérebro)	HH	0.07	• Classe BB <0.1 BB+ Classe BB <0.1 BB+ • Essas substâncias tendem a sofrer a permeação de BBB Ligação de R (oral) = 0-2.5% = 40-50% de acidez

35)

[S704121](#)



Chemical structure of 2-(Benzylthio)aniline, showing an aniline ring with a benzylthio group at the ortho position.

### 2-(BENZYLTHIO)ANILINE

Formula (Molar):  $C_{17}H_{17}S$

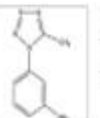
CAS No.: 6025-92-4

Molecular Weight: 215.319

FFS Ligação de Proteínas (Fluorescência)	87.71%	95%	• Ligação com drogas que são altamente lipofílicas e penetram a barreira hematoencefálica
TS (Distribuição de Volume)	6.07 L/kg	0.34-2.1 L/kg	• Classe 0.34-2.1 L/kg
BB (Barreira Sangue-Cérebro)	HH	0.07	• Classe BB <0.1 BB+ Classe BB <0.1 BB+ • Essas substâncias tendem a sofrer a permeação de BBB Ligação de R (oral) = 0-2.5% = 40-50% de acidez

36)

[CBR00286](#)



Chemical structure of 3-(5-Methyl-1H-tetrazol-1-yl)aniline, showing an aniline ring with a 5-methyl-1H-tetrazol-1-yl group at the meta position.

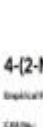
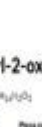



### 3-(5-Methyl-1H-tetrazol-1-yl)aniline

Empirical Formula (Molecular Weight):  $C_9H_8N_4$

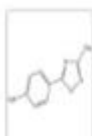
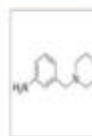
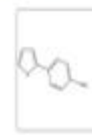

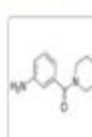
CAS No.: 500701-24-6

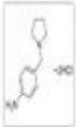
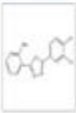
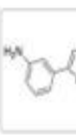
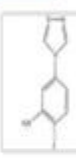
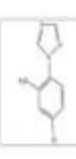
Molecular Weight: 176.19

FFS Ligação de Proteínas (Fluorescência)	87.94%	95%	• Ligação com drogas que são altamente lipofílicas e penetram a barreira hematoencefálica
TS (Distribuição de Volume)	6.07 L/kg	0.34-2.1 L/kg	• Classe 0.34-2.1 L/kg
BB (Barreira Sangue-Cérebro)	HH	0.07	• Classe BB <0.1 BB+ Classe BB <0.1 BB+ • Essas substâncias tendem a sofrer a permeação de BBB Ligação de R (oral) = 0-2.5% = 40-50% de acidez

<p>37)</p> <p><b>CBR00344</b></p>  <p><b>3-Methoxy-5-(1H-tetrazol-1-yl)aniline</b></p> <p>Empirical Formula (Molecular Weight): <math>C_9H_8N_4O</math></p> <p>CAS No.: 883291-48-3      Purity molecular: 171.19</p>	<p>PPB (Passive Permeability Binding): 81.98 %</p> <p>90 %</p> <ul style="list-style-type: none"> <li>Significant with drugs that are highly protein bound and have a low therapeutic index</li> </ul> <p>VO (Volume Distribution): &lt;27 L/kg</p> <p>0.14-0.15 L/kg</p> <ul style="list-style-type: none"> <li>Optimal 0.14-0.15 L/kg</li> <li>Range</li> <li>&lt;0.7 L/kg Confined to blood, bound to plasma proteins or highly hydrophilic; 0.07-0.7 L/kg Broadly distributed; &lt;0.7 L/kg Bound to tissue components (e.g., protein, lipid) highly lipophilic</li> </ul> <p>BBB (Blood-Brain Barrier): ++</p> <p>0.720</p> <ul style="list-style-type: none"> <li>BB ratio &lt;0.1 BBB+ BB ratio &lt;0.1 BBB-</li> <li>Does not seem to be a molecule a permeability of BBB</li> <li>lipophile de 0.140 - 0.150 MN - 400-500 Da acids</li> </ul>
<p>38)</p> <p><b>CBR00087</b></p>  <p><b>4-(2-Morpholin-4-yl-2-oxoethoxy)aniline</b></p> <p>Empirical Formula (Molecular Weight): <math>C_{12}H_{14}N_2O_3</math></p> <p>CAS No.: 76870-09-2      Purity molecular: 236.27</p>	<p>PPB (Ligação de Proteínas Plasmáticas): 73.02 %</p> <p>90 %</p> <ul style="list-style-type: none"> <li>Significative with drugs that are extremely lipophilic a proteinase a alta baixa index lipofilia</li> </ul> <p>VO (Distribuição de Volume): &lt;22 L/kg</p> <p>0.14-0.15 L/kg</p> <ul style="list-style-type: none"> <li>Optimal 0.14-0.15 L/kg</li> <li>Alcance</li> <li>&lt;0.7 L/kg Confined to blood, bound to plasma proteins or highly hydrophilic; 0.07-0.7 L/kg Broadly distributed; &lt;0.7 L/kg Bound to tissue components (e.g., protein, lipid) extremely lipophilic</li> </ul> <p>BBB (Barreira Sangue-Cérebro): ++</p> <p>0.720</p> <ul style="list-style-type: none"> <li>BB ratio &lt;0.1 BBB+ BB ratio &lt;0.1 BBB-</li> <li>Does not seem to be a molecule a permeability of BBB</li> <li>lipophile de 0.140 - 0.150 MN - 400-500 Da acids</li> </ul>
<p>39)</p> <p><b>CBR00524</b></p>  <p><b>2-Methyl-3-(1H-pyrrol-1-yl)aniline</b></p> <p>Empirical Formula (Molecular Weight): <math>C_{10}H_{10}N_2</math></p> <p>CAS No.: 137352-75-1      Purity molecular: 172.20</p>	<p>PPB (Passive Permeability Binding): 81.29 %</p> <p>90 %</p> <ul style="list-style-type: none"> <li>Significant with drugs that are highly protein bound and have a low therapeutic index</li> </ul> <p>VO (Volume Distribution): 114.2 L/kg</p> <p>0.14-0.15 L/kg</p> <ul style="list-style-type: none"> <li>Optimal 0.14-0.15 L/kg</li> <li>Range</li> <li>&lt;0.7 L/kg Confined to blood, bound to plasma proteins or highly hydrophilic; 0.07-0.7 L/kg Broadly distributed; &lt;0.7 L/kg Bound to tissue components (e.g., protein, lipid) highly lipophilic</li> </ul> <p>BBB (Blood-Brain Barrier): +</p> <p>0.68</p> <ul style="list-style-type: none"> <li>BB ratio &lt;0.1 BBB+ BB ratio &lt;0.1 BBB-</li> <li>Does not seem to be a molecule a permeability of BBB</li> <li>lipophile de 0.140 - 0.150 MN - 400-500 Da acids</li> </ul>
<p>40)</p> <p><b>CBR01382</b></p>  <p><b>2-Methyl-5-(1H-tetrazol-1-yl)aniline</b></p> <p>Empirical Formula (Molecular Weight): <math>C_9H_8N_4</math></p> <p>CAS No.: 364860-18-8      Purity molecular: 175.19</p>	<p>PPB (Ligação de Proteínas Plasmáticas): 87.08 %</p> <p>90 %</p> <ul style="list-style-type: none"> <li>Significative with drugs that are extremely lipophilic a proteinase a alta baixa index lipofilia</li> </ul> <p>VO (Distribuição de Volume): &lt;280 L/kg</p> <p>0.14-0.15 L/kg</p> <ul style="list-style-type: none"> <li>Optimal 0.14-0.15 L/kg</li> <li>Alcance</li> <li>&lt;0.7 L/kg Confined to blood, bound to plasma proteins or highly hydrophilic; 0.07-0.7 L/kg Broadly distributed; &lt;0.7 L/kg Bound to tissue components (e.g., protein, lipid) extremely lipophilic</li> </ul> <p>BBB (Barreira Sangue-Cérebro): +</p> <p>0.68</p> <ul style="list-style-type: none"> <li>BB ratio &lt;0.1 BBB+ BB ratio &lt;0.1 BBB-</li> <li>Does not seem to be a molecule a permeability of BBB</li> <li>lipophile de 0.140 - 0.150 MN - 400-500 Da acids</li> </ul>
<p>41)</p> <p><b>CBR01986</b></p>  <p><b>3-(2,5-Dimethyl-1H-pyrrol-1-yl)aniline</b></p> <p>Empirical Formula (Molecular Weight): <math>C_{11}H_{12}N_2</math></p> <p>CAS No.: 247225-10-4      Purity molecular: 166.25</p>	<p>PPB (Passive Permeability Binding): 81.24 %</p> <p>90 %</p> <ul style="list-style-type: none"> <li>Significant with drugs that are highly protein bound and have a low therapeutic index</li> </ul> <p>VO (Volume Distribution): 1.24 L/kg</p> <p>0.14-0.15 L/kg</p> <ul style="list-style-type: none"> <li>Optimal 0.14-0.15 L/kg</li> <li>Range</li> <li>&lt;0.7 L/kg Confined to blood, bound to plasma proteins or highly hydrophilic; 0.07-0.7 L/kg Broadly distributed; &lt;0.7 L/kg Bound to tissue components (e.g., protein, lipid) highly lipophilic</li> </ul> <p>BBB (Blood-Brain Barrier): ++</p> <p>0.720</p> <ul style="list-style-type: none"> <li>BB ratio &lt;0.1 BBB+ BB ratio &lt;0.1 BBB-</li> <li>Does not seem to be a molecule a permeability of BBB</li> <li>lipophile de 0.140 - 0.150 MN - 400-500 Da acids</li> </ul>



<div>42)</div> <div>CBR00158</div> <div></div> <div><div>4-(3-Methyl-1,2,4-oxadiazol-5-yl)aniline</div><div>Empirical Formula (Molecular Weight): <math>C_9H_8N_2O</math></div><div>CAS No.: 76675-35-9      Peso molecular: 175.19</div></div>	<table><tr><td>FFS (Logico de Fretos Plasmáticos)</td><td>0.34%</td><td>9%</td><td>• Significant cross design que não apresenta ligação a proteínas e não possui outras interações</td></tr><tr><td>VO (Distribuição de Polímeros)</td><td>0.10 Log</td><td>0.04-0.1 Log</td><td>• Ótimo 0.04-0.1 Log</td></tr><tr><td></td><td></td><td></td><td>• Alívio</td></tr><tr><td></td><td></td><td></td><td>• &lt;0.1 Log Distribuído no sangue Ligado a proteínas plasmáticas no ambiente hidrofóbico 0.07-0.1 Log Distribuído hidrofóbico &lt;0.1 Log Ligado a componentes teciduais (por exemplo, proteínas, lipídios) altamente lipofílicos</td></tr><tr><td>BB (Banco Sangue Coeficiente)</td><td>+</td><td>0.00</td><td>• Pico BB &lt;0.1 BB+ Pico BB &lt;0.1 BB- • Esses resultados indicam a ausência a presença de BB Ligados de 0.0001-0.01 BB-400-400 São acidos</td></tr></table>	FFS (Logico de Fretos Plasmáticos)	0.34%	9%	• Significant cross design que não apresenta ligação a proteínas e não possui outras interações	VO (Distribuição de Polímeros)	0.10 Log	0.04-0.1 Log	• Ótimo 0.04-0.1 Log				• Alívio				• <0.1 Log Distribuído no sangue Ligado a proteínas plasmáticas no ambiente hidrofóbico 0.07-0.1 Log Distribuído hidrofóbico <0.1 Log Ligado a componentes teciduais (por exemplo, proteínas, lipídios) altamente lipofílicos	BB (Banco Sangue Coeficiente)	+	0.00	• Pico BB <0.1 BB+ Pico BB <0.1 BB- • Esses resultados indicam a ausência a presença de BB Ligados de 0.0001-0.01 BB-400-400 São acidos
FFS (Logico de Fretos Plasmáticos)	0.34%	9%	• Significant cross design que não apresenta ligação a proteínas e não possui outras interações																		
VO (Distribuição de Polímeros)	0.10 Log	0.04-0.1 Log	• Ótimo 0.04-0.1 Log																		
			• Alívio																		
			• <0.1 Log Distribuído no sangue Ligado a proteínas plasmáticas no ambiente hidrofóbico 0.07-0.1 Log Distribuído hidrofóbico <0.1 Log Ligado a componentes teciduais (por exemplo, proteínas, lipídios) altamente lipofílicos																		
BB (Banco Sangue Coeficiente)	+	0.00	• Pico BB <0.1 BB+ Pico BB <0.1 BB- • Esses resultados indicam a ausência a presença de BB Ligados de 0.0001-0.01 BB-400-400 São acidos																		
<div>43)</div> <div>CD5007538</div> <div></div> <div><div>3-(morpholin-4-ylmethyl)aniline</div><div>Empirical Formula (Molecular Weight): <math>C_{11}H_{13}NO</math></div><div>Peso molecular: 192.24</div></div>	<table><tr><td>FFS (Fretos Plasmáticos)</td><td>0.37%</td><td>9%</td><td>• Significant with design que não apresenta ligação a proteínas e não possui outras interações</td></tr><tr><td>VO (Volume Distribuído)</td><td>0.08 Log</td><td>0.04-0.1 Log</td><td>• Ótimo 0.04-0.1 Log</td></tr><tr><td></td><td></td><td></td><td>• Range</td></tr><tr><td></td><td></td><td></td><td>• &lt;0.1 Log Distribuído no sangue Ligado a proteínas plasmáticas no ambiente hidrofóbico 0.07-0.1 Log Distribuído hidrofóbico &lt;0.1 Log Ligado a componentes teciduais (por exemplo, proteínas, lipídios) altamente lipofílicos</td></tr><tr><td>BB (Banco Sangue Coeficiente)</td><td>++</td><td>0.04</td><td>• BB ratio &lt;0.1 BB+ BB ratio &lt;0.1 BB- • Esses resultados indicam a ausência a presença de BB 0.0001-0.01 BB-400-400 São acidos</td></tr></table>	FFS (Fretos Plasmáticos)	0.37%	9%	• Significant with design que não apresenta ligação a proteínas e não possui outras interações	VO (Volume Distribuído)	0.08 Log	0.04-0.1 Log	• Ótimo 0.04-0.1 Log				• Range				• <0.1 Log Distribuído no sangue Ligado a proteínas plasmáticas no ambiente hidrofóbico 0.07-0.1 Log Distribuído hidrofóbico <0.1 Log Ligado a componentes teciduais (por exemplo, proteínas, lipídios) altamente lipofílicos	BB (Banco Sangue Coeficiente)	++	0.04	• BB ratio <0.1 BB+ BB ratio <0.1 BB- • Esses resultados indicam a ausência a presença de BB 0.0001-0.01 BB-400-400 São acidos
FFS (Fretos Plasmáticos)	0.37%	9%	• Significant with design que não apresenta ligação a proteínas e não possui outras interações																		
VO (Volume Distribuído)	0.08 Log	0.04-0.1 Log	• Ótimo 0.04-0.1 Log																		
			• Range																		
			• <0.1 Log Distribuído no sangue Ligado a proteínas plasmáticas no ambiente hidrofóbico 0.07-0.1 Log Distribuído hidrofóbico <0.1 Log Ligado a componentes teciduais (por exemplo, proteínas, lipídios) altamente lipofílicos																		
BB (Banco Sangue Coeficiente)	++	0.04	• BB ratio <0.1 BB+ BB ratio <0.1 BB- • Esses resultados indicam a ausência a presença de BB 0.0001-0.01 BB-400-400 São acidos																		
<div>44)</div> <div>CBR00754</div> <div></div> <div><div>4-(2-Furyl)aniline hydrochloride</div><div>Empirical Formula (Molecular Weight): <math>C_{10}H_9ClNO</math></div><div>Peso molecular: 195.65</div></div>	<table><tr><td>FFS (Logico de Fretos Plasmáticos)</td><td>0.46%</td><td>9%</td><td>• Significant cross design que não apresenta ligação a proteínas e não possui outras interações</td></tr><tr><td>VO (Distribuição de Polímeros)</td><td>0.04 Log</td><td>0.04-0.1 Log</td><td>• Ótimo 0.04-0.1 Log</td></tr><tr><td></td><td></td><td></td><td>• Alívio</td></tr><tr><td></td><td></td><td></td><td>• &lt;0.1 Log Distribuído no sangue Ligado a proteínas plasmáticas no ambiente hidrofóbico 0.07-0.1 Log Distribuído hidrofóbico &lt;0.1 Log Ligado a componentes teciduais (por exemplo, proteínas, lipídios) altamente lipofílicos</td></tr><tr><td>BB (Banco Sangue Coeficiente)</td><td>++</td><td>0.00</td><td>• Pico BB &lt;0.1 BB+ Pico BB &lt;0.1 BB- • Esses resultados indicam a ausência a presença de BB Ligados de 0.0001-0.01 BB-400-400 São acidos</td></tr></table>	FFS (Logico de Fretos Plasmáticos)	0.46%	9%	• Significant cross design que não apresenta ligação a proteínas e não possui outras interações	VO (Distribuição de Polímeros)	0.04 Log	0.04-0.1 Log	• Ótimo 0.04-0.1 Log				• Alívio				• <0.1 Log Distribuído no sangue Ligado a proteínas plasmáticas no ambiente hidrofóbico 0.07-0.1 Log Distribuído hidrofóbico <0.1 Log Ligado a componentes teciduais (por exemplo, proteínas, lipídios) altamente lipofílicos	BB (Banco Sangue Coeficiente)	++	0.00	• Pico BB <0.1 BB+ Pico BB <0.1 BB- • Esses resultados indicam a ausência a presença de BB Ligados de 0.0001-0.01 BB-400-400 São acidos
FFS (Logico de Fretos Plasmáticos)	0.46%	9%	• Significant cross design que não apresenta ligação a proteínas e não possui outras interações																		
VO (Distribuição de Polímeros)	0.04 Log	0.04-0.1 Log	• Ótimo 0.04-0.1 Log																		
			• Alívio																		
			• <0.1 Log Distribuído no sangue Ligado a proteínas plasmáticas no ambiente hidrofóbico 0.07-0.1 Log Distribuído hidrofóbico <0.1 Log Ligado a componentes teciduais (por exemplo, proteínas, lipídios) altamente lipofílicos																		
BB (Banco Sangue Coeficiente)	++	0.00	• Pico BB <0.1 BB+ Pico BB <0.1 BB- • Esses resultados indicam a ausência a presença de BB Ligados de 0.0001-0.01 BB-400-400 São acidos																		
<div>45)</div> <div>CBR00055</div> <div></div> <div><div>3-(5-Methyl-1H-tetrazol-1-yl)aniline</div><div>Empirical Formula (Molecular Weight): <math>C_9H_8N_4</math></div><div>CAS No.: 500700-24-6      Peso molecular: 175.15</div></div>	<table><tr><td>FFS (Fretos Plasmáticos)</td><td>0.30%</td><td>9%</td><td>• Significant with design que não apresenta ligação a proteínas e não possui outras interações</td></tr><tr><td>VO (Volume Distribuído)</td><td>0.05 Log</td><td>0.04-0.1 Log</td><td>• Ótimo 0.04-0.1 Log</td></tr><tr><td></td><td></td><td></td><td>• Range</td></tr><tr><td></td><td></td><td></td><td>• &lt;0.1 Log Distribuído no sangue Ligado a proteínas plasmáticas no ambiente hidrofóbico 0.07-0.1 Log Distribuído hidrofóbico &lt;0.1 Log Ligado a componentes teciduais (por exemplo, proteínas, lipídios) altamente lipofílicos</td></tr><tr><td>BB (Banco Sangue Coeficiente)</td><td>++</td><td>0.04</td><td>• BB ratio &lt;0.1 BB+ BB ratio &lt;0.1 BB- • Esses resultados indicam a ausência a presença de BB 0.0001-0.01 BB-400-400 São acidos</td></tr></table>	FFS (Fretos Plasmáticos)	0.30%	9%	• Significant with design que não apresenta ligação a proteínas e não possui outras interações	VO (Volume Distribuído)	0.05 Log	0.04-0.1 Log	• Ótimo 0.04-0.1 Log				• Range				• <0.1 Log Distribuído no sangue Ligado a proteínas plasmáticas no ambiente hidrofóbico 0.07-0.1 Log Distribuído hidrofóbico <0.1 Log Ligado a componentes teciduais (por exemplo, proteínas, lipídios) altamente lipofílicos	BB (Banco Sangue Coeficiente)	++	0.04	• BB ratio <0.1 BB+ BB ratio <0.1 BB- • Esses resultados indicam a ausência a presença de BB 0.0001-0.01 BB-400-400 São acidos
FFS (Fretos Plasmáticos)	0.30%	9%	• Significant with design que não apresenta ligação a proteínas e não possui outras interações																		
VO (Volume Distribuído)	0.05 Log	0.04-0.1 Log	• Ótimo 0.04-0.1 Log																		
			• Range																		
			• <0.1 Log Distribuído no sangue Ligado a proteínas plasmáticas no ambiente hidrofóbico 0.07-0.1 Log Distribuído hidrofóbico <0.1 Log Ligado a componentes teciduais (por exemplo, proteínas, lipídios) altamente lipofílicos																		
BB (Banco Sangue Coeficiente)	++	0.04	• BB ratio <0.1 BB+ BB ratio <0.1 BB- • Esses resultados indicam a ausência a presença de BB 0.0001-0.01 BB-400-400 São acidos																		
<div>46)</div> <div>PHE0713</div> <div></div> <div><div>3-(1-piperidinylcarbonyl)aniline</div><div>Empirical Formula (Molecular Weight): <math>C_{15}H_{19}NO</math></div><div>Peso molecular: 254.34</div></div>	<table><tr><td>FFS (Logico de Fretos Plasmáticos)</td><td>0.52%</td><td>9%</td><td>• Significant cross design que não apresenta ligação a proteínas e não possui outras interações</td></tr><tr><td>VO (Distribuição de Polímeros)</td><td>0.07 Log</td><td>0.04-0.1 Log</td><td>• Ótimo 0.04-0.1 Log</td></tr><tr><td></td><td></td><td></td><td>• Alívio</td></tr><tr><td></td><td></td><td></td><td>• &lt;0.1 Log Distribuído no sangue Ligado a proteínas plasmáticas no ambiente hidrofóbico 0.07-0.1 Log Distribuído hidrofóbico &lt;0.1 Log Ligado a componentes teciduais (por exemplo, proteínas, lipídios) altamente lipofílicos</td></tr><tr><td>BB (Banco Sangue Coeficiente)</td><td>++</td><td>0.00</td><td>• Pico BB &lt;0.1 BB+ Pico BB &lt;0.1 BB- • Esses resultados indicam a ausência a presença de BB Ligados de 0.0001-0.01 BB-400-400 São acidos</td></tr></table>	FFS (Logico de Fretos Plasmáticos)	0.52%	9%	• Significant cross design que não apresenta ligação a proteínas e não possui outras interações	VO (Distribuição de Polímeros)	0.07 Log	0.04-0.1 Log	• Ótimo 0.04-0.1 Log				• Alívio				• <0.1 Log Distribuído no sangue Ligado a proteínas plasmáticas no ambiente hidrofóbico 0.07-0.1 Log Distribuído hidrofóbico <0.1 Log Ligado a componentes teciduais (por exemplo, proteínas, lipídios) altamente lipofílicos	BB (Banco Sangue Coeficiente)	++	0.00	• Pico BB <0.1 BB+ Pico BB <0.1 BB- • Esses resultados indicam a ausência a presença de BB Ligados de 0.0001-0.01 BB-400-400 São acidos
FFS (Logico de Fretos Plasmáticos)	0.52%	9%	• Significant cross design que não apresenta ligação a proteínas e não possui outras interações																		
VO (Distribuição de Polímeros)	0.07 Log	0.04-0.1 Log	• Ótimo 0.04-0.1 Log																		
			• Alívio																		
			• <0.1 Log Distribuído no sangue Ligado a proteínas plasmáticas no ambiente hidrofóbico 0.07-0.1 Log Distribuído hidrofóbico <0.1 Log Ligado a componentes teciduais (por exemplo, proteínas, lipídios) altamente lipofílicos																		
BB (Banco Sangue Coeficiente)	++	0.00	• Pico BB <0.1 BB+ Pico BB <0.1 BB- • Esses resultados indicam a ausência a presença de BB Ligados de 0.0001-0.01 BB-400-400 São acidos																		

<p>47)</p> <p><a href="#">CBR00965</a></p>  <p><b>4-(Pyrrolidin-1-ylmethyl)aniline dihydrochloride</b></p> <p>Empirical Formula (Molecular Weight): <math>C_{10}H_{12}Cl_2N_2</math></p> <p>Molecular Weight: 244.13</p>	<p>PPS (Plasma Protein Binding): 65.00 %</p> <p>PD (Volume Distribution): 0.75 L/kg</p> <p>BB (Blood-to-tissue Ratio): 1.00</p> <p>Significance with drugs that are highly protein bound and have a low therapeutic index:</p> <p>Significant (0.04-20 L/kg)</p> <p>Range:</p> <p>&lt;0.7 L/kg Combined in blood, bound to plasma proteins or highly hydrophilic; &lt;0.7 L/kg Dose/dose bound; &lt;0.7 L/kg bound to tissue components (e.g., protein, lipid) highly lipophilic</p> <p>BB Ratio &lt;1.00+ BB ratio &lt;1.00+</p> <p>These features tend to improve BBB penetration</p> <p>Excludes (total) &lt;0-0.500+ &lt;0-0.500 No acids</p>
<p>48)</p> <p><a href="#">PHO16685</a></p>  <p><b>2-[5-(3,4-Dichlorophenyl)-1,3,4-oxadiazol-2-yl]aniline</b></p> <p>Empirical Formula (Molecular Weight): <math>C_{14}H_8Cl_2N_2</math></p> <p>CAS No.: 175139-30-5</p>	<p>PPS (Plasma Protein Binding): 93.00 %</p> <p>PD (Volume Distribution): 0.1 L/kg</p> <p>BB (Blood-to-tissue Ratio): 1.00</p> <p>Significance with drugs that are highly protein bound and have a low therapeutic index:</p> <p>Significant (0.04-20 L/kg)</p> <p>Range:</p> <p>&lt;0.7 L/kg Combined in blood, bound to plasma proteins or highly hydrophilic; &lt;0.7 L/kg Dose/dose bound; &lt;0.7 L/kg bound to tissue components (e.g., protein, lipid) highly lipophilic</p> <p>BB Ratio &lt;1.00+ BB ratio &lt;1.00+</p> <p>These features tend to improve BBB penetration</p> <p>Excludes (total) &lt;0-0.500+ &lt;0-0.500 No acids</p>
<p>49)</p> <p><a href="#">CD5014206</a></p>  <p><b>3-(1,3-oxazol-5-yl)aniline</b></p> <p>Empirical Formula (Molecular Weight): <math>C_8H_7N_2O</math></p> <p>CAS No.: 157837-91-5</p> <p>Molecular Weight: 160.17</p>	<p>PPS (Plasma Protein Binding): 65.00 %</p> <p>PD (Volume Distribution): 0.04 L/kg</p> <p>BB (Blood-to-tissue Ratio): 1.00</p> <p>Significance with drugs that are highly protein bound and have a low therapeutic index:</p> <p>Significant (0.04-20 L/kg)</p> <p>Range:</p> <p>&lt;0.7 L/kg Combined in blood, bound to plasma proteins or highly hydrophilic; &lt;0.7 L/kg Dose/dose bound; &lt;0.7 L/kg bound to tissue components (e.g., protein, lipid) highly lipophilic</p> <p>BB Ratio &lt;1.00+ BB ratio &lt;1.00+</p> <p>These features tend to improve BBB penetration</p> <p>Excludes (total) &lt;0-0.500+ &lt;0-0.500 No acids</p>
<p>50)</p> <p><a href="#">CBR00066</a></p>  <p><b>2-Fluoro-5-(4H-1,2,4-triazol-4-yl)aniline</b></p> <p>Empirical Formula (Molecular Weight): <math>C_8H_5FN_3</math></p> <p>CAS No.: 10802744-13-9</p> <p>Molecular Weight: 176.17</p>	<p>PPS (Plasma Protein Binding): 93.00 %</p> <p>PD (Volume Distribution): 0.04 L/kg</p> <p>BB (Blood-to-tissue Ratio): 1.00</p> <p>Significance with drugs that are highly protein bound and have a low therapeutic index:</p> <p>Significant (0.04-20 L/kg)</p> <p>Range:</p> <p>&lt;0.7 L/kg Combined in blood, bound to plasma proteins or highly hydrophilic; &lt;0.7 L/kg Dose/dose bound; &lt;0.7 L/kg bound to tissue components (e.g., protein, lipid) highly lipophilic</p> <p>BB Ratio &lt;1.00+ BB ratio &lt;1.00+</p> <p>These features tend to improve BBB penetration</p> <p>Excludes (total) &lt;0-0.500+ &lt;0-0.500 No acids</p>
<p>51)</p> <p><a href="#">CBR00448</a></p>  <p><b>5-Chloro-2-(1H-1,2,4-triazol-1-yl)aniline</b></p> <p>Empirical Formula (Molecular Weight): <math>C_8H_5ClN_3</math></p> <p>CAS No.: 450399-92-5</p> <p>Molecular Weight: 194.62</p>	<p>PPS (Plasma Protein Binding): 93.00 %</p> <p>PD (Volume Distribution): 0.04 L/kg</p> <p>BB (Blood-to-tissue Ratio): 1.00</p> <p>Significance with drugs that are highly protein bound and have a low therapeutic index:</p> <p>Significant (0.04-20 L/kg)</p> <p>Range:</p> <p>&lt;0.7 L/kg Combined in blood, bound to plasma proteins or highly hydrophilic; &lt;0.7 L/kg Dose/dose bound; &lt;0.7 L/kg bound to tissue components (e.g., protein, lipid) highly lipophilic</p> <p>BB Ratio &lt;1.00+ BB ratio &lt;1.00+</p> <p>These features tend to improve BBB penetration</p> <p>Excludes (total) &lt;0-0.500+ &lt;0-0.500 No acids</p>

52)

[CD500574](#)

## 2-[2-(2-Pyridinyl)ethyl]aniline

Empirical Formula (Molecular Weight):  $C_{12}H_{11}N_2$

Peso molecular: 199.26

PPS Ligação de Proteínas (Plasmidase)	94.00%	95%	<ul style="list-style-type: none"> <li>Significativa nos dados que são altamente ligadas a proteínas e não há outras interações</li> </ul>
1D (Distribuição de Moléculas)	1.5942 kg	0.00-01 kg	<ul style="list-style-type: none"> <li>Classe 0.04-0.05 kg</li> <li>Alta</li> <li>0.07% kg Distribuído no espaço Ligado a proteínas plasmáticas no ambiente hidrofóbico 0.07-0.7% kg Distribuído no ambiente 0.7% kg Ligado a componentes hidrofóbicos (por exemplo, proteínas, lipídios), altamente ligadas</li> </ul>
BBB (Bancos de Dados Controlados)	+	0.00	<ul style="list-style-type: none"> <li>Resposta BB +0.0000 Resposta BB -0.0000</li> <li>Essas respostas tendem a melhorar a performance do BBB</li> <li>Resposta de 0.0000 = 0-0.0000 = 0.0000, sem acerto</li> </ul>

53)

[VBP00085](#)

## 2-Chloro-4-(3-fluorobenzyloxy)aniline

Empirical Formula (Molecular Weight):  $C_{15}H_{11}ClFO$

Peso molecular: 251.68

PPS Ligação de Proteínas (Plasmidase)	93.00%	95%	<ul style="list-style-type: none"> <li>Significativa nos dados que são altamente ligadas a proteínas e não há outras interações</li> </ul>
1D (Distribuição de Moléculas)	4.0362 kg	0.00-01 kg	<ul style="list-style-type: none"> <li>Classe 0.04-0.05 kg</li> <li>Alta</li> <li>0.07% kg Distribuído no espaço Ligado a proteínas plasmáticas no ambiente hidrofóbico 0.07-0.7% kg Distribuído no ambiente 0.7% kg Ligado a componentes hidrofóbicos (por exemplo, proteínas, lipídios), altamente ligadas</li> </ul>
BBB (Bancos de Dados Controlados)	+	0.00	<ul style="list-style-type: none"> <li>Resposta BB +0.0000 Resposta BB -0.0000</li> <li>Essas respostas tendem a melhorar a performance do BBB</li> <li>Resposta de 0.0000 = 0-0.0000 = 0.0000, sem acerto</li> </ul>

54)

[CD9056833](#)

## 3-(4-methylpiperazin-1-yl)aniline

Empirical Formula (Molecular Weight):  $C_{13}H_{17}N_2$

Peso molecular: 213.27

PPS Ligação de Proteínas (Plasmidase)	87.00%	95%	<ul style="list-style-type: none"> <li>Significativa nos dados que são altamente ligadas a proteínas e não há outras interações</li> </ul>
1D (Distribuição de Moléculas)	0.6812 kg	0.00-01 kg	<ul style="list-style-type: none"> <li>Classe 0.04-0.05 kg</li> <li>Alta</li> <li>0.07% kg Distribuído no espaço Ligado a proteínas plasmáticas no ambiente hidrofóbico 0.07-0.7% kg Distribuído no ambiente 0.7% kg Ligado a componentes hidrofóbicos (por exemplo, proteínas, lipídios), altamente ligadas</li> </ul>
BBB (Bancos de Dados Controlados)	++	0.70	<ul style="list-style-type: none"> <li>Resposta BB +0.0000 Resposta BB -0.0000</li> <li>Essas respostas tendem a melhorar a performance do BBB</li> <li>Resposta de 0.0000 = 0-0.0000 = 0.0000, sem acerto</li> </ul>

55)

[CBR01377](#)

## 3-(Pyrrolidin-1-ylmethyl)aniline dihydrochloride

Empirical Formula (Molecular Weight):  $C_{11}H_{13}N_2 \cdot 2HCl$

Peso molecular: 249.76

PPS Ligação de Proteínas (Plasmidase)	80.00%	95%	<ul style="list-style-type: none"> <li>Significativa nos dados que são altamente ligadas a proteínas e não há outras interações</li> </ul>
1D (Distribuição de Moléculas)	0.0542 kg	0.00-01 kg	<ul style="list-style-type: none"> <li>Classe 0.04-0.05 kg</li> <li>Alta</li> <li>0.07% kg Distribuído no espaço Ligado a proteínas plasmáticas no ambiente hidrofóbico 0.07-0.7% kg Distribuído no ambiente 0.7% kg Ligado a componentes hidrofóbicos (por exemplo, proteínas, lipídios), altamente ligadas</li> </ul>
BBB (Bancos de Dados Controlados)	+++	0.00	<ul style="list-style-type: none"> <li>Resposta BB +0.0000 Resposta BB -0.0000</li> <li>Essas respostas tendem a melhorar a performance do BBB</li> <li>Resposta de 0.0000 = 0-0.0000 = 0.0000, sem acerto</li> </ul>

56)

[CD9012378](#)

## 3-chloro-4-(3-fluorobenzyloxy)aniline

Empirical Formula (Molecular Weight):  $C_{15}H_{11}ClFO$

Peso molecular: 251.68

PPS Ligação de Proteínas (Plasmidase)	90.00%	95%	<ul style="list-style-type: none"> <li>Significativa nos dados que são altamente ligadas a proteínas e não há outras interações</li> </ul>
1D (Distribuição de Moléculas)	0.0542 kg	0.00-01 kg	<ul style="list-style-type: none"> <li>Classe 0.04-0.05 kg</li> <li>Alta</li> <li>0.07% kg Distribuído no espaço Ligado a proteínas plasmáticas no ambiente hidrofóbico 0.07-0.7% kg Distribuído no ambiente 0.7% kg Ligado a componentes hidrofóbicos (por exemplo, proteínas, lipídios), altamente ligadas</li> </ul>
BBB (Bancos de Dados Controlados)	++	0.70	<ul style="list-style-type: none"> <li>Resposta BB +0.0000 Resposta BB -0.0000</li> <li>Essas respostas tendem a melhorar a performance do BBB</li> <li>Resposta de 0.0000 = 0-0.0000 = 0.0000, sem acerto</li> </ul>

67)

CDS014347

**4-(1,2,3-thiadiazol-4-yl)aniline**

Empirical Formula (Hill Notation):  $C_7H_5N_3S$

Peso molecular: 177.23

58)

VBP00135

**3-(4-Methyl-1H-imidazol-1-yl)-5-(trifluoromethyl)aniline**

Empirical Formula (Hill Notation):  $C_{12}H_8F_3N_2$

CAS No: 643579-10-1 Peso molecular: 241.21

59)

CBR01115

**4-(1H-Pyrazol-1-yl)aniline hydrochloride**

Empirical Formula (Hill Notation):  $C_8H_8N_4 \cdot HCl$

Peso molecular: 175.65

60

TMT00020

**3-(1,3-Dioxan-2-yl)aniline**

Empirical Formula (Hill Notation):  $C_{12}H_{14}O_2$

Peso molecular: 179.22

61)

9987107

**4-(2,4-DI-TERT-PENTYLOXY)ANILINE**

Empirical Formula (Hill Notation):  $C_{22}H_{32}O_2$

CAS No: 112322-67-6 Peso molecular: 325.499

PPS (Ligação de Pontuação Plasmática)	80,02%	80%	• Ligação com ligação que não altera a ligação a pontuação e não há alteração na ligação
10 (Distribuição de Pontuação)	-0,24% (Lig)	0,04-0,1% (Lig)	• Outros: 0,04-0,1% (Lig)
100 (Distribuição de Pontuação)	---	0,00	• Outros: 0,04-0,1% (Lig)
100 (Distribuição de Pontuação)	---	0,00	• Outros: 0,04-0,1% (Lig)

PPS (Ligação de Pontuação Plasmática)	80,02%	80%	• Ligação com ligação que não altera a ligação a pontuação e não há alteração na ligação
10 (Distribuição de Pontuação)	-0,24% (Lig)	0,04-0,1% (Lig)	• Outros: 0,04-0,1% (Lig)
100 (Distribuição de Pontuação)	---	0,00	• Outros: 0,04-0,1% (Lig)
100 (Distribuição de Pontuação)	---	0,00	• Outros: 0,04-0,1% (Lig)

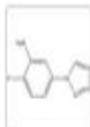
PPS (Ligação de Pontuação Plasmática)	80,02%	80%	• Ligação com ligação que não altera a ligação a pontuação e não há alteração na ligação
10 (Distribuição de Pontuação)	-0,24% (Lig)	0,04-0,1% (Lig)	• Outros: 0,04-0,1% (Lig)
100 (Distribuição de Pontuação)	---	0,00	• Outros: 0,04-0,1% (Lig)
100 (Distribuição de Pontuação)	---	0,00	• Outros: 0,04-0,1% (Lig)

PPS (Ligação de Pontuação Plasmática)	80,02%	80%	• Ligação com ligação que não altera a ligação a pontuação e não há alteração na ligação
10 (Distribuição de Pontuação)	-0,24% (Lig)	0,04-0,1% (Lig)	• Outros: 0,04-0,1% (Lig)
100 (Distribuição de Pontuação)	---	0,00	• Outros: 0,04-0,1% (Lig)
100 (Distribuição de Pontuação)	---	0,00	• Outros: 0,04-0,1% (Lig)

PPS (Ligação de Pontuação Plasmática)	80,02%	80%	• Ligação com ligação que não altera a ligação a pontuação e não há alteração na ligação
10 (Distribuição de Pontuação)	-0,24% (Lig)	0,04-0,1% (Lig)	• Outros: 0,04-0,1% (Lig)
100 (Distribuição de Pontuação)	---	0,00	• Outros: 0,04-0,1% (Lig)
100 (Distribuição de Pontuação)	---	0,00	• Outros: 0,04-0,1% (Lig)

62)

[CBR02023](#)



**2-Fluoro-5-(1H-tetrazol-1-yl)aniline**

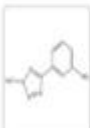
Empirical Formula (Hill Notation):  $C_7H_4FN_4$

Peso molecular: 127,14

PR (Ligação de Pontes Fluoradas)	8,38%	9%	• Significativa nos dados que são altamente ligadas a pontes e fluógenos anilina isopropila.
VD (Distribuição de Volume)	<0,7% Ag	0,9-10 1,3g	• Ocaso 0,9-10,3g. • Variável • <0,7% Ag Distribuído no espaço. Ligado a pontes planares ou altamente isolados 0,7-10,3% Ag Distribuído uniformemente. <0,7% Ag Ligado a componentes terciários (por exemplo, pontes, ligadas), altamente ligadas.
BB (Densidade Ligando Covalente)	+	0,00	• Ponto BB <+1 BB=> Ponto BB <-1 BB=> • Essas variáveis tendem a melhorar a performance de BB. Ligados de B (Ponto) = 0-0,75 = 400-500, Sem análise

63)

[CBR02060](#)



**3-(2-Methyl-2H-tetrazol-5-yl)aniline**

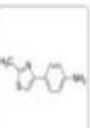
Empirical Formula (Hill Notation):  $C_9H_8N_4$

Peso molecular: 190,28

PR (Ligação de Pontes Fluoradas)	8,38%	9%	• Significativa nos dados que são altamente ligadas a pontes e fluógenos anilina isopropila.
VD (Distribuição de Volume)	<0,7% Ag	0,9-10 1,3g	• Ocaso 0,9-10,3g. • Variável • <0,7% Ag Distribuído no espaço. Ligado a pontes planares ou altamente isolados 0,7-10,3% Ag Distribuído uniformemente. <0,7% Ag Ligado a componentes terciários (por exemplo, pontes, ligadas), altamente ligadas.
BB (Densidade Ligando Covalente)	+	0,00	• Ponto BB <+1 BB=> Ponto BB <-1 BB=> • Essas variáveis tendem a melhorar a performance de BB. Ligados de B (Ponto) = 0-0,75 = 400-500, Sem análise

64)

[CDS004111](#)



**4-(2-methyl-1,3-thiazol-4-yl)aniline**

Empirical Formula (Hill Notation):  $C_{10}H_8N_2S$

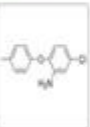
CAS No.: 25021-49-2

Peso molecular: 190,26

PR (Ligação de Pontes Fluoradas)	8,38%	9%	• Significativa nos dados que são altamente ligadas a pontes e fluógenos anilina isopropila.
VD (Distribuição de Volume)	<0,7% Ag	0,9-10 1,3g	• Ocaso 0,9-10,3g. • Variável • <0,7% Ag Distribuído no espaço. Ligado a pontes planares ou altamente isolados 0,7-10,3% Ag Distribuído uniformemente. <0,7% Ag Ligado a componentes terciários (por exemplo, pontes, ligadas), altamente ligadas.
BB (Densidade Ligando Covalente)	+++	0,00	• Ponto BB <+1 BB=> Ponto BB <-1 BB=> • Essas variáveis tendem a melhorar a performance de BB. Ligados de B (Ponto) = 0-0,75 = 400-500, Sem análise

65)

[S508098](#)



**5-CHLORO-2-(P-TOLYLOXY)-ANILINE**

Formula linear:  $C_{17}H_{15}ClNO$

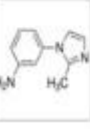
CAS No.: 16824-48-9

Peso molecular: 233,7

PR (Ligação de Pontes Fluoradas)	8,38%	9%	• Significativa nos dados que são altamente ligadas a pontes e fluógenos anilina isopropila.
VD (Distribuição de Volume)	<0,6% Ag	0,9-10 1,3g	• Ocaso 0,9-10,3g. • Variável • <0,6% Ag Distribuído no espaço. Ligado a pontes planares ou altamente isolados 0,6-10,3% Ag Distribuído uniformemente. <0,6% Ag Ligado a componentes terciários (por exemplo, pontes, ligadas), altamente ligadas.
BB (Densidade Ligando Covalente)	+	0,02	• Ponto BB <+1 BB=> Ponto BB <-1 BB=> • Essas variáveis tendem a melhorar a performance de BB. Ligados de B (Ponto) = 0-0,75 = 400-500, Sem análise

66)

[CDS017202](#)



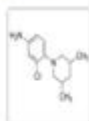
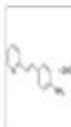
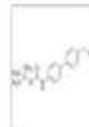

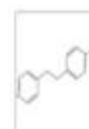
**3-(2-methyl-1H-imidazol-1-yl)aniline**

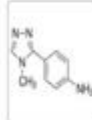
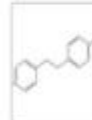
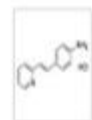
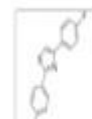

Empirical Formula (Hill Notation):  $C_{10}H_{10}N_2$


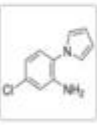


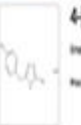
Peso molecular: 173,21

PR (Ligação de Pontes Fluoradas)	8,42%	9%	• Significativa nos dados que são altamente ligadas a pontes e fluógenos anilina isopropila.
VD (Distribuição de Volume)	<0,6% Ag	0,9-10 1,3g	• Ocaso 0,9-10,3g. • Variável • <0,6% Ag Distribuído no espaço. Ligado a pontes planares ou altamente isolados 0,6-10,3% Ag Distribuído uniformemente. <0,6% Ag Ligado a componentes terciários (por exemplo, pontes, ligadas), altamente ligadas.
BB (Densidade Ligando Covalente)	+	0,00	• Ponto BB <+1 BB=> Ponto BB <-1 BB=> • Essas variáveis tendem a melhorar a performance de BB. Ligados de B (Ponto) = 0-0,75 = 400-500, Sem análise



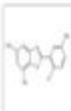
<div>67)</div> <div>CD8019943</div> <div></div> <div><div>3-Chloro-4-(3,5-dimethyl-1-piperidinyl)aniline</div><div>Empirical Formula (Molecular Weight): <math>C_{17}H_{21}ClN</math></div><div>Peso molecular: 236.76</div></div>	<table><tr><td>95% Logado de Proteínas (Fluorescência)</td><td>80.00%</td><td>95%</td><td><ul style="list-style-type: none"><li>Significativa nos dados que são altamente ligadas a proteínas e não há uma análise completa</li></ul></td></tr><tr><td>10 (Distribuição de Volume)</td><td>0.24 L/kg</td><td>0.24-0.3 L/kg</td><td><ul style="list-style-type: none"><li>Classe 0.24-0.3 L/kg</li><li>Variável</li><li>0.17 L/kg Distribuído no sangue Ligado a proteínas plasmáticas no ambiente hidrofóbico 0.17-0.17 L/kg Distribuído no ambiente 0.17 L/kg Ligado a componentes moleculares (por exemplo, proteínas, lipídios, ácidos nucleicos)</li></ul></td></tr><tr><td>95% (Distribuição de Volume)</td><td>0.24 L/kg</td><td>0.24-0.3 L/kg</td><td><ul style="list-style-type: none"><li>Classe 0.24-0.3 L/kg</li><li>Variável</li><li>0.17 L/kg Distribuído no sangue Ligado a proteínas plasmáticas no ambiente hidrofóbico 0.17-0.17 L/kg Distribuído no ambiente 0.17 L/kg Ligado a componentes moleculares (por exemplo, proteínas, lipídios, ácidos nucleicos)</li></ul></td></tr><tr><td>95% (Distribuição de Volume)</td><td>0.24 L/kg</td><td>0.24-0.3 L/kg</td><td><ul style="list-style-type: none"><li>Classe 0.24-0.3 L/kg</li><li>Variável</li><li>0.17 L/kg Distribuído no sangue Ligado a proteínas plasmáticas no ambiente hidrofóbico 0.17-0.17 L/kg Distribuído no ambiente 0.17 L/kg Ligado a componentes moleculares (por exemplo, proteínas, lipídios, ácidos nucleicos)</li></ul></td></tr></table>	95% Logado de Proteínas (Fluorescência)	80.00%	95%	<ul style="list-style-type: none"><li>Significativa nos dados que são altamente ligadas a proteínas e não há uma análise completa</li></ul>	10 (Distribuição de Volume)	0.24 L/kg	0.24-0.3 L/kg	<ul style="list-style-type: none"><li>Classe 0.24-0.3 L/kg</li><li>Variável</li><li>0.17 L/kg Distribuído no sangue Ligado a proteínas plasmáticas no ambiente hidrofóbico 0.17-0.17 L/kg Distribuído no ambiente 0.17 L/kg Ligado a componentes moleculares (por exemplo, proteínas, lipídios, ácidos nucleicos)</li></ul>	95% (Distribuição de Volume)	0.24 L/kg	0.24-0.3 L/kg	<ul style="list-style-type: none"><li>Classe 0.24-0.3 L/kg</li><li>Variável</li><li>0.17 L/kg Distribuído no sangue Ligado a proteínas plasmáticas no ambiente hidrofóbico 0.17-0.17 L/kg Distribuído no ambiente 0.17 L/kg Ligado a componentes moleculares (por exemplo, proteínas, lipídios, ácidos nucleicos)</li></ul>	95% (Distribuição de Volume)	0.24 L/kg	0.24-0.3 L/kg	<ul style="list-style-type: none"><li>Classe 0.24-0.3 L/kg</li><li>Variável</li><li>0.17 L/kg Distribuído no sangue Ligado a proteínas plasmáticas no ambiente hidrofóbico 0.17-0.17 L/kg Distribuído no ambiente 0.17 L/kg Ligado a componentes moleculares (por exemplo, proteínas, lipídios, ácidos nucleicos)</li></ul>
95% Logado de Proteínas (Fluorescência)	80.00%	95%	<ul style="list-style-type: none"><li>Significativa nos dados que são altamente ligadas a proteínas e não há uma análise completa</li></ul>														
10 (Distribuição de Volume)	0.24 L/kg	0.24-0.3 L/kg	<ul style="list-style-type: none"><li>Classe 0.24-0.3 L/kg</li><li>Variável</li><li>0.17 L/kg Distribuído no sangue Ligado a proteínas plasmáticas no ambiente hidrofóbico 0.17-0.17 L/kg Distribuído no ambiente 0.17 L/kg Ligado a componentes moleculares (por exemplo, proteínas, lipídios, ácidos nucleicos)</li></ul>														
95% (Distribuição de Volume)	0.24 L/kg	0.24-0.3 L/kg	<ul style="list-style-type: none"><li>Classe 0.24-0.3 L/kg</li><li>Variável</li><li>0.17 L/kg Distribuído no sangue Ligado a proteínas plasmáticas no ambiente hidrofóbico 0.17-0.17 L/kg Distribuído no ambiente 0.17 L/kg Ligado a componentes moleculares (por exemplo, proteínas, lipídios, ácidos nucleicos)</li></ul>														
95% (Distribuição de Volume)	0.24 L/kg	0.24-0.3 L/kg	<ul style="list-style-type: none"><li>Classe 0.24-0.3 L/kg</li><li>Variável</li><li>0.17 L/kg Distribuído no sangue Ligado a proteínas plasmáticas no ambiente hidrofóbico 0.17-0.17 L/kg Distribuído no ambiente 0.17 L/kg Ligado a componentes moleculares (por exemplo, proteínas, lipídios, ácidos nucleicos)</li></ul>														
<div>68)</div> <div>PH016248</div> <div></div> <div><div>4-[(E)-2-[2-Pyridinyl]ethenyl]aniline dihydrochloride</div><div>Empirical Formula (Molecular Weight): <math>C_{12}H_{10}N_2</math></div><div>Peso molecular: 204.17</div></div>	<table><tr><td>95% Logado de Proteínas (Fluorescência)</td><td>80.00%</td><td>95%</td><td><ul style="list-style-type: none"><li>Significativa nos dados que são altamente ligadas a proteínas e não há uma análise completa</li></ul></td></tr><tr><td>10 (Distribuição de Volume)</td><td>0.24 L/kg</td><td>0.24-0.3 L/kg</td><td><ul style="list-style-type: none"><li>Classe 0.24-0.3 L/kg</li><li>Variável</li><li>0.17 L/kg Distribuído no sangue Ligado a proteínas plasmáticas no ambiente hidrofóbico 0.17-0.17 L/kg Distribuído no ambiente 0.17 L/kg Ligado a componentes moleculares (por exemplo, proteínas, lipídios, ácidos nucleicos)</li></ul></td></tr><tr><td>95% (Distribuição de Volume)</td><td>0.24 L/kg</td><td>0.24-0.3 L/kg</td><td><ul style="list-style-type: none"><li>Classe 0.24-0.3 L/kg</li><li>Variável</li><li>0.17 L/kg Distribuído no sangue Ligado a proteínas plasmáticas no ambiente hidrofóbico 0.17-0.17 L/kg Distribuído no ambiente 0.17 L/kg Ligado a componentes moleculares (por exemplo, proteínas, lipídios, ácidos nucleicos)</li></ul></td></tr><tr><td>95% (Distribuição de Volume)</td><td>0.24 L/kg</td><td>0.24-0.3 L/kg</td><td><ul style="list-style-type: none"><li>Classe 0.24-0.3 L/kg</li><li>Variável</li><li>0.17 L/kg Distribuído no sangue Ligado a proteínas plasmáticas no ambiente hidrofóbico 0.17-0.17 L/kg Distribuído no ambiente 0.17 L/kg Ligado a componentes moleculares (por exemplo, proteínas, lipídios, ácidos nucleicos)</li></ul></td></tr></table>	95% Logado de Proteínas (Fluorescência)	80.00%	95%	<ul style="list-style-type: none"><li>Significativa nos dados que são altamente ligadas a proteínas e não há uma análise completa</li></ul>	10 (Distribuição de Volume)	0.24 L/kg	0.24-0.3 L/kg	<ul style="list-style-type: none"><li>Classe 0.24-0.3 L/kg</li><li>Variável</li><li>0.17 L/kg Distribuído no sangue Ligado a proteínas plasmáticas no ambiente hidrofóbico 0.17-0.17 L/kg Distribuído no ambiente 0.17 L/kg Ligado a componentes moleculares (por exemplo, proteínas, lipídios, ácidos nucleicos)</li></ul>	95% (Distribuição de Volume)	0.24 L/kg	0.24-0.3 L/kg	<ul style="list-style-type: none"><li>Classe 0.24-0.3 L/kg</li><li>Variável</li><li>0.17 L/kg Distribuído no sangue Ligado a proteínas plasmáticas no ambiente hidrofóbico 0.17-0.17 L/kg Distribuído no ambiente 0.17 L/kg Ligado a componentes moleculares (por exemplo, proteínas, lipídios, ácidos nucleicos)</li></ul>	95% (Distribuição de Volume)	0.24 L/kg	0.24-0.3 L/kg	<ul style="list-style-type: none"><li>Classe 0.24-0.3 L/kg</li><li>Variável</li><li>0.17 L/kg Distribuído no sangue Ligado a proteínas plasmáticas no ambiente hidrofóbico 0.17-0.17 L/kg Distribuído no ambiente 0.17 L/kg Ligado a componentes moleculares (por exemplo, proteínas, lipídios, ácidos nucleicos)</li></ul>
95% Logado de Proteínas (Fluorescência)	80.00%	95%	<ul style="list-style-type: none"><li>Significativa nos dados que são altamente ligadas a proteínas e não há uma análise completa</li></ul>														
10 (Distribuição de Volume)	0.24 L/kg	0.24-0.3 L/kg	<ul style="list-style-type: none"><li>Classe 0.24-0.3 L/kg</li><li>Variável</li><li>0.17 L/kg Distribuído no sangue Ligado a proteínas plasmáticas no ambiente hidrofóbico 0.17-0.17 L/kg Distribuído no ambiente 0.17 L/kg Ligado a componentes moleculares (por exemplo, proteínas, lipídios, ácidos nucleicos)</li></ul>														
95% (Distribuição de Volume)	0.24 L/kg	0.24-0.3 L/kg	<ul style="list-style-type: none"><li>Classe 0.24-0.3 L/kg</li><li>Variável</li><li>0.17 L/kg Distribuído no sangue Ligado a proteínas plasmáticas no ambiente hidrofóbico 0.17-0.17 L/kg Distribuído no ambiente 0.17 L/kg Ligado a componentes moleculares (por exemplo, proteínas, lipídios, ácidos nucleicos)</li></ul>														
95% (Distribuição de Volume)	0.24 L/kg	0.24-0.3 L/kg	<ul style="list-style-type: none"><li>Classe 0.24-0.3 L/kg</li><li>Variável</li><li>0.17 L/kg Distribuído no sangue Ligado a proteínas plasmáticas no ambiente hidrofóbico 0.17-0.17 L/kg Distribuído no ambiente 0.17 L/kg Ligado a componentes moleculares (por exemplo, proteínas, lipídios, ácidos nucleicos)</li></ul>														
<div>69)</div> <div>CD8005603</div> <div></div> <div><div>4-(4'-aminomethyl)phenyl-1-N-Boc-aniline</div><div>Empirical Formula (Molecular Weight): <math>C_{17}H_{19}N_2O_2</math></div><div>Peso molecular: 296.36</div></div>	<table><tr><td>95% Logado de Proteínas (Fluorescência)</td><td>80.00%</td><td>95%</td><td><ul style="list-style-type: none"><li>Significativa nos dados que são altamente ligadas a proteínas e não há uma análise completa</li></ul></td></tr><tr><td>10 (Distribuição de Volume)</td><td>0.24 L/kg</td><td>0.24-0.3 L/kg</td><td><ul style="list-style-type: none"><li>Classe 0.24-0.3 L/kg</li><li>Variável</li><li>0.17 L/kg Distribuído no sangue Ligado a proteínas plasmáticas no ambiente hidrofóbico 0.17-0.17 L/kg Distribuído no ambiente 0.17 L/kg Ligado a componentes moleculares (por exemplo, proteínas, lipídios, ácidos nucleicos)</li></ul></td></tr><tr><td>95% (Distribuição de Volume)</td><td>0.24 L/kg</td><td>0.24-0.3 L/kg</td><td><ul style="list-style-type: none"><li>Classe 0.24-0.3 L/kg</li><li>Variável</li><li>0.17 L/kg Distribuído no sangue Ligado a proteínas plasmáticas no ambiente hidrofóbico 0.17-0.17 L/kg Distribuído no ambiente 0.17 L/kg Ligado a componentes moleculares (por exemplo, proteínas, lipídios, ácidos nucleicos)</li></ul></td></tr><tr><td>95% (Distribuição de Volume)</td><td>0.24 L/kg</td><td>0.24-0.3 L/kg</td><td><ul style="list-style-type: none"><li>Classe 0.24-0.3 L/kg</li><li>Variável</li><li>0.17 L/kg Distribuído no sangue Ligado a proteínas plasmáticas no ambiente hidrofóbico 0.17-0.17 L/kg Distribuído no ambiente 0.17 L/kg Ligado a componentes moleculares (por exemplo, proteínas, lipídios, ácidos nucleicos)</li></ul></td></tr></table>	95% Logado de Proteínas (Fluorescência)	80.00%	95%	<ul style="list-style-type: none"><li>Significativa nos dados que são altamente ligadas a proteínas e não há uma análise completa</li></ul>	10 (Distribuição de Volume)	0.24 L/kg	0.24-0.3 L/kg	<ul style="list-style-type: none"><li>Classe 0.24-0.3 L/kg</li><li>Variável</li><li>0.17 L/kg Distribuído no sangue Ligado a proteínas plasmáticas no ambiente hidrofóbico 0.17-0.17 L/kg Distribuído no ambiente 0.17 L/kg Ligado a componentes moleculares (por exemplo, proteínas, lipídios, ácidos nucleicos)</li></ul>	95% (Distribuição de Volume)	0.24 L/kg	0.24-0.3 L/kg	<ul style="list-style-type: none"><li>Classe 0.24-0.3 L/kg</li><li>Variável</li><li>0.17 L/kg Distribuído no sangue Ligado a proteínas plasmáticas no ambiente hidrofóbico 0.17-0.17 L/kg Distribuído no ambiente 0.17 L/kg Ligado a componentes moleculares (por exemplo, proteínas, lipídios, ácidos nucleicos)</li></ul>	95% (Distribuição de Volume)	0.24 L/kg	0.24-0.3 L/kg	<ul style="list-style-type: none"><li>Classe 0.24-0.3 L/kg</li><li>Variável</li><li>0.17 L/kg Distribuído no sangue Ligado a proteínas plasmáticas no ambiente hidrofóbico 0.17-0.17 L/kg Distribuído no ambiente 0.17 L/kg Ligado a componentes moleculares (por exemplo, proteínas, lipídios, ácidos nucleicos)</li></ul>
95% Logado de Proteínas (Fluorescência)	80.00%	95%	<ul style="list-style-type: none"><li>Significativa nos dados que são altamente ligadas a proteínas e não há uma análise completa</li></ul>														
10 (Distribuição de Volume)	0.24 L/kg	0.24-0.3 L/kg	<ul style="list-style-type: none"><li>Classe 0.24-0.3 L/kg</li><li>Variável</li><li>0.17 L/kg Distribuído no sangue Ligado a proteínas plasmáticas no ambiente hidrofóbico 0.17-0.17 L/kg Distribuído no ambiente 0.17 L/kg Ligado a componentes moleculares (por exemplo, proteínas, lipídios, ácidos nucleicos)</li></ul>														
95% (Distribuição de Volume)	0.24 L/kg	0.24-0.3 L/kg	<ul style="list-style-type: none"><li>Classe 0.24-0.3 L/kg</li><li>Variável</li><li>0.17 L/kg Distribuído no sangue Ligado a proteínas plasmáticas no ambiente hidrofóbico 0.17-0.17 L/kg Distribuído no ambiente 0.17 L/kg Ligado a componentes moleculares (por exemplo, proteínas, lipídios, ácidos nucleicos)</li></ul>														
95% (Distribuição de Volume)	0.24 L/kg	0.24-0.3 L/kg	<ul style="list-style-type: none"><li>Classe 0.24-0.3 L/kg</li><li>Variável</li><li>0.17 L/kg Distribuído no sangue Ligado a proteínas plasmáticas no ambiente hidrofóbico 0.17-0.17 L/kg Distribuído no ambiente 0.17 L/kg Ligado a componentes moleculares (por exemplo, proteínas, lipídios, ácidos nucleicos)</li></ul>														
<div>70)</div> <div>S629013</div> <div></div> <div><div>2-[2-(4-tert-octylphenoxy)ethoxy]aniline</div><div>Empirical Formula (Molecular Weight): <math>C_{22}H_{28}O_2</math></div><div>CAS No: 114305-42-4</div><div>Peso molecular: 344.46</div></div>	<table><tr><td>95% Logado de Proteínas (Fluorescência)</td><td>80.00%</td><td>95%</td><td><ul style="list-style-type: none"><li>Significativa nos dados que são altamente ligadas a proteínas e não há uma análise completa</li></ul></td></tr><tr><td>10 (Distribuição de Volume)</td><td>0.24 L/kg</td><td>0.24-0.3 L/kg</td><td><ul style="list-style-type: none"><li>Classe 0.24-0.3 L/kg</li><li>Variável</li><li>0.17 L/kg Distribuído no sangue Ligado a proteínas plasmáticas no ambiente hidrofóbico 0.17-0.17 L/kg Distribuído no ambiente 0.17 L/kg Ligado a componentes moleculares (por exemplo, proteínas, lipídios, ácidos nucleicos)</li></ul></td></tr><tr><td>95% (Distribuição de Volume)</td><td>0.24 L/kg</td><td>0.24-0.3 L/kg</td><td><ul style="list-style-type: none"><li>Classe 0.24-0.3 L/kg</li><li>Variável</li><li>0.17 L/kg Distribuído no sangue Ligado a proteínas plasmáticas no ambiente hidrofóbico 0.17-0.17 L/kg Distribuído no ambiente 0.17 L/kg Ligado a componentes moleculares (por exemplo, proteínas, lipídios, ácidos nucleicos)</li></ul></td></tr><tr><td>95% (Distribuição de Volume)</td><td>0.24 L/kg</td><td>0.24-0.3 L/kg</td><td><ul style="list-style-type: none"><li>Classe 0.24-0.3 L/kg</li><li>Variável</li><li>0.17 L/kg Distribuído no sangue Ligado a proteínas plasmáticas no ambiente hidrofóbico 0.17-0.17 L/kg Distribuído no ambiente 0.17 L/kg Ligado a componentes moleculares (por exemplo, proteínas, lipídios, ácidos nucleicos)</li></ul></td></tr></table>	95% Logado de Proteínas (Fluorescência)	80.00%	95%	<ul style="list-style-type: none"><li>Significativa nos dados que são altamente ligadas a proteínas e não há uma análise completa</li></ul>	10 (Distribuição de Volume)	0.24 L/kg	0.24-0.3 L/kg	<ul style="list-style-type: none"><li>Classe 0.24-0.3 L/kg</li><li>Variável</li><li>0.17 L/kg Distribuído no sangue Ligado a proteínas plasmáticas no ambiente hidrofóbico 0.17-0.17 L/kg Distribuído no ambiente 0.17 L/kg Ligado a componentes moleculares (por exemplo, proteínas, lipídios, ácidos nucleicos)</li></ul>	95% (Distribuição de Volume)	0.24 L/kg	0.24-0.3 L/kg	<ul style="list-style-type: none"><li>Classe 0.24-0.3 L/kg</li><li>Variável</li><li>0.17 L/kg Distribuído no sangue Ligado a proteínas plasmáticas no ambiente hidrofóbico 0.17-0.17 L/kg Distribuído no ambiente 0.17 L/kg Ligado a componentes moleculares (por exemplo, proteínas, lipídios, ácidos nucleicos)</li></ul>	95% (Distribuição de Volume)	0.24 L/kg	0.24-0.3 L/kg	<ul style="list-style-type: none"><li>Classe 0.24-0.3 L/kg</li><li>Variável</li><li>0.17 L/kg Distribuído no sangue Ligado a proteínas plasmáticas no ambiente hidrofóbico 0.17-0.17 L/kg Distribuído no ambiente 0.17 L/kg Ligado a componentes moleculares (por exemplo, proteínas, lipídios, ácidos nucleicos)</li></ul>
95% Logado de Proteínas (Fluorescência)	80.00%	95%	<ul style="list-style-type: none"><li>Significativa nos dados que são altamente ligadas a proteínas e não há uma análise completa</li></ul>														
10 (Distribuição de Volume)	0.24 L/kg	0.24-0.3 L/kg	<ul style="list-style-type: none"><li>Classe 0.24-0.3 L/kg</li><li>Variável</li><li>0.17 L/kg Distribuído no sangue Ligado a proteínas plasmáticas no ambiente hidrofóbico 0.17-0.17 L/kg Distribuído no ambiente 0.17 L/kg Ligado a componentes moleculares (por exemplo, proteínas, lipídios, ácidos nucleicos)</li></ul>														
95% (Distribuição de Volume)	0.24 L/kg	0.24-0.3 L/kg	<ul style="list-style-type: none"><li>Classe 0.24-0.3 L/kg</li><li>Variável</li><li>0.17 L/kg Distribuído no sangue Ligado a proteínas plasmáticas no ambiente hidrofóbico 0.17-0.17 L/kg Distribuído no ambiente 0.17 L/kg Ligado a componentes moleculares (por exemplo, proteínas, lipídios, ácidos nucleicos)</li></ul>														
95% (Distribuição de Volume)	0.24 L/kg	0.24-0.3 L/kg	<ul style="list-style-type: none"><li>Classe 0.24-0.3 L/kg</li><li>Variável</li><li>0.17 L/kg Distribuído no sangue Ligado a proteínas plasmáticas no ambiente hidrofóbico 0.17-0.17 L/kg Distribuído no ambiente 0.17 L/kg Ligado a componentes moleculares (por exemplo, proteínas, lipídios, ácidos nucleicos)</li></ul>														
<div>71)</div> <div>TMTD0306</div> <div></div> <div><div>4-(2-(pyridin-4-yl)ethyl)aniline</div><div>Empirical Formula (Molecular Weight): <math>C_{12}H_{11}N</math></div><div>CAS No: 6158-70-3</div><div>Peso molecular: 195.26</div></div>	<table><tr><td>95% Logado de Proteínas (Fluorescência)</td><td>80.00%</td><td>95%</td><td><ul style="list-style-type: none"><li>Significativa nos dados que são altamente ligadas a proteínas e não há uma análise completa</li></ul></td></tr><tr><td>10 (Distribuição de Volume)</td><td>0.24 L/kg</td><td>0.24-0.3 L/kg</td><td><ul style="list-style-type: none"><li>Classe 0.24-0.3 L/kg</li><li>Variável</li><li>0.17 L/kg Distribuído no sangue Ligado a proteínas plasmáticas no ambiente hidrofóbico 0.17-0.17 L/kg Distribuído no ambiente 0.17 L/kg Ligado a componentes moleculares (por exemplo, proteínas, lipídios, ácidos nucleicos)</li></ul></td></tr><tr><td>95% (Distribuição de Volume)</td><td>0.24 L/kg</td><td>0.24-0.3 L/kg</td><td><ul style="list-style-type: none"><li>Classe 0.24-0.3 L/kg</li><li>Variável</li><li>0.17 L/kg Distribuído no sangue Ligado a proteínas plasmáticas no ambiente hidrofóbico 0.17-0.17 L/kg Distribuído no ambiente 0.17 L/kg Ligado a componentes moleculares (por exemplo, proteínas, lipídios, ácidos nucleicos)</li></ul></td></tr><tr><td>95% (Distribuição de Volume)</td><td>0.24 L/kg</td><td>0.24-0.3 L/kg</td><td><ul style="list-style-type: none"><li>Classe 0.24-0.3 L/kg</li><li>Variável</li><li>0.17 L/kg Distribuído no sangue Ligado a proteínas plasmáticas no ambiente hidrofóbico 0.17-0.17 L/kg Distribuído no ambiente 0.17 L/kg Ligado a componentes moleculares (por exemplo, proteínas, lipídios, ácidos nucleicos)</li></ul></td></tr></table>	95% Logado de Proteínas (Fluorescência)	80.00%	95%	<ul style="list-style-type: none"><li>Significativa nos dados que são altamente ligadas a proteínas e não há uma análise completa</li></ul>	10 (Distribuição de Volume)	0.24 L/kg	0.24-0.3 L/kg	<ul style="list-style-type: none"><li>Classe 0.24-0.3 L/kg</li><li>Variável</li><li>0.17 L/kg Distribuído no sangue Ligado a proteínas plasmáticas no ambiente hidrofóbico 0.17-0.17 L/kg Distribuído no ambiente 0.17 L/kg Ligado a componentes moleculares (por exemplo, proteínas, lipídios, ácidos nucleicos)</li></ul>	95% (Distribuição de Volume)	0.24 L/kg	0.24-0.3 L/kg	<ul style="list-style-type: none"><li>Classe 0.24-0.3 L/kg</li><li>Variável</li><li>0.17 L/kg Distribuído no sangue Ligado a proteínas plasmáticas no ambiente hidrofóbico 0.17-0.17 L/kg Distribuído no ambiente 0.17 L/kg Ligado a componentes moleculares (por exemplo, proteínas, lipídios, ácidos nucleicos)</li></ul>	95% (Distribuição de Volume)	0.24 L/kg	0.24-0.3 L/kg	<ul style="list-style-type: none"><li>Classe 0.24-0.3 L/kg</li><li>Variável</li><li>0.17 L/kg Distribuído no sangue Ligado a proteínas plasmáticas no ambiente hidrofóbico 0.17-0.17 L/kg Distribuído no ambiente 0.17 L/kg Ligado a componentes moleculares (por exemplo, proteínas, lipídios, ácidos nucleicos)</li></ul>
95% Logado de Proteínas (Fluorescência)	80.00%	95%	<ul style="list-style-type: none"><li>Significativa nos dados que são altamente ligadas a proteínas e não há uma análise completa</li></ul>														
10 (Distribuição de Volume)	0.24 L/kg	0.24-0.3 L/kg	<ul style="list-style-type: none"><li>Classe 0.24-0.3 L/kg</li><li>Variável</li><li>0.17 L/kg Distribuído no sangue Ligado a proteínas plasmáticas no ambiente hidrofóbico 0.17-0.17 L/kg Distribuído no ambiente 0.17 L/kg Ligado a componentes moleculares (por exemplo, proteínas, lipídios, ácidos nucleicos)</li></ul>														
95% (Distribuição de Volume)	0.24 L/kg	0.24-0.3 L/kg	<ul style="list-style-type: none"><li>Classe 0.24-0.3 L/kg</li><li>Variável</li><li>0.17 L/kg Distribuído no sangue Ligado a proteínas plasmáticas no ambiente hidrofóbico 0.17-0.17 L/kg Distribuído no ambiente 0.17 L/kg Ligado a componentes moleculares (por exemplo, proteínas, lipídios, ácidos nucleicos)</li></ul>														
95% (Distribuição de Volume)	0.24 L/kg	0.24-0.3 L/kg	<ul style="list-style-type: none"><li>Classe 0.24-0.3 L/kg</li><li>Variável</li><li>0.17 L/kg Distribuído no sangue Ligado a proteínas plasmáticas no ambiente hidrofóbico 0.17-0.17 L/kg Distribuído no ambiente 0.17 L/kg Ligado a componentes moleculares (por exemplo, proteínas, lipídios, ácidos nucleicos)</li></ul>														

<div>72)</div> <div>CDS015579</div> <div></div> <div><b>4-(4-methyl-4H-1,2,4-triazol-3-yl)aniline</b></div> <div>Empirical Formula (Molecular Weight): <math>C_9H_8N_4</math></div> <div>Peso molecular: 174,20</div>	<table><tr><td>PPV (Ligação de Pontes Plasmáticas)</td><td>96,07%</td><td>95%</td><td>• Significativa nos dados que são altamente ligadas a proteínas e nos dados de toxicidade</td></tr><tr><td>TD (Distribuição de Tóxicos)</td><td>4,000 L/kg</td><td>0,04-0,1 L/kg</td><td>• Classe 0,04-0,1 L/kg</td></tr><tr><td></td><td></td><td></td><td>• Toxicidade</td></tr><tr><td></td><td></td><td></td><td>• &lt;0,1 L/kg Distribuído no sangue Ligado a proteínas plasmáticas no alveolado pulmonar 0,07-0,1 L/kg Distribuído no alveolado pulmonar &lt;0,1 L/kg Ligado a receptores de toxinas (por exemplo, proteínas, lipídios, ácidos nucleicos)</td></tr><tr><td>BB (Barreira Sangue-Cérebro)</td><td>+</td><td>0,02</td><td>• Classe BB +(-) BBB+ Classe BB +(-) BBB</td></tr><tr><td></td><td></td><td></td><td>• Dados de toxicidade e avaliação a partir de BB</td></tr><tr><td></td><td></td><td></td><td>Ligação de 0,1 (mol) - 0-0,1 (mol) - 0,01-0,02 (mol) de ácidos</td></tr></table>	PPV (Ligação de Pontes Plasmáticas)	96,07%	95%	• Significativa nos dados que são altamente ligadas a proteínas e nos dados de toxicidade	TD (Distribuição de Tóxicos)	4,000 L/kg	0,04-0,1 L/kg	• Classe 0,04-0,1 L/kg				• Toxicidade				• <0,1 L/kg Distribuído no sangue Ligado a proteínas plasmáticas no alveolado pulmonar 0,07-0,1 L/kg Distribuído no alveolado pulmonar <0,1 L/kg Ligado a receptores de toxinas (por exemplo, proteínas, lipídios, ácidos nucleicos)	BB (Barreira Sangue-Cérebro)	+	0,02	• Classe BB +(-) BBB+ Classe BB +(-) BBB				• Dados de toxicidade e avaliação a partir de BB				Ligação de 0,1 (mol) - 0-0,1 (mol) - 0,01-0,02 (mol) de ácidos
PPV (Ligação de Pontes Plasmáticas)	96,07%	95%	• Significativa nos dados que são altamente ligadas a proteínas e nos dados de toxicidade																										
TD (Distribuição de Tóxicos)	4,000 L/kg	0,04-0,1 L/kg	• Classe 0,04-0,1 L/kg																										
			• Toxicidade																										
			• <0,1 L/kg Distribuído no sangue Ligado a proteínas plasmáticas no alveolado pulmonar 0,07-0,1 L/kg Distribuído no alveolado pulmonar <0,1 L/kg Ligado a receptores de toxinas (por exemplo, proteínas, lipídios, ácidos nucleicos)																										
BB (Barreira Sangue-Cérebro)	+	0,02	• Classe BB +(-) BBB+ Classe BB +(-) BBB																										
			• Dados de toxicidade e avaliação a partir de BB																										
			Ligação de 0,1 (mol) - 0-0,1 (mol) - 0,01-0,02 (mol) de ácidos																										
<div>73)</div> <div>TMT00306</div> <div></div> <div><b>4-(2-(Pyridin-4-yl)ethyl)aniline</b></div> <div>Empirical Formula (Molecular Weight): <math>C_{12}H_{10}N_2</math></div> <div>CAS No.: 6358-79-3</div> <div>Peso molecular: 196,26</div>	<table><tr><td>PPV (Ligação de Pontes Plasmáticas)</td><td>96,07%</td><td>95%</td><td>• Significativa nos dados que são altamente ligadas a proteínas e nos dados de toxicidade</td></tr><tr><td>TD (Distribuição de Tóxicos)</td><td>0,001 L/kg</td><td>0,04-0,1 L/kg</td><td>• Classe 0,04-0,1 L/kg</td></tr><tr><td></td><td></td><td></td><td>• Toxicidade</td></tr><tr><td></td><td></td><td></td><td>• &lt;0,1 L/kg Distribuído no sangue Ligado a proteínas plasmáticas no alveolado pulmonar 0,07-0,1 L/kg Distribuído no alveolado pulmonar &lt;0,1 L/kg Ligado a receptores de toxinas (por exemplo, proteínas, lipídios, ácidos nucleicos)</td></tr><tr><td>BB (Barreira Sangue-Cérebro)</td><td>+</td><td>0,02</td><td>• Classe BB +(-) BBB+ Classe BB +(-) BBB</td></tr><tr><td></td><td></td><td></td><td>• Dados de toxicidade e avaliação a partir de BB</td></tr><tr><td></td><td></td><td></td><td>Ligação de 0,1 (mol) - 0-0,1 (mol) - 0,01-0,02 (mol) de ácidos</td></tr></table>	PPV (Ligação de Pontes Plasmáticas)	96,07%	95%	• Significativa nos dados que são altamente ligadas a proteínas e nos dados de toxicidade	TD (Distribuição de Tóxicos)	0,001 L/kg	0,04-0,1 L/kg	• Classe 0,04-0,1 L/kg				• Toxicidade				• <0,1 L/kg Distribuído no sangue Ligado a proteínas plasmáticas no alveolado pulmonar 0,07-0,1 L/kg Distribuído no alveolado pulmonar <0,1 L/kg Ligado a receptores de toxinas (por exemplo, proteínas, lipídios, ácidos nucleicos)	BB (Barreira Sangue-Cérebro)	+	0,02	• Classe BB +(-) BBB+ Classe BB +(-) BBB				• Dados de toxicidade e avaliação a partir de BB				Ligação de 0,1 (mol) - 0-0,1 (mol) - 0,01-0,02 (mol) de ácidos
PPV (Ligação de Pontes Plasmáticas)	96,07%	95%	• Significativa nos dados que são altamente ligadas a proteínas e nos dados de toxicidade																										
TD (Distribuição de Tóxicos)	0,001 L/kg	0,04-0,1 L/kg	• Classe 0,04-0,1 L/kg																										
			• Toxicidade																										
			• <0,1 L/kg Distribuído no sangue Ligado a proteínas plasmáticas no alveolado pulmonar 0,07-0,1 L/kg Distribuído no alveolado pulmonar <0,1 L/kg Ligado a receptores de toxinas (por exemplo, proteínas, lipídios, ácidos nucleicos)																										
BB (Barreira Sangue-Cérebro)	+	0,02	• Classe BB +(-) BBB+ Classe BB +(-) BBB																										
			• Dados de toxicidade e avaliação a partir de BB																										
			Ligação de 0,1 (mol) - 0-0,1 (mol) - 0,01-0,02 (mol) de ácidos																										
<div>74)</div> <div>PH019167</div> <div></div> <div><b>(E)-4-(2-(Pyridin-2-yl)vinyl)aniline hydrochloride</b></div> <div>Empirical Formula (Molecular Weight): <math>C_{11}H_9N_2</math></div> <div>Peso molecular: 175,12</div>	<table><tr><td>PPV (Ligação de Pontes Plasmáticas)</td><td>96,07%</td><td>95%</td><td>• Significativa nos dados que são altamente ligadas a proteínas e nos dados de toxicidade</td></tr><tr><td>TD (Distribuição de Tóxicos)</td><td>0,001 L/kg</td><td>0,04-0,1 L/kg</td><td>• Classe 0,04-0,1 L/kg</td></tr><tr><td></td><td></td><td></td><td>• Toxicidade</td></tr><tr><td></td><td></td><td></td><td>• &lt;0,1 L/kg Distribuído no sangue Ligado a proteínas plasmáticas no alveolado pulmonar 0,07-0,1 L/kg Distribuído no alveolado pulmonar &lt;0,1 L/kg Ligado a receptores de toxinas (por exemplo, proteínas, lipídios, ácidos nucleicos)</td></tr><tr><td>BB (Barreira Sangue-Cérebro)</td><td>+</td><td>0,02</td><td>• Classe BB +(-) BBB+ Classe BB +(-) BBB</td></tr><tr><td></td><td></td><td></td><td>• Dados de toxicidade e avaliação a partir de BB</td></tr><tr><td></td><td></td><td></td><td>Ligação de 0,1 (mol) - 0-0,1 (mol) - 0,01-0,02 (mol) de ácidos</td></tr></table>	PPV (Ligação de Pontes Plasmáticas)	96,07%	95%	• Significativa nos dados que são altamente ligadas a proteínas e nos dados de toxicidade	TD (Distribuição de Tóxicos)	0,001 L/kg	0,04-0,1 L/kg	• Classe 0,04-0,1 L/kg				• Toxicidade				• <0,1 L/kg Distribuído no sangue Ligado a proteínas plasmáticas no alveolado pulmonar 0,07-0,1 L/kg Distribuído no alveolado pulmonar <0,1 L/kg Ligado a receptores de toxinas (por exemplo, proteínas, lipídios, ácidos nucleicos)	BB (Barreira Sangue-Cérebro)	+	0,02	• Classe BB +(-) BBB+ Classe BB +(-) BBB				• Dados de toxicidade e avaliação a partir de BB				Ligação de 0,1 (mol) - 0-0,1 (mol) - 0,01-0,02 (mol) de ácidos
PPV (Ligação de Pontes Plasmáticas)	96,07%	95%	• Significativa nos dados que são altamente ligadas a proteínas e nos dados de toxicidade																										
TD (Distribuição de Tóxicos)	0,001 L/kg	0,04-0,1 L/kg	• Classe 0,04-0,1 L/kg																										
			• Toxicidade																										
			• <0,1 L/kg Distribuído no sangue Ligado a proteínas plasmáticas no alveolado pulmonar 0,07-0,1 L/kg Distribuído no alveolado pulmonar <0,1 L/kg Ligado a receptores de toxinas (por exemplo, proteínas, lipídios, ácidos nucleicos)																										
BB (Barreira Sangue-Cérebro)	+	0,02	• Classe BB +(-) BBB+ Classe BB +(-) BBB																										
			• Dados de toxicidade e avaliação a partir de BB																										
			Ligação de 0,1 (mol) - 0-0,1 (mol) - 0,01-0,02 (mol) de ácidos																										
<div>75)</div> <div>CDS000662</div> <div></div> <div><b>4-[4-(4-fluorophenyl)-1,3-thiazol-2-yl]aniline</b></div> <div>Empirical Formula (Molecular Weight): <math>C_{14}H_9FN_2S</math></div> <div>Peso molecular: 270,32</div>	<table><tr><td>PPV (Ligação de Pontes Plasmáticas)</td><td>96,07%</td><td>95%</td><td>• Significativa nos dados que são altamente ligadas a proteínas e nos dados de toxicidade</td></tr><tr><td>TD (Distribuição de Tóxicos)</td><td>4,000 L/kg</td><td>0,04-0,1 L/kg</td><td>• Classe 0,04-0,1 L/kg</td></tr><tr><td></td><td></td><td></td><td>• Toxicidade</td></tr><tr><td></td><td></td><td></td><td>• &lt;0,1 L/kg Distribuído no sangue Ligado a proteínas plasmáticas no alveolado pulmonar 0,07-0,1 L/kg Distribuído no alveolado pulmonar &lt;0,1 L/kg Ligado a receptores de toxinas (por exemplo, proteínas, lipídios, ácidos nucleicos)</td></tr><tr><td>BB (Barreira Sangue-Cérebro)</td><td>---</td><td>0,02</td><td>• Classe BB +(-) BBB+ Classe BB +(-) BBB</td></tr><tr><td></td><td></td><td></td><td>• Dados de toxicidade e avaliação a partir de BB</td></tr><tr><td></td><td></td><td></td><td>Ligação de 0,1 (mol) - 0-0,1 (mol) - 0,01-0,02 (mol) de ácidos</td></tr></table>	PPV (Ligação de Pontes Plasmáticas)	96,07%	95%	• Significativa nos dados que são altamente ligadas a proteínas e nos dados de toxicidade	TD (Distribuição de Tóxicos)	4,000 L/kg	0,04-0,1 L/kg	• Classe 0,04-0,1 L/kg				• Toxicidade				• <0,1 L/kg Distribuído no sangue Ligado a proteínas plasmáticas no alveolado pulmonar 0,07-0,1 L/kg Distribuído no alveolado pulmonar <0,1 L/kg Ligado a receptores de toxinas (por exemplo, proteínas, lipídios, ácidos nucleicos)	BB (Barreira Sangue-Cérebro)	---	0,02	• Classe BB +(-) BBB+ Classe BB +(-) BBB				• Dados de toxicidade e avaliação a partir de BB				Ligação de 0,1 (mol) - 0-0,1 (mol) - 0,01-0,02 (mol) de ácidos
PPV (Ligação de Pontes Plasmáticas)	96,07%	95%	• Significativa nos dados que são altamente ligadas a proteínas e nos dados de toxicidade																										
TD (Distribuição de Tóxicos)	4,000 L/kg	0,04-0,1 L/kg	• Classe 0,04-0,1 L/kg																										
			• Toxicidade																										
			• <0,1 L/kg Distribuído no sangue Ligado a proteínas plasmáticas no alveolado pulmonar 0,07-0,1 L/kg Distribuído no alveolado pulmonar <0,1 L/kg Ligado a receptores de toxinas (por exemplo, proteínas, lipídios, ácidos nucleicos)																										
BB (Barreira Sangue-Cérebro)	---	0,02	• Classe BB +(-) BBB+ Classe BB +(-) BBB																										
			• Dados de toxicidade e avaliação a partir de BB																										
			Ligação de 0,1 (mol) - 0-0,1 (mol) - 0,01-0,02 (mol) de ácidos																										
<div>76)</div> <div>BBO000510</div> <div></div> <div><b>4-(2-(Pyrrolidin-1-yl)ethyl)aniline hydrochloride</b></div> <div>Empirical Formula (Molecular Weight): <math>C_{11}H_{14}N_2</math></div> <div>Peso molecular: 226,71</div>	<table><tr><td>PPV (Ligação de Pontes Plasmáticas)</td><td>96,07%</td><td>95%</td><td>• Significativa nos dados que são altamente ligadas a proteínas e nos dados de toxicidade</td></tr><tr><td>TD (Distribuição de Tóxicos)</td><td>0,001 L/kg</td><td>0,04-0,1 L/kg</td><td>• Classe 0,04-0,1 L/kg</td></tr><tr><td></td><td></td><td></td><td>• Toxicidade</td></tr><tr><td></td><td></td><td></td><td>• &lt;0,1 L/kg Distribuído no sangue Ligado a proteínas plasmáticas no alveolado pulmonar 0,07-0,1 L/kg Distribuído no alveolado pulmonar &lt;0,1 L/kg Ligado a receptores de toxinas (por exemplo, proteínas, lipídios, ácidos nucleicos)</td></tr><tr><td>BB (Barreira Sangue-Cérebro)</td><td>+</td><td>0,02</td><td>• Classe BB +(-) BBB+ Classe BB +(-) BBB</td></tr><tr><td></td><td></td><td></td><td>• Dados de toxicidade e avaliação a partir de BB</td></tr><tr><td></td><td></td><td></td><td>Ligação de 0,1 (mol) - 0-0,1 (mol) - 0,01-0,02 (mol) de ácidos</td></tr></table>	PPV (Ligação de Pontes Plasmáticas)	96,07%	95%	• Significativa nos dados que são altamente ligadas a proteínas e nos dados de toxicidade	TD (Distribuição de Tóxicos)	0,001 L/kg	0,04-0,1 L/kg	• Classe 0,04-0,1 L/kg				• Toxicidade				• <0,1 L/kg Distribuído no sangue Ligado a proteínas plasmáticas no alveolado pulmonar 0,07-0,1 L/kg Distribuído no alveolado pulmonar <0,1 L/kg Ligado a receptores de toxinas (por exemplo, proteínas, lipídios, ácidos nucleicos)	BB (Barreira Sangue-Cérebro)	+	0,02	• Classe BB +(-) BBB+ Classe BB +(-) BBB				• Dados de toxicidade e avaliação a partir de BB				Ligação de 0,1 (mol) - 0-0,1 (mol) - 0,01-0,02 (mol) de ácidos
PPV (Ligação de Pontes Plasmáticas)	96,07%	95%	• Significativa nos dados que são altamente ligadas a proteínas e nos dados de toxicidade																										
TD (Distribuição de Tóxicos)	0,001 L/kg	0,04-0,1 L/kg	• Classe 0,04-0,1 L/kg																										
			• Toxicidade																										
			• <0,1 L/kg Distribuído no sangue Ligado a proteínas plasmáticas no alveolado pulmonar 0,07-0,1 L/kg Distribuído no alveolado pulmonar <0,1 L/kg Ligado a receptores de toxinas (por exemplo, proteínas, lipídios, ácidos nucleicos)																										
BB (Barreira Sangue-Cérebro)	+	0,02	• Classe BB +(-) BBB+ Classe BB +(-) BBB																										
			• Dados de toxicidade e avaliação a partir de BB																										
			Ligação de 0,1 (mol) - 0-0,1 (mol) - 0,01-0,02 (mol) de ácidos																										

<div>77)</div> <div><a href="#">QTV000483</a></div> <div></div> <div><b>3-(6-Methylimidazo[1,2-a]pyridin-2-yl)aniline</b></div> <div>Empirical Formula (Molecular Weight): <math>C_{12}H_{10}N_4</math></div> <div>Peso molecular: 222,27</div>	<table><tr><td>PPD (Capacidade de Proteínas Plasmáticas)</td><td>9,30%</td><td>9%</td><td>• Significativo com drogas que são altamente ligadas a proteínas e são fármacos terapêuticos</td></tr><tr><td>VD (Distribuição de Volume)</td><td>0,08 L/kg</td><td>0,04-0,1 L/kg</td><td>• Outras 0,04-0,05 L/kg</td></tr><tr><td></td><td></td><td></td><td>• Variáveis</td></tr><tr><td></td><td></td><td></td><td>• 0,07 L/kg Distribuído no sangue; Ligado a proteínas plasmáticas no plasma totalitário; 0,07-0,1 L/kg Distribuído no plasma; 0,1 L/kg Ligado a componentes teciduais (por exemplo, proteínas, lipídios) altamente lipofílicos</td></tr><tr><td>BBB (Barreira Sangue-Cérebro)</td><td>---</td><td>0,05</td><td>• Rato BB-0,05 BBB; Rato BB-0,1 BBB</td></tr><tr><td></td><td></td><td></td><td>• Dados variáveis tendem a refletir a permeação de BBB</td></tr><tr><td></td><td></td><td></td><td>• Ligação de 0,3 mg/kg → 0-0,750 → 400-600 Des. molares</td></tr></table>	PPD (Capacidade de Proteínas Plasmáticas)	9,30%	9%	• Significativo com drogas que são altamente ligadas a proteínas e são fármacos terapêuticos	VD (Distribuição de Volume)	0,08 L/kg	0,04-0,1 L/kg	• Outras 0,04-0,05 L/kg				• Variáveis				• 0,07 L/kg Distribuído no sangue; Ligado a proteínas plasmáticas no plasma totalitário; 0,07-0,1 L/kg Distribuído no plasma; 0,1 L/kg Ligado a componentes teciduais (por exemplo, proteínas, lipídios) altamente lipofílicos	BBB (Barreira Sangue-Cérebro)	---	0,05	• Rato BB-0,05 BBB; Rato BB-0,1 BBB				• Dados variáveis tendem a refletir a permeação de BBB				• Ligação de 0,3 mg/kg → 0-0,750 → 400-600 Des. molares
PPD (Capacidade de Proteínas Plasmáticas)	9,30%	9%	• Significativo com drogas que são altamente ligadas a proteínas e são fármacos terapêuticos																										
VD (Distribuição de Volume)	0,08 L/kg	0,04-0,1 L/kg	• Outras 0,04-0,05 L/kg																										
			• Variáveis																										
			• 0,07 L/kg Distribuído no sangue; Ligado a proteínas plasmáticas no plasma totalitário; 0,07-0,1 L/kg Distribuído no plasma; 0,1 L/kg Ligado a componentes teciduais (por exemplo, proteínas, lipídios) altamente lipofílicos																										
BBB (Barreira Sangue-Cérebro)	---	0,05	• Rato BB-0,05 BBB; Rato BB-0,1 BBB																										
			• Dados variáveis tendem a refletir a permeação de BBB																										
			• Ligação de 0,3 mg/kg → 0-0,750 → 400-600 Des. molares																										
<div>78)</div> <div><a href="#">PH010467</a></div> <div></div> <div><b>5-chloro-2-(1H-pyrrol-1-yl)aniline</b></div> <div>Formula bruta: <math>C_{10}H_8ClN_2</math></div> <div>Peso molecular: 192,65</div>	<table><tr><td>PPD (Capacidade de Proteínas Plasmáticas)</td><td>9,30%</td><td>9%</td><td>• Significativo com drogas que são altamente ligadas a proteínas e são fármacos terapêuticos</td></tr><tr><td>VD (Distribuição de Volume)</td><td>0,02 L/kg</td><td>0,04-0,1 L/kg</td><td>• Outras 0,04-0,05 L/kg</td></tr><tr><td></td><td></td><td></td><td>• Variáveis</td></tr><tr><td></td><td></td><td></td><td>• 0,07 L/kg Distribuído no sangue; Ligado a proteínas plasmáticas no plasma totalitário; 0,07-0,1 L/kg Distribuído no plasma; 0,1 L/kg Ligado a componentes teciduais (por exemplo, proteínas, lipídios) altamente lipofílicos</td></tr><tr><td>BBB (Barreira Sangue-Cérebro)</td><td>+</td><td>0,05</td><td>• Rato BB-0,05 BBB; Rato BB-0,1 BBB</td></tr><tr><td></td><td></td><td></td><td>• Dados variáveis tendem a refletir a permeação de BBB</td></tr><tr><td></td><td></td><td></td><td>• Ligação de 0,3 mg/kg → 0-0,750 → 400-600 Des. molares</td></tr></table>	PPD (Capacidade de Proteínas Plasmáticas)	9,30%	9%	• Significativo com drogas que são altamente ligadas a proteínas e são fármacos terapêuticos	VD (Distribuição de Volume)	0,02 L/kg	0,04-0,1 L/kg	• Outras 0,04-0,05 L/kg				• Variáveis				• 0,07 L/kg Distribuído no sangue; Ligado a proteínas plasmáticas no plasma totalitário; 0,07-0,1 L/kg Distribuído no plasma; 0,1 L/kg Ligado a componentes teciduais (por exemplo, proteínas, lipídios) altamente lipofílicos	BBB (Barreira Sangue-Cérebro)	+	0,05	• Rato BB-0,05 BBB; Rato BB-0,1 BBB				• Dados variáveis tendem a refletir a permeação de BBB				• Ligação de 0,3 mg/kg → 0-0,750 → 400-600 Des. molares
PPD (Capacidade de Proteínas Plasmáticas)	9,30%	9%	• Significativo com drogas que são altamente ligadas a proteínas e são fármacos terapêuticos																										
VD (Distribuição de Volume)	0,02 L/kg	0,04-0,1 L/kg	• Outras 0,04-0,05 L/kg																										
			• Variáveis																										
			• 0,07 L/kg Distribuído no sangue; Ligado a proteínas plasmáticas no plasma totalitário; 0,07-0,1 L/kg Distribuído no plasma; 0,1 L/kg Ligado a componentes teciduais (por exemplo, proteínas, lipídios) altamente lipofílicos																										
BBB (Barreira Sangue-Cérebro)	+	0,05	• Rato BB-0,05 BBB; Rato BB-0,1 BBB																										
			• Dados variáveis tendem a refletir a permeação de BBB																										
			• Ligação de 0,3 mg/kg → 0-0,750 → 400-600 Des. molares																										
<div>79)</div> <div><a href="#">QTV000493</a></div> <div></div> <div><b>3-(6-Methylimidazo[1,2-a]pyridin-2-yl)aniline</b></div> <div>Empirical Formula (Molecular Weight): <math>C_{12}H_{10}N_4</math></div> <div>Peso molecular: 222,27</div>	<table><tr><td>PPD (Capacidade de Proteínas Plasmáticas)</td><td>9,30%</td><td>9%</td><td>• Significativo com drogas que são altamente ligadas a proteínas e são fármacos terapêuticos</td></tr><tr><td>VD (Distribuição de Volume)</td><td>0,02 L/kg</td><td>0,04-0,1 L/kg</td><td>• Outras 0,04-0,05 L/kg</td></tr><tr><td></td><td></td><td></td><td>• Variáveis</td></tr><tr><td></td><td></td><td></td><td>• 0,07 L/kg Distribuído no sangue; Ligado a proteínas plasmáticas no plasma totalitário; 0,07-0,1 L/kg Distribuído no plasma; 0,1 L/kg Ligado a componentes teciduais (por exemplo, proteínas, lipídios) altamente lipofílicos</td></tr><tr><td>BBB (Barreira Sangue-Cérebro)</td><td>---</td><td>0,05</td><td>• Rato BB-0,05 BBB; Rato BB-0,1 BBB</td></tr><tr><td></td><td></td><td></td><td>• Dados variáveis tendem a refletir a permeação de BBB</td></tr><tr><td></td><td></td><td></td><td>• Ligação de 0,3 mg/kg → 0-0,750 → 400-600 Des. molares</td></tr></table>	PPD (Capacidade de Proteínas Plasmáticas)	9,30%	9%	• Significativo com drogas que são altamente ligadas a proteínas e são fármacos terapêuticos	VD (Distribuição de Volume)	0,02 L/kg	0,04-0,1 L/kg	• Outras 0,04-0,05 L/kg				• Variáveis				• 0,07 L/kg Distribuído no sangue; Ligado a proteínas plasmáticas no plasma totalitário; 0,07-0,1 L/kg Distribuído no plasma; 0,1 L/kg Ligado a componentes teciduais (por exemplo, proteínas, lipídios) altamente lipofílicos	BBB (Barreira Sangue-Cérebro)	---	0,05	• Rato BB-0,05 BBB; Rato BB-0,1 BBB				• Dados variáveis tendem a refletir a permeação de BBB				• Ligação de 0,3 mg/kg → 0-0,750 → 400-600 Des. molares
PPD (Capacidade de Proteínas Plasmáticas)	9,30%	9%	• Significativo com drogas que são altamente ligadas a proteínas e são fármacos terapêuticos																										
VD (Distribuição de Volume)	0,02 L/kg	0,04-0,1 L/kg	• Outras 0,04-0,05 L/kg																										
			• Variáveis																										
			• 0,07 L/kg Distribuído no sangue; Ligado a proteínas plasmáticas no plasma totalitário; 0,07-0,1 L/kg Distribuído no plasma; 0,1 L/kg Ligado a componentes teciduais (por exemplo, proteínas, lipídios) altamente lipofílicos																										
BBB (Barreira Sangue-Cérebro)	---	0,05	• Rato BB-0,05 BBB; Rato BB-0,1 BBB																										
			• Dados variáveis tendem a refletir a permeação de BBB																										
			• Ligação de 0,3 mg/kg → 0-0,750 → 400-600 Des. molares																										
<div>80)</div> <div><a href="#">QTV000862</a></div> <div></div> <div><b>4-Bromo-2-(2-(pyrrolidin-1-yl)ethoxy)aniline</b></div> <div>Empirical Formula (Molecular Weight): <math>C_{17}H_{20}BrN_2</math></div> <div>Peso molecular: 305,28</div>	<table><tr><td>PPD (Capacidade de Proteínas Plasmáticas)</td><td>9,30%</td><td>9%</td><td>• Significativo com drogas que são altamente ligadas a proteínas e são fármacos terapêuticos</td></tr><tr><td>VD (Distribuição de Volume)</td><td>0,08 L/kg</td><td>0,04-0,1 L/kg</td><td>• Outras 0,04-0,05 L/kg</td></tr><tr><td></td><td></td><td></td><td>• Variáveis</td></tr><tr><td></td><td></td><td></td><td>• 0,07 L/kg Distribuído no sangue; Ligado a proteínas plasmáticas no plasma totalitário; 0,07-0,1 L/kg Distribuído no plasma; 0,1 L/kg Ligado a componentes teciduais (por exemplo, proteínas, lipídios) altamente lipofílicos</td></tr><tr><td>BBB (Barreira Sangue-Cérebro)</td><td>+</td><td>0,05</td><td>• Rato BB-0,05 BBB; Rato BB-0,1 BBB</td></tr><tr><td></td><td></td><td></td><td>• Dados variáveis tendem a refletir a permeação de BBB</td></tr><tr><td></td><td></td><td></td><td>• Ligação de 0,3 mg/kg → 0-0,750 → 400-600 Des. molares</td></tr></table>	PPD (Capacidade de Proteínas Plasmáticas)	9,30%	9%	• Significativo com drogas que são altamente ligadas a proteínas e são fármacos terapêuticos	VD (Distribuição de Volume)	0,08 L/kg	0,04-0,1 L/kg	• Outras 0,04-0,05 L/kg				• Variáveis				• 0,07 L/kg Distribuído no sangue; Ligado a proteínas plasmáticas no plasma totalitário; 0,07-0,1 L/kg Distribuído no plasma; 0,1 L/kg Ligado a componentes teciduais (por exemplo, proteínas, lipídios) altamente lipofílicos	BBB (Barreira Sangue-Cérebro)	+	0,05	• Rato BB-0,05 BBB; Rato BB-0,1 BBB				• Dados variáveis tendem a refletir a permeação de BBB				• Ligação de 0,3 mg/kg → 0-0,750 → 400-600 Des. molares
PPD (Capacidade de Proteínas Plasmáticas)	9,30%	9%	• Significativo com drogas que são altamente ligadas a proteínas e são fármacos terapêuticos																										
VD (Distribuição de Volume)	0,08 L/kg	0,04-0,1 L/kg	• Outras 0,04-0,05 L/kg																										
			• Variáveis																										
			• 0,07 L/kg Distribuído no sangue; Ligado a proteínas plasmáticas no plasma totalitário; 0,07-0,1 L/kg Distribuído no plasma; 0,1 L/kg Ligado a componentes teciduais (por exemplo, proteínas, lipídios) altamente lipofílicos																										
BBB (Barreira Sangue-Cérebro)	+	0,05	• Rato BB-0,05 BBB; Rato BB-0,1 BBB																										
			• Dados variáveis tendem a refletir a permeação de BBB																										
			• Ligação de 0,3 mg/kg → 0-0,750 → 400-600 Des. molares																										
<div>81)</div> <div><a href="#">CB000097</a></div> <div></div> <div><b>4-[5-Methyl-4H-1,2,4-triazol-3-yl(methyl)aniline dihydrochloride</b></div> <div>Empirical Formula (Molecular Weight): <math>C_{10}H_{10}N_4</math></div> <div>Peso molecular: 205,22</div>	<table><tr><td>PPD (Capacidade de Proteínas Plasmáticas)</td><td>9,30%</td><td>9%</td><td>• Significativo com drogas que são altamente ligadas a proteínas e são fármacos terapêuticos</td></tr><tr><td>VD (Distribuição de Volume)</td><td>0,08 L/kg</td><td>0,04-0,1 L/kg</td><td>• Outras 0,04-0,05 L/kg</td></tr><tr><td></td><td></td><td></td><td>• Variáveis</td></tr><tr><td></td><td></td><td></td><td>• 0,07 L/kg Distribuído no sangue; Ligado a proteínas plasmáticas no plasma totalitário; 0,07-0,1 L/kg Distribuído no plasma; 0,1 L/kg Ligado a componentes teciduais (por exemplo, proteínas, lipídios) altamente lipofílicos</td></tr><tr><td>BBB (Barreira Sangue-Cérebro)</td><td>+</td><td>0,05</td><td>• Rato BB-0,05 BBB; Rato BB-0,1 BBB</td></tr><tr><td></td><td></td><td></td><td>• Dados variáveis tendem a refletir a permeação de BBB</td></tr><tr><td></td><td></td><td></td><td>• Ligação de 0,3 mg/kg → 0-0,750 → 400-600 Des. molares</td></tr></table>	PPD (Capacidade de Proteínas Plasmáticas)	9,30%	9%	• Significativo com drogas que são altamente ligadas a proteínas e são fármacos terapêuticos	VD (Distribuição de Volume)	0,08 L/kg	0,04-0,1 L/kg	• Outras 0,04-0,05 L/kg				• Variáveis				• 0,07 L/kg Distribuído no sangue; Ligado a proteínas plasmáticas no plasma totalitário; 0,07-0,1 L/kg Distribuído no plasma; 0,1 L/kg Ligado a componentes teciduais (por exemplo, proteínas, lipídios) altamente lipofílicos	BBB (Barreira Sangue-Cérebro)	+	0,05	• Rato BB-0,05 BBB; Rato BB-0,1 BBB				• Dados variáveis tendem a refletir a permeação de BBB				• Ligação de 0,3 mg/kg → 0-0,750 → 400-600 Des. molares
PPD (Capacidade de Proteínas Plasmáticas)	9,30%	9%	• Significativo com drogas que são altamente ligadas a proteínas e são fármacos terapêuticos																										
VD (Distribuição de Volume)	0,08 L/kg	0,04-0,1 L/kg	• Outras 0,04-0,05 L/kg																										
			• Variáveis																										
			• 0,07 L/kg Distribuído no sangue; Ligado a proteínas plasmáticas no plasma totalitário; 0,07-0,1 L/kg Distribuído no plasma; 0,1 L/kg Ligado a componentes teciduais (por exemplo, proteínas, lipídios) altamente lipofílicos																										
BBB (Barreira Sangue-Cérebro)	+	0,05	• Rato BB-0,05 BBB; Rato BB-0,1 BBB																										
			• Dados variáveis tendem a refletir a permeação de BBB																										
			• Ligação de 0,3 mg/kg → 0-0,750 → 400-600 Des. molares																										

82)

TMT00114



4-Chloro-3-[5,7-dimethylbenzo[d]oxazol-2-yl]aniline


Empirical Formula (Molecular Weight):  $C_{15}H_{13}ClN_2O_2$

Molar Weight: 273.73

PPV ClogP (Polar Surface Area)	0.3475	9%	<ul style="list-style-type: none"><li>Significant with drugs that are otherwise hydrophobic &amp; permeable &amp; also have other transporters</li></ul>
VD (Dissociation of Nitrogen)	-4.025 kJ	1.04-12.1 kJ	<ul style="list-style-type: none"><li>Other: 1.04-25.1 kJ</li><li>Neutral</li><li>-4.025 kJ Confirmed in drug; ClogP is permeable &amp; permeable in otherwise hydrophobic -4.025 kJ Dissociation in otherwise -4.025 kJ ClogP is permeable &amp; permeable (for example, permeable, hydrophobic, otherwise hydrophobic)</li></ul>
BD (Dissociation of Oxygen)	---	0.07	<ul style="list-style-type: none"><li>Acidic: BD &lt; -1.0 BD; Basic: BD &lt; -1.0 BD</li><li>Other: neutral &amp; permeable &amp; permeable &amp; permeable in BD</li><li>Hydrophobic: BD &lt; -1.0 BD &lt; -1.0 BD &lt; -1.0 BD</li></ul>

83)

TWT00139



2,6-Dibromo-4-(6-methylbenzo[d]thiazol-2-yl)aniline


Empirical Formula (Molecular Weight):  $C_{14}H_8Br_2N_2S$

Molar Weight: 346.12

PPV (Polar Surface Area)	0.0725	9%	<ul style="list-style-type: none"><li>Significant with drugs that are highly permeable &amp; have a low transporters</li></ul>
VD (Dissociation of Nitrogen)	-4.025 kJ	1.04-12.1 kJ	<ul style="list-style-type: none"><li>Other: 1.04-25.1 kJ</li><li>Neutral</li><li>-4.025 kJ Confirmed in drug; ClogP is permeable &amp; permeable in otherwise hydrophobic -4.025 kJ Dissociation in otherwise -4.025 kJ ClogP is permeable &amp; permeable (for example, permeable, hydrophobic, otherwise hydrophobic)</li></ul>
BD (Dissociation of Oxygen)	---	0.07	<ul style="list-style-type: none"><li>Acidic: BD &lt; -1.0 BD; Basic: BD &lt; -1.0 BD</li><li>Other: neutral &amp; permeable &amp; permeable &amp; permeable in BD</li><li>Hydrophobic: BD &lt; -1.0 BD &lt; -1.0 BD &lt; -1.0 BD</li></ul>

84)

SB1568



4-Aminobenzyl alcohol

Empirical Formula (Molecular Weight):  $C_8H_9NO$

Molar Weight: 135.15

CAE No: 622-00-6

EC No: 230-767-6

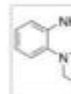
Pubchem No: 12313

Pubchem No: 2375480

PPV ClogP (Polar Surface Area)	0.0725	9%	<ul style="list-style-type: none"><li>Significant with drugs that are otherwise hydrophobic &amp; permeable &amp; also have other transporters</li></ul>
VD (Dissociation of Nitrogen)	-4.025 kJ	1.04-12.1 kJ	<ul style="list-style-type: none"><li>Other: 1.04-25.1 kJ</li><li>Neutral</li><li>-4.025 kJ Confirmed in drug; ClogP is permeable &amp; permeable in otherwise hydrophobic -4.025 kJ Dissociation in otherwise -4.025 kJ ClogP is permeable &amp; permeable (for example, permeable, hydrophobic, otherwise hydrophobic)</li></ul>
BD (Dissociation of Oxygen)	---	0.07	<ul style="list-style-type: none"><li>Acidic: BD &lt; -1.0 BD; Basic: BD &lt; -1.0 BD</li><li>Other: neutral &amp; permeable &amp; permeable &amp; permeable in BD</li><li>Hydrophobic: BD &lt; -1.0 BD &lt; -1.0 BD &lt; -1.0 BD</li></ul>

85)

663204



2-Morpholinoaniline

Empirical Formula (Molecular Weight):  $C_{10}H_{11}NO$

Molar Weight: 175.23

CAE No: 5585-33-1


EC No: 231-994-8

Pubchem No: 17523

PPV (Polar Surface Area)	0.0725	9%	<ul style="list-style-type: none"><li>Significant with drugs that are highly permeable &amp; have a low transporters</li></ul>
VD (Dissociation of Nitrogen)	-4.025 kJ	1.04-12.1 kJ	<ul style="list-style-type: none"><li>Other: 1.04-25.1 kJ</li><li>Neutral</li><li>-4.025 kJ Confirmed in drug; ClogP is permeable &amp; permeable in otherwise hydrophobic -4.025 kJ Dissociation in otherwise -4.025 kJ ClogP is permeable &amp; permeable (for example, permeable, hydrophobic, otherwise hydrophobic)</li></ul>
BD (Dissociation of Oxygen)	---	0.07	<ul style="list-style-type: none"><li>Acidic: BD &lt; -1.0 BD; Basic: BD &lt; -1.0 BD</li><li>Other: neutral &amp; permeable &amp; permeable &amp; permeable in BD</li><li>Hydrophobic: BD &lt; -1.0 BD &lt; -1.0 BD &lt; -1.0 BD</li></ul>

86)

264787



Disperse Orange 3

Empirical Formula (Molecular Weight):  $C_{18}H_{15}NO_3$

Molar Weight: 275.32

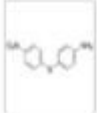
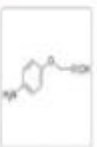
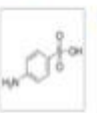

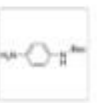
CAE No: 730-83-5

EC No: 211-994-8

Pubchem No: 24028

Pubchem No: 1362937

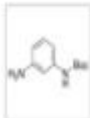
PPV ClogP (Polar Surface Area)	0.0725	9%	<ul style="list-style-type: none"><li>Significant with drugs that are otherwise hydrophobic &amp; permeable &amp; also have other transporters</li></ul>
VD (Dissociation of Nitrogen)	-4.025 kJ	1.04-12.1 kJ	<ul style="list-style-type: none"><li>Other: 1.04-25.1 kJ</li><li>Neutral</li><li>-4.025 kJ Confirmed in drug; ClogP is permeable &amp; permeable in otherwise hydrophobic -4.025 kJ Dissociation in otherwise -4.025 kJ ClogP is permeable &amp; permeable (for example, permeable, hydrophobic, otherwise hydrophobic)</li></ul>
BD (Dissociation of Oxygen)	---	0.07	<ul style="list-style-type: none"><li>Acidic: BD &lt; -1.0 BD; Basic: BD &lt; -1.0 BD</li><li>Other: neutral &amp; permeable &amp; permeable &amp; permeable in BD</li><li>Hydrophobic: BD &lt; -1.0 BD &lt; -1.0 BD &lt; -1.0 BD</li></ul>

<p>87)</p> <p><a href="#">A69188</a></p> <p></p> <p><b>4-Amino-4'-nitrodiphenyl sulfide</b></p> <p>Sinónimos: 4-(4-Nitrophenylthio)anilina          Fórmula Bruta: <math>C_{12}H_{10}N_2S</math>          CAS No.: 101-59-7    Peso molecular: 246,28          EC No.: 202-957-1</p>	<p>PPV (Ponto Fuso Realizado) 16,53 %    80 %    • Significativo with drugs that are highly protein bound and have a low therapeutic index</p> <p>Q2 (Distribuição de Volume) 4,754 L/kg    0,19-0,17 L/kg    • Optimal 0,04-0,05 L/kg</p> <p>• Range          &lt;0,07 L/kg Confined to blood, bound to plasma protein or highly hydrophilic; 0,07-0,17 L/kg Dosely distributed; &lt;0,1 L/kg bound to tissue components (e.g., protein, lipid) highly lipophilic</p> <p>BBB (Blood-Brain Barrier) +    0,194    • BB ratio &lt;0,1 BBB+ BB ratio &lt;0,1 BBB          • These factors tend to improve BBB permeability          0,194 (BBB) &lt; 0,12 BBB &lt; 0,02-0,05 BB ratio</p>
<p>88)</p> <p><a href="#">773754</a></p> <p></p> <p><b>4-Aminophenyl propargyl ether</b></p> <p>Sinónimos: 4-prop-2-yniloanilina          Empirical Formula (Molecular Weight): <math>C_{10}H_9NO</math>          CAS No.: 26557-78-8    Peso molecular: 147,17</p>	<p>PPV (Capacidade de Penetração Plasmática) 16,05 %    80 %    • Significativo com drogas que são altamente lipofílicas e possuem o alto grau de ligação</p> <p>Q2 (Distribuição de Volume) 4,524 L/kg    0,19-0,17 L/kg    • Optimal 0,04-0,05 L/kg</p> <p>• Toxicidade          &lt;0,07 L/kg Confined to blood, bound to plasma protein or highly hydrophilic; 0,07-0,17 L/kg Dosely distributed; &lt;0,1 L/kg bound to tissue components (e.g., protein, lipid) highly lipophilic</p> <p>BBB (Barreira Sangue-Cérebro) ++    0,122    • BB ratio &lt;0,1 BBB+ BB ratio &lt;0,1 BBB          • These factors tend to improve BBB permeability          0,122 (BBB) &lt; 0,12 BBB &lt; 0,02-0,05 BB ratio</p>
<p>89)</p> <p><a href="#">261817</a></p> <p></p> <p><b>Sulfanilic Acid</b></p> <p>Sinónimos: 4-Amino-4-sulfônico ácido, 4-aminobenzenesulfônico ácido, 4-aminobenzoic acid          Fórmula Bruta: <math>C_6H_7NO_3S</math>          CAS No.: 121-57-0    Peso molecular: 173,17          EC No.: 204-482-5    Substância: P05761</p>	<p>PPV (Ponto Fuso Realizado) 16,42 %    80 %    • Significativo with drugs that are highly protein bound and have a low therapeutic index</p> <p>Q2 (Volume Distribuído) 4,075 L/kg    0,19-0,17 L/kg    • Optimal 0,04-0,05 L/kg</p> <p>• Range          &lt;0,07 L/kg Confined to blood, bound to plasma protein or highly hydrophilic; 0,07-0,17 L/kg Dosely distributed; &lt;0,1 L/kg bound to tissue components (e.g., protein, lipid) highly lipophilic</p> <p>BBB (Blood-Brain Barrier) +    0,122    • BB ratio &lt;0,1 BBB+ BB ratio &lt;0,1 BBB          • These factors tend to improve BBB permeability          0,122 (BBB) &lt; 0,12 BBB &lt; 0,02-0,05 BB ratio</p>
<p>90)</p> <p><a href="#">656679</a></p> <p></p> <p><b>N-(4-Aminophenyl)piperidine</b></p> <p>Sinónimos: 4-(1-Piperidinil)anilina, 4-(1-Piperidinil)benzenamina          Empirical Formula (Molecular Weight): <math>C_{13}H_{19}N</math>          CAS No.: 2359-60-6    Peso molecular: 176,26</p>	<p>PPV (Capacidade de Penetração Plasmática) 16,77 %    80 %    • Significativo com drogas que são altamente lipofílicas e possuem o alto grau de ligação</p> <p>Q2 (Distribuição de Volume) 4,000 L/kg    0,19-0,17 L/kg    • Optimal 0,04-0,05 L/kg</p> <p>• Toxicidade          &lt;0,07 L/kg Confined to blood, bound to plasma protein or highly hydrophilic; 0,07-0,17 L/kg Dosely distributed; &lt;0,1 L/kg bound to tissue components (e.g., protein, lipid) highly lipophilic</p> <p>BBB (Barreira Sangue-Cérebro) ++    0,062    • BB ratio &lt;0,1 BBB+ BB ratio &lt;0,1 BBB          • These factors tend to improve BBB permeability          0,062 (BBB) &lt; 0,12 BBB &lt; 0,02-0,05 BB ratio</p>
<p>91)</p> <p><a href="#">154485</a></p> <p></p> <p><b>N-Boc-p-phenylenediamine</b></p> <p>Sinónimos: 1-(4-Aminobenzoyl)-N,N-dimethyl-2-methyl-2-oxo-1,3-dihydroisobenzazolidin-3-one          Fórmula Bruta: <math>C_{17}H_{19}N_3O_4</math>          CAS No.: 71029-69-9    Peso molecular: 339,36          EC No.: 275-132-7    Substância: 27600010</p>	<p>PPV (Ponto Fuso Realizado) 16,33 %    80 %    • Significativo with drugs that are highly protein bound and have a low therapeutic index</p> <p>Q2 (Volume Distribuído) 4,08 L/kg    0,19-0,17 L/kg    • Optimal 0,04-0,05 L/kg</p> <p>• Range          &lt;0,07 L/kg Confined to blood, bound to plasma protein or highly hydrophilic; 0,07-0,17 L/kg Dosely distributed; &lt;0,1 L/kg bound to tissue components (e.g., protein, lipid) highly lipophilic</p> <p>BBB (Blood-Brain Barrier) ++    0,122    • BB ratio &lt;0,1 BBB+ BB ratio &lt;0,1 BBB          • These factors tend to improve BBB permeability          0,122 (BBB) &lt; 0,12 BBB &lt; 0,02-0,05 BB ratio</p>



92)

52179

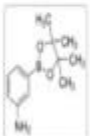


N-Boc-*m*-phenylenediamine

Synonyms: 3-(tert-butoxycarbonyl)-1-aminobenzene, 3-(tert-butoxycarbonyl)aniline  
Empirical Formula (Molecular Weight):  $C_{12}H_{15}NO_2$   
CAS No.: 48621-88-5    Ponto molecular: 235.26

93)

574686

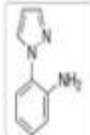


3-Aminophenylboronic acid pinacol ester

Synonyms: 3-(4,4,5,5-Tetramethyl-1,3,2-dioxaborolan-2-yl)aniline  
Empirical Formula (Molecular Weight):  $C_{12}H_{15}BO_2$   
CAS No.: 25967-64-9    Ponto molecular: 219.09

94)

753300

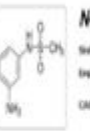


1-(2-Aminophenyl)-1H-pyrazole

Synonyms: 2-(1H-pyrazol-1-yl)aniline, 1-(2-aminophenyl)pyrazole  
Empirical Formula (Molecular Weight):  $C_8H_7N_3$   
CAS No.: 54705-91-8    Ponto molecular: 159.15

95)

548278

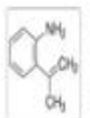


N-(3-Aminophenyl)methanesulfonamide

Synonyms: 3-(methanesulfonamido)aniline, 3-(3-aminophenyl)methanesulfonamide, 3-(3-aminophenyl)sulfonylamine  
Empirical Formula (Molecular Weight):  $C_7H_8N_2O_2S$   
CAS No.: 27045-79-1    Ponto molecular: 196.23

96)

194212



2-Isopropylaniline

Synonyms:  $H_2N-C_6H_4-CH_2-CH(CH_3)_2$   
CAS No.: 52542-19-0    Ponto molecular: 173.19  
EC No.: 259-008-7    Molécula No.: 3021217

PPB (Capacidade de Proteínas Plasmáticas)

96.01%

95%

- Significativo com drogas que são altamente ligadas a proteínas e têm baixa taxa de ligação.

VD (Distribuição de Volume)

4.06 L/kg

0.04-0.1 L/kg

- Ótimo 0.04-0.05 L/kg
- Fraco
- <0.1% lig. Distribuído no sangue. Ligado a proteínas plasmáticas no soro de ratos. Distribuído 0.07-0.1% lig. Distribuído exclusivamente <0.1% lig. Ligado a componentes teciduais (por exemplo, proteínas, lipídios, ácidos nucleicos).

BB (Barreira Sangue-Cérebro)

++

0.03

- Rato BB <0.1 BBB+ Rato BB <0.1 BBB-
- Essas barreiras tendem a reduzir a permeação de BB.
- Apesar de 0.03 (rato) - 0-0.05 - 400-500. Sem ácido.

PPB (Plasma Protein Binding)

75.62%

95%

- Significant with drugs that are highly protein-bound and have a low therapeutic index.

VD (Volume Distribution)

4.37 L/kg

0.04-0.1 L/kg

- Ótimo 0.04-0.05 L/kg
- Fraco
- <0.1% lig. Distribuído no sangue. Ligado a proteínas plasmáticas no soro de ratos. Distribuído 0.07-0.1% lig. Distribuído exclusivamente <0.1% lig. Ligado a componentes teciduais (por exemplo, proteínas, lipídios, ácidos nucleicos).

BB (Blood-Brain Barrier)

---

0.06

- BB rato <0.1 BBB+ BB rato <0.1 BBB-
- Essas barreiras tendem a reduzir a permeação de BB.
- Apesar de 0.06 (rato) - 0-0.05 - 400-500. Sem ácido.

PPB (Capacidade de Proteínas Plasmáticas)

85.88%

95%

- Significativo com drogas que são altamente ligadas a proteínas e têm baixa taxa de ligação.

VD (Distribuição de Volume)

0.087 L/kg

0.04-0.1 L/kg

- Ótimo 0.04-0.05 L/kg
- Fraco
- <0.1% lig. Distribuído no sangue. Ligado a proteínas plasmáticas no soro de ratos. Distribuído 0.07-0.1% lig. Distribuído exclusivamente <0.1% lig. Ligado a componentes teciduais (por exemplo, proteínas, lipídios, ácidos nucleicos).

BB (Barreira Sangue-Cérebro)

+

0.03

- Rato BB <0.1 BBB+ Rato BB <0.1 BBB-
- Essas barreiras tendem a reduzir a permeação de BB.
- Apesar de 0.03 (rato) - 0-0.05 - 400-500. Sem ácido.

PPB (Plasma Protein Binding)

94.97%

95%

- Significant with drugs that are highly protein-bound and have a low therapeutic index.

VD (Volume Distribution)

0.745 L/kg

0.04-0.1 L/kg

- Ótimo 0.04-0.05 L/kg
- Fraco
- <0.1% lig. Distribuído no sangue. Ligado a proteínas plasmáticas no soro de ratos. Distribuído 0.07-0.1% lig. Distribuído exclusivamente <0.1% lig. Ligado a componentes teciduais (por exemplo, proteínas, lipídios, ácidos nucleicos).

BB (Blood-Brain Barrier)

++

0.745

- BB rato <0.1 BBB+ BB rato <0.1 BBB-
- Essas barreiras tendem a reduzir a permeação de BB.
- Apesar de 0.745 (rato) - 0-0.05 - 400-500. Sem ácido.

PPB (Capacidade de Proteínas Plasmáticas)

95.72%

95%

- Significativo com drogas que são altamente ligadas a proteínas e têm baixa taxa de ligação.

VD (Distribuição de Volume)

0.21 L/kg

0.04-0.1 L/kg

- Ótimo 0.04-0.05 L/kg
- Fraco
- <0.1% lig. Distribuído no sangue. Ligado a proteínas plasmáticas no soro de ratos. Distribuído 0.07-0.1% lig. Distribuído exclusivamente <0.1% lig. Ligado a componentes teciduais (por exemplo, proteínas, lipídios, ácidos nucleicos).

BB (Barreira Sangue-Cérebro)

+

0.07

- Rato BB <0.1 BBB+ Rato BB <0.1 BBB-
- Essas barreiras tendem a reduzir a permeação de BB.
- Apesar de 0.07 (rato) - 0-0.05 - 400-500. Sem ácido.

97]

[476307](#)

### 3,4'-Oxydianiline

Formula bruta:  $C_{12}H_{11}NO_2$

CAS No.: 2672-87-4

EC No.: 229-190-6

Peso molecular: 203,24

98]

[476308](#)

### N,N-Dimethyl-1,3-phenylenediamine dihydrochloride

Resumo: O N,N-Dimethyl-1,3-phenylenediamine dihydrochloride é um composto químico utilizado em diversas aplicações, incluindo a síntese de produtos farmacêuticos e a produção de corantes.

Formula bruta:  $C_{12}H_{16}N_2Cl_2$

CAS No.: 2672-87-4

EC No.: 229-190-6

Peso molecular: 254,24

PPS (Ponto de Fusão)

8,70 °C

90

• Significativa com despois que são ligandos presentes em baixas temperaturas.

LD (Ponto de Líquido)

0,04 °C

0,04 (0,1) °C

• Ponto de Líquido: 0,04 °C

• Ponto de Líquido: 0,04 °C

• Ponto de Líquido: 0,04 °C

• Ponto de Líquido: 0,04 °C

• Ponto de Líquido: 0,04 °C

• Ponto de Líquido: 0,04 °C

• Ponto de Líquido: 0,04 °C

PPS (Ponto de Fusão)

8,70 °C

90

• Significativa com despois que são ligandos presentes em baixas temperaturas.

LD (Ponto de Líquido)

0,04 °C

0,04 (0,1) °C

• Ponto de Líquido: 0,04 °C

• Ponto de Líquido: 0,04 °C

• Ponto de Líquido: 0,04 °C

• Ponto de Líquido: 0,04 °C

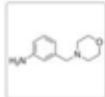
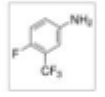
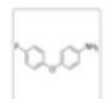
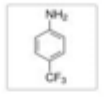
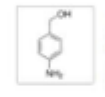
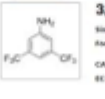
• Ponto de Líquido: 0,04 °C

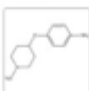
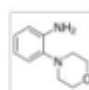
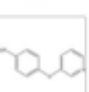
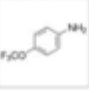
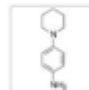

• Ponto de Líquido: 0,04 °C

• Ponto de Líquido: 0,04 °C


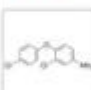
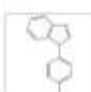
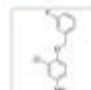

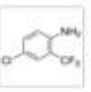
## ANEXO C - SCORE DAS MOLÉCULAS

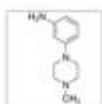
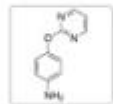
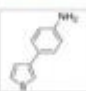
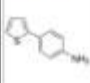
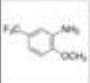
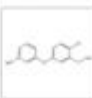
Classificação	Moléculas	BBB	Inibidor de quinase	Inibidor de enzima	Nota total
1) Molécula 49	 <p><b>3-(1,3-oxazol-5-yl)aniline</b>  Empirical Formula (Molecular Weight): <math>C_8H_7N_2O</math>  CAS No.: 157827-35-5    Pseudo-molecular: 160.17</p>	$0,727 \times 3 = 2,181$	$0,94 \times 2 = 1,88$	$0,62 \times 1 = 0,62$	4,681
2) Molécula 47	 <p><b>4-(Pyrrolidin-1-ylmethyl)aniline dihydrochloride</b>  Empirical Formula (Molecular Weight): <math>C_{10}H_{14}N_2</math>  Pseudo-molecular: 249.35</p>	$0,934 \times 3 = 2,802$	$0,67 \times 2 = 1,34$	$0,26 \times 1 = 0,26$	4,402
3) Molécula 55	 <p><b>3-(Pyrrolidin-1-ylmethyl)aniline dihydrochloride</b>  Empirical Formula (Molecular Weight): <math>C_{10}H_{14}N_2</math>  Pseudo-molecular: 249.35</p>	$0,929 \times 3 = 2,787$	$0,67 \times 2 = 1,34$	$0,25 \times 1 = 0,25$	4,377

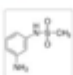
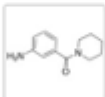
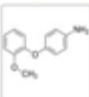
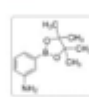
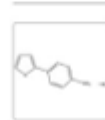
4) Molécula 43	<p>43) <a href="#">CD0007538</a></p>  <p><b>3-(morpholin-4-ylmethyl)aniline</b>  Empirical Formula (Molecular Weight): <math>C_{12}H_{13}NO</math>  Peso molecular: 192,26</p>	0,934x3=2,802	0,66x 2=1,32	0,20x 1=0,20	4,322
5) Molécula 27	<p>27) <a href="#">212778</a></p>  <p><b>4-Fluoro-3-(trifluoromethyl)aniline</b>  Sinônimo(s): 3-Amino-2-fluoro-4-(trifluorometil)benzidina  Formula bruta: <math>C_7H_5F_4N</math>  CAS No.: <a href="#">2357-47-3</a>    Peso molecular: 179,11  EC No.: <a href="#">219-095-2</a></p>	0,844x3=2,532	0,74 x 2=1,48	0,24 x 1=0,24	4,255
6) Molécula 01	<p>1) Produto n° <a href="#">695408</a></p>  <p><b>4-(4-Fluorophenoxy)aniline</b>  Empirical Formula (Molecular Weight): <math>C_{12}H_{11}FO</math>  CAS No.: <a href="#">36160-82-4</a>    Peso molecular: 203,21</p>	0,889x3=2,667	0,67 x 2= 1,34	0,23 x 1=0,23	4,237
7) Molécula 06	<p>6) <a href="#">224936</a></p>  <p><b>4-(Trifluoromethyl)aniline</b>  Sinônimo(s): 4-Aminodimetilfluorido, 4,4,4-Trifluoropirrolidina  Formula bruta: <math>C_7H_6F_3N</math>  CAS No.: <a href="#">455-16-5</a>    Peso molecular: 161,12  EC No.: <a href="#">207-236-5</a>    Sinônimo(s): <a href="#">1564853</a></p>	0,853x 3=2,559	0,71 x 2=1,42	0,24 x 1=0,24	4,219
8) Molécula 84	<p>84) <a href="#">191658</a></p>  <p><b>4-Aminobenzyl alcohol</b>  Sinônimo(s): 4-(Trifluorometil)benzidina  Formula bruta: <math>C_7H_9NO</math>  CAS No.: <a href="#">423-66-5</a>    Peso molecular: 123,13  EC No.: <a href="#">210-767-9</a>    Sinônimo(s): <a href="#">2075680</a></p>	0,738x 3=2,214	0,78 x 2=1,56	0,40 x 1=0,40	4,174
9) Molécula 11	<p>11) <a href="#">193138</a></p>  <p><b>3,5-Bis(trifluoromethyl)aniline</b>  Sinônimo(s): 3,5-Bis(trifluorometil)benzidina, 3,5-Bis(trifluorometil)benzidina  Formula bruta: <math>C_8H_5F_6N</math>  CAS No.: <a href="#">309-74-5</a>    Peso molecular: 229,12  EC No.: <a href="#">206-339-9</a>    Sinônimo(s): <a href="#">654258</a></p>	0,907 3= 2,721	0,62 x 2=1,24	0,21 x 1=0,21	4,171

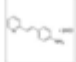
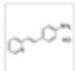
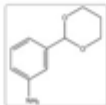
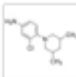
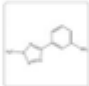

10) Molécula 33	<p>84) <a href="#">CBR00834</a></p>  <p><b>4-[(1-Methylpiperidin-4-yl)oxy]aniline</b>  Empirical Formula (Molecular Weight): <math>C_{15}H_{19}NO</math>  CAS No.: <a href="#">358789-72-7</a> Purity: 99.20%</p>	0,82x 3=2,487	0,69 x 2=1,38	0,30 x 1=0,30	4,167
11) Molécula 85	<p>85) <a href="#">883204</a></p>  <p><b>2-Morpholinoaniline</b>  Synonyms: 2-(2-Morpholino)aniline  Empirical Formula (Molecular Weight): <math>C_{10}H_{11}NO</math>  CAS No.: <a href="#">5585-33-1</a> Purity: 99.20%</p>	0,887x 3=2,661	0,66 x 2=1,32	0,18 x 1=0,18	4,161
12) Molécula 13	<p>13) <a href="#">CBR00248</a></p>  <p><b>4-(Pyridin-3-yloxy)aniline</b>  Empirical Formula (Molecular Weight): <math>C_{10}H_{8}NO</math>  CAS No.: <a href="#">80650-45-9</a> Purity: 99.20%</p>	0,688x 3=2,064	0,86 x 2=1,72	0,33 x 1=0,33	4,114
13) Molécula 19	<p>19) <a href="#">327658</a></p>  <p><b>4-(Trifluoromethoxy)aniline</b>  Synonyms: 4-(Trifluoromethoxy)aniline  Empirical Formula (Molecular Weight): <math>C_8H_7F_3NO</math>  CAS No.: <a href="#">461-62-5</a> Purity: 99.20%  EC No.: <a href="#">207-317-5</a> Mol. Weight: 209,0209</p>	0,877 x 3=2,631	0,62 x 2=1,24	0,24 x 1=0,24	4,111
14) Molécula 90	<p>90) <a href="#">556523</a></p>  <p><b>N-(4-Aminophenyl)piperidine</b>  Synonyms: 4-(2-Piperidinyl)aniline, 4-(2-Piperidinyl)aniline  Empirical Formula (Molecular Weight): <math>C_{12}H_{17}NO</math>  CAS No.: <a href="#">2359-60-6</a> Purity: 99.20%</p>	0,865x 3=2,595	0,64 x 2=1,28	0,23 x 1=0,23	4,105
15) Molécula 18	<p>18) <a href="#">222100</a></p>  <p><b>4-(Hexyloxy)aniline</b>  Empirical Formula (Molecular Weight): <math>C_{16}H_{23}NO</math>  CAS No.: <a href="#">39905-57-2</a> Purity: 99.20%  EC No.: <a href="#">254-696-6</a></p>	0,892x 3=2,676	0,56 x 2=1,12	0,25 x 1=0,25	4,046

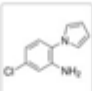
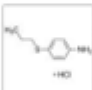
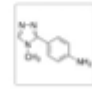
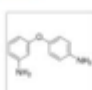
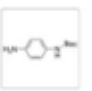
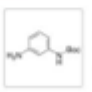


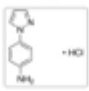
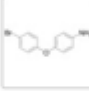
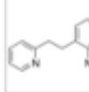
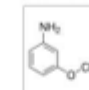
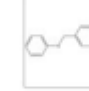
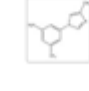
16) Molécula 34	<p>34) <a href="#">7340006</a></p>  <p><b>4-(HEPTYLOXY)ANILINE</b>  Formula (linear): <math>C_{27}H_{35}NO</math>  CAS No.: 29955-68-7    Prazo molecular: 207,31</p>	0,901x 3=2,703	0,54 x 2=1,08	0,24 x 1=0,24	4,023
17) Molécula 26	<p>26) <a href="#">681274</a></p>  <p><b>3-Chloro-4-(4-chlorophenoxy)aniline</b>  Formula (linear): <math>C_{15}H_{11}Cl_2NO</math>  CAS No.: 26900-79-6    Prazo molecular: 254,11  EC No.: 266-519-6</p>	0,835x 3=2,505	0,64 x 2= 1,28	0,20 x 1=0,20	3,985
18) Molécula 23	<p>23) <a href="#">CBR00251</a></p>  <p><b>4-(1H-Benzimidazol-1-yl)aniline</b>  Empirical Formula (Hill Notation): <math>C_{12}H_{10}N_3</math>  CAS No.: 12798-36-8    Prazo molecular: 239,25</p>	0,749x 3=2,247	0,74 x 2=1,48	0,24 x 1=0,24	3,967
19) Molécula 56	<p>56) <a href="#">608012378</a></p>  <p><b>3-chloro-4-(3-fluorobenzoyloxy)aniline</b>  Empirical Formula (Hill Notation): <math>C_{17}H_{13}ClFO_2</math>  Prazo molecular: 251,68</p>	0,876x 3=2,628	0,59 x 2= 1,18	0,15 x 1=0,15	3,958
20) Molécula 10	<p>10) <a href="#">695386</a></p>  <p><b>4-(4-Chlorophenoxy)aniline</b>  Empirical Formula (Hill Notation): <math>C_{12}H_{11}ClO</math>  CAS No.: 595-79-1    Prazo molecular: 219,67  EC No.: 202-976-5</p>	0,825x 3=2,475	0,63 x 2=1,26	0,21 x 1=0,21	3,945
21) Molécula 30	<p>30) <a href="#">60217727</a></p>  <p><b>4-Chloro-2-(trifluoromethyl)aniline</b>  Sistema de Nomenclatura: 4-Chloro-2-(trifluorometil)anilina; 2-Amino-4-clorobenzoato trifluorido  Formula (linear): <math>C_7H_5ClF_3N</math>  CAS No.: 445-03-4    Prazo molecular: 195,57  EC No.: 203-105-3</p>	0,83 x 3=2,49	0,62 x 2=1,24	0,20 x 1= 0,20	3,93

22) Molécula 54	<p>54) <a href="#">CD9904833</a></p>  <p><b>3-(4-methylpiperazin-1-yl)aniline</b>  Empirical Formula (Molecular Weight): <math>C_{12}H_{17}N_3</math>  Pseudo molecular: 191,27</p>	0,769 x 3=2,307	0,70 x 2=1,4	0,19 x 1=0,19	3,897
23) Molécula 31	<p>31) <a href="#">CD9906360</a></p>  <p><b>4-(2-Pyrimidin-2-yl)aniline</b>  Empirical Formula (Molecular Weight): <math>C_{12}H_{10}N_4</math>  Pseudo molecular: 187,20</p>	0,641 x 3=1,923	0,80 x 2=1,60	0,34 x 1=0,34	3,863
24) Molécula 12	<p>12) <a href="#">CD990892</a></p>  <p><b>4-(Thiophen-3-yl)aniline</b>  Empirical Formula (Molecular Weight): <math>C_{12}H_{10}S</math>  CAS No.: 88884-70-5 Pseudo molecular: 176,25</p>	0,601 x 3=1,803	0,85 x 2=1,7	0,31 x 1=0,31	3,813
25) Molécula 20	<p>20) <a href="#">CD9904668</a></p>  <p><b>4-(Thiophen-2-yl)aniline</b>  Molecular Weight: 176,25  Empirical Formula (Molecular Weight): <math>C_{12}H_{10}S</math>  CAS No.: 70059-48-9 Pseudo molecular: 176,25</p>	0,601 x 3=1,803	0,85 x 2=1,7	0,31 x 1=0,31	3,813
26) Molécula 29	<p>29) <a href="#">CD9905899</a></p>  <p><b>2-Methoxy-5-(trifluoromethyl)aniline</b>  Molecular Weight: 215,15  Empirical Formula (Molecular Weight): <math>C_9H_7F_3NO</math>  CAS No.: 349-65-5 Pseudo molecular: 215,15</p>	0,786 x 3=2,358	0,64 x 2=1,28	0,18 x 1=0,18	3,818
27) Molécula 05	<p>5) <a href="#">PH016744</a></p>  <p><b>3-(4-Chloro-3-ethylphenoxy)aniline</b>  Empirical Formula (Molecular Weight): <math>C_{15}H_{13}ClO</math>  CAS No.: 262266-18-8</p>	0,862 x 3=2,586	0,53 x 2= 1,06	0,16 x 1=0,16	3,806

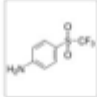
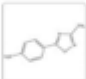
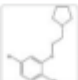
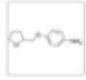
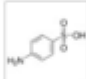
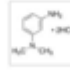
28) Molécula 95	<p>95) <a href="#">546278</a></p>  <p><b>N-(3-Aminophenyl)methanesulfonamide</b>  <small>Molecular Weight: 171.17; Molecular Formula: C<sub>6</sub>H<sub>7</sub>N<sub>2</sub>OS<sub>2</sub>; Empirical Formula (Hill Notation): C<sub>6</sub>H<sub>7</sub>N<sub>2</sub>OS<sub>2</sub>; CAS No.: 37548-79-1; Pseudo-molecular: 171.17</small></p>	0,748 x 3=2,244	0,65 x 2= 1,3	0,26 x 1=0,26	3,804
29) Molécula 46	<p>46) <a href="#">PH010713</a></p>  <p><b>3-(1-piperidinylcarbonyl)aniline</b>  <small>Molecular Weight: 204.274; Empirical Formula (Hill Notation): C<sub>12</sub>H<sub>13</sub>N<sub>2</sub>O; Pseudo-molecular: 204.274</small></p>	0,82 x 3=2,46	0,57 x 2=1,14	0,20 x 1=0,20	3,8
30) Molécula 09	<p>9) <a href="#">CBR01173</a></p>  <p><b>4-(2-Methoxyphenoxy)aniline</b>  <small>Molecular Weight: 215.25; Empirical Formula (Hill Notation): C<sub>12</sub>H<sub>11</sub>NO<sub>2</sub>; CAS No.: 13066-01-6; Pseudo-molecular: 215.25</small></p>	0,78 x 3=2,34	0,61 x 2=1,22	0,23 x 1=0,23	3,79
31) Molécula 93	<p>93) <a href="#">574686</a></p>  <p><b>3-Aminophenylboronic acid pinacol ester</b>  <small>Molecular Weight: 229.20; Empirical Formula (Hill Notation): C<sub>12</sub>H<sub>15</sub>BN<sub>2</sub>O<sub>3</sub>; CAS No.: 229907-04-9; Pseudo-molecular: 229.20</small></p>	0,299 x 3=0,897	0,94 x 2=1,88	1,01 x 1= 1,01	3,787
32) Molécula 44	<p>44) <a href="#">CBR00754</a></p>  <p><b>4-(2-Furyl)aniline hydrochloride</b>  <small>Molecular Weight: 195.65; Empirical Formula (Hill Notation): C<sub>10</sub>H<sub>7</sub>NO; Pseudo-molecular: 195.65</small></p>	0,785 x 3=2,355	0,60 x 2=1,2	0,16 x 1=0,16	3,715

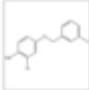
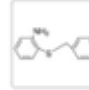
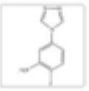
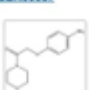
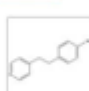
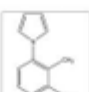
33) Molécula	<p>68)</p> <p><a href="#">PHE16248</a></p>  <p><b>4-[(E)-2-(2-Pyridinyl)ethenyl]aniline dihydrochloride</b>  Empirical Formula (Hill Notation): <math>C_{12}H_{10}N_2Cl_2</math>  Pseudo-molecular: 289.17</p>	0,628x3=1,884	0,75 x 2=1,5	0,33 x 1=0,33	3,714
34) Molécula 74	<p>74)</p> <p><a href="#">PHE19187</a></p>  <p><b>(E)-4-[2-(2-Pyridin-2-yl)vinyl]aniline hydrochloride</b>  Empirical Formula: <math>C_{12}H_{10}N_2Cl</math></p>	0,628x3=1,884	0,75 x 2=1,5	0,33 x 1=0,33	3,714
35) Molécula 60	<p>60</p> <p><a href="#">TMT00020</a></p>  <p><b>3-(1,3-Dioxan-2-yl)aniline</b>  Empirical Formula (Hill Notation): <math>C_{12}H_{14}O_2</math>  Pseudo-molecular: 179.22</p>	0,782 x 3=2,346	0,52 x 2=1,04	0,29 x 1=0,29	3,676
36) Molécula 67	<p>67)</p> <p><a href="#">CD5919943</a></p>  <p><b>3-Chloro-4-(3,5-dimethyl-1-piperidinyl)aniline</b>  Empirical Formula (Hill Notation): <math>C_{19}H_{24}ClN</math>  Pseudo-molecular: 288.76</p>	0,89 x 3=2,67	0,46 x 2=0,92	0,06 x 1=0,06	3,65
37) Molécula 63	<p>63)</p> <p><a href="#">CBR60369</a></p>  <p><b>3-(2-Methyl-2H-tetrazol-5-yl)aniline</b>  Empirical Formula (Hill Notation): <math>C_{10}H_8N_4</math>  Pseudo-molecular: 190.28</p>	0,66 x 3=1,98	0,68 x 2=1,36	0,30 x 1=0,30	3,64
38) Molécula 76	<p>76)</p> <p><a href="#">BBO980519</a></p>  <p><b>4-(2-(Pyrrolidin-1-yl)ethyl)aniline hydrochloride</b>  Empirical Formula (Hill Notation): <math>C_{12}H_{14}N_2Cl</math>  Pseudo-molecular: 226.75</p>	0,628 x 3=1,884	0,69 x 2=1,38	0,33 x 1=0,33	3,594

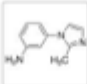
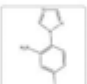

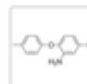
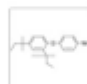
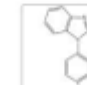
39) Molécula 78	78) <a href="#">P18010467</a>  <b>5-chloro-2-(1H-pyrrol-1-yl)aniline</b> Formula linear: <chem>C4H4Nc1cc(Cl)ccc1</chem> Peso molecular: 192,65	0,68 x 3=2,04	0,67 x 2=1,34	0,21 x 1=0,21	3,59
40) Molécula 32	32) <a href="#">CBR01438</a>  <b>4-(Propylthio)aniline hydrochloride</b> Empirical Formula (Hill Notation): <chem>C9H11NS</chem> Peso molecular: 205,73	0,817 x 3=2,451	0,46 x 2=0,92	0,20 x 1=0,20	3,571
41) Molécula 72	72) <a href="#">CD5015579</a>  <b>4-(4-methyl-4H-1,2,4-triazol-3-yl)aniline</b> Empirical Formula (Hill Notation): <chem>C6H7N4</chem> Peso molecular: 174,20	0,83 x 3=2,49	0,45 x 2=0,9	0,17 x 1=0,17	3,56
42) Molécula 97	97) <a href="#">478287</a>  <b>3,4'-Oxydianiline</b> Formula linear: <chem>Nc1ccc(Oc2ccc(N)cc2)cc1</chem> CAS No.: 2657-87-6 EC No.: 220-190-0 Peso molecular: 200,24	0,634 x 3=1,902	0,69 x 2= 1,38	0,27 x 1=0,27	3,552
43) Molécula 91	91) <a href="#">18486</a>  <b>N-Boc-p-phenylenediamine</b> Molecular Weight: 209,25 Formula linear: <chem>CC(C)(C)OC(=O)Nc1ccc(N)cc1</chem> CAS No.: 73028-66-9 EC No.: 275-132-7 Peso molecular: 209,25 Molecular Weight: 209,25	0,723 x 3=2,169	0,56 x 2=1,12	0,26 x 1=0,26	3,549
44) Molécula 92	92) <a href="#">82178</a>  <b>N-Boc-m-phenylenediamine</b> Molecular Weight: 209,25 Formula linear: <chem>CC(C)(C)OC(=O)Nc1cccc(N)c1</chem> CAS No.: 68625-88-5 Peso molecular: 209,25	0,713 x 3=2,139	0,57 x 2=1,14	0,25 x 1=0,25	3,529

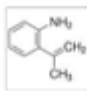
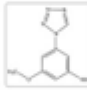
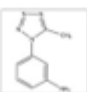
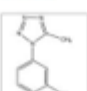
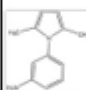
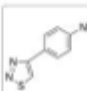
45) Molécula 59	<p>991 <a href="#">CBR01118</a></p>  <p><b>4-((1H-Pyrazol-1-yl)amino)aniline hydrochloride</b> Empirical Formula (Hill Notation): <math>C_8H_8ClN_3</math> Molecular Weight: 185,65</p>	0,519 x 3=1,557	0,80 x 2= 1,60	0,35 x 1=0,35	3,507
46) Molécula 08	<p>8) <a href="#">695394</a></p>  <p><b>4-(4-Bromophenoxy)aniline</b> Empirical Formula (Hill Notation): <math>C_{12}H_{11}BrO</math> CAS No.: 31465-35-7 Molecular Weight: 264,12</p>	0,706 x 3=2,109	0,60 x 2=1,20	0,18 x 1=0,18	3,489
47) Molécula 52	<p>52) <a href="#">CD500874</a></p>  <p><b>2-[2-(2-Pyridinyl)ethyl]aniline</b> Empirical Formula (Hill Notation): <math>C_{12}H_{11}N_2</math> Molecular Weight: 199,26</p>	0,545 x 3=1,635	0,74 x 2=1,48	0,36 x 1=0,36	3,475
48) Molécula 17	<p>17) <a href="#">866446</a></p>  <p><b>3-(Difluoromethoxy)aniline</b> Formula (Hill): <math>C_7H_7F_2O</math> CAS No.: 22236-08-4 Molecular Weight: 159,13</p>	0,784 x 3=2,352	0,46 x 2=0,92	0,20 x 1=0,20	3,472
49) Molécula 14	<p>14) <a href="#">KOB0081</a></p>  <p><b>4-[(Phenylsulfanyl)methyl]aniline</b> Empirical Formula (Hill Notation): <math>C_{12}H_{11}S</math> CAS No.: 13738-70-0 Molecular Weight: 215,31</p>	0,781 x 3=2,343	0,46 x 2=0,92	0,19 x 1=0,19	3,453
50) Molécula 58	<p>58) <a href="#">VBP00126</a></p>  <p><b>3-[4-Methyl-1H-imidazol-1-yl]-5-(trifluoromethyl)aniline</b> Empirical Formula (Hill Notation): <math>C_{12}H_{10}F_3N_3</math> CAS No.: 660275-13-5 Molecular Weight: 295,25</p>	0,55 x 3=1,65	0,69 x 2= 1,38	0,40 x 1=0,40	3,43

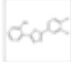
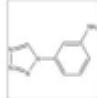
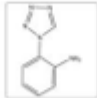
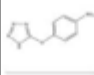
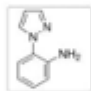
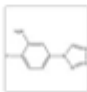


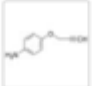
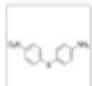
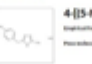
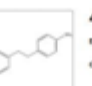


51) Molécula 16	<p>10) <a href="#">681920</a></p>  <p><b>4-(Trifluoromethylsulfonyl)aniline</b>          Fórmula Bruta: <math>\text{C}_7\text{H}_5\text{F}_3\text{O}_2\text{S}</math>          CAS No.: <a href="#">479-27-8</a>    Peso molecular: 225,19</p>	0,707 x 3=2,121	0,48 x 2=0,96	0,33 x 1=0,33	3,411
52) Molécula 42	<p>42) <a href="#">CBR02158</a></p>  <p><b>4-(3-Methyl-1,2,4-oxadiazol-5-yl)aniline</b>          Fórmula Bruta: <math>\text{C}_9\text{H}_8\text{N}_2\text{O}</math>          CAS No.: <a href="#">76633-21-9</a>    Peso molecular: 176,19</p>	0,695 x 3=2,085	0,55 x 2=1,1	0,22 x 1=0,22	3,405
53) Molécula 80	<p>80) <a href="#">QTY00862</a></p>  <p><b>4-Bromo-2-(2-(pyrrolidin-1-yl)ethoxy)aniline</b>          Fórmula Bruta: <math>\text{C}_{14}\text{H}_{18}\text{BrN}</math>          Peso molecular: 285,19</p>	0,661x3=1,983	0,63 x 2=1,26	0,16 x 1=0,16	3,403
54) Molécula 02	<p>2) <a href="#">CBR01229</a></p>  <p><b>4-(Tetrahydrofuran-2-ylmethoxy)aniline</b>          Fórmula Bruta: <math>\text{C}_{12}\text{H}_{14}\text{O}_2</math>          CAS No.: <a href="#">91246-62-6</a>    Peso molecular: 190,24</p>	0,836 x 3=2,508	0,40 x 2=0,8	0,08 x 1=0,08	3,388
55) Molécula 89	<p>89) <a href="#">221817</a></p>  <p><b>Sulfanilic Acid</b>          Molécula: <math>\text{NC}_6\text{H}_4\text{SO}_3\text{H}</math>          Fórmula Bruta: <math>\text{C}_6\text{H}_7\text{NO}_3\text{S}</math>          CAS No.: <a href="#">121-57-3</a>    Peso molecular: 173,19          EC No.: <a href="#">204-482-5</a>    Ref. Bruta No.: <a href="#">908765</a></p>	0,629 x 3=1,887	0,55 x 2=1,1	0,39 x 1= 0,39	3,377
56) Molécula 98	<p>98) <a href="#">219202</a></p>  <p><b>N,N-Dimethyl-1,3-phenylenediamine dihydrochloride</b>          Molécula: <math>\text{C}_{10}\text{H}_{14}\text{N}_2\text{Cl}_2</math>          Fórmula Bruta: <math>\text{C}_{10}\text{H}_{14}\text{N}_2\text{Cl}_2</math>          CAS No.: <a href="#">2571-52-4</a>    Peso molecular: 209,12          Ref. Bruta No.: <a href="#">341424</a></p>	0,562 x 3=1,686	0,73 x 2=1,46	0,23 x 1=0,23	3,376

57) Molécula 53	31) <a href="#">CBP00088</a>  <b>2-Chloro-4-(3-fluorobenzoyloxy)aniline</b> Empirical Formula (Molecular Weight): $C_{12}H_{11}ClFO_2$ Molecular Weight: 255.68	0,511x3=1,533	0,74 x 2=1,48	0,36 x 1=0,36	3,373
58) Molécula 35	35) <a href="#">BT94121</a>  <b>2-(BENZYLTHIO)ANILINE</b> Molecular Weight: $C_{12}H_{11}S$ CAS No.: 6325-92-4 Molecular Weight: 215.219	0,648x3=1,944	0,57 x 2=1,14	0,28 x 1=0,28	3,364
59) Molécula 50	40) <a href="#">CBR00086</a>  <b>2-Fluoro-5-(4H-1,2,4-triazol-4-yl)aniline</b> Empirical Formula (Molecular Weight): $C_9H_6F_2N_4$ CAS No.: 1062764-13-9 Molecular Weight: 178.17	0,71 x 3=2,13	0,56 x 2=1,12	0,06 x 1=0,06	3,31
60) Molécula 38	38) <a href="#">CBR00087</a>  <b>4-(2-Morpholin-4-yl-2-oxoethoxy)aniline</b> Empirical Formula (Molecular Weight): $C_{17}H_{20}N_2O_3$ CAS No.: 74870-09-2 Molecular Weight: 336.37	0,781 x 3=2,343	0,45 x 2=0,9	0,06 x 1=0,06	3,303
61) Molécula 73	73) <a href="#">TMT00306</a>  <b>4-(2-(Pyridin-4-yl)ethyl)aniline</b> Empirical Formula (Molecular Weight): $C_{12}H_{12}N_2$ CAS No.: 6218-79-2 Molecular Weight: 190.26	0,532x3=1,596	0,69 x 2=1,38	0,31 x 1=0,31	3,286
62) Molécula 39	39) <a href="#">CBR00024</a>  <b>2-Methyl-3-(1H-pyrrol-1-yl)aniline</b> Empirical Formula (Molecular Weight): $C_{10}H_{10}N_2$ CAS No.: 137352-75-1 Molecular Weight: 172.20	0,69 x 3=2,07	0,55 x 2=1,1	0,11 x 1=0,11	3,28

63) Molécula 66	66) <a href="#">CD8017202</a>  <b>3-(2-methyl-1H-imidazol-1-yl)aniline</b> Empirical Formula (Molecular Weight): $C_{10}H_{10}N_3$ CAS No.: 17523 Peso molecular: 175,23	0,534 x 3=1,602	0,69 x 2=1,38	0,29 x 1=0,29	3,272
64) Molécula 51	51) <a href="#">CBR00446</a>  <b>5-Chloro-2-(1H-1,2,4-triazol-1-yl)aniline</b> Empirical Formula (Molecular Weight): $C_8H_6ClN_4$ CAS No.: 450299-92-5 Peso molecular: 194,62	0,719x3=2,157	0,54 x 2=1,08	0,01 x 1=0,01	3,247
65) Molécula 70	70) <a href="#">S620072</a>  <b>2-(2-(4-tert-octylphenoxy)ethoxy)aniline</b> Empirical Formula (Molecular Weight): $C_{24}H_{30}O_2$ CAS No.: 114203-80-4 Peso molecular: 342,456	0,769 x 3=2,307	0,38 x 2=0,76	0,12 x 1=0,12	3,187
66) Molécula 65	65) <a href="#">S508098</a>  <b>5-CHLORO-2-(P-TOLYLOXY)ANILINE</b> Empirical Formula (Molecular Weight): $C_{11}H_{10}ClO$ CAS No.: 16824-48-9 Peso molecular: 233,7	0,647 x 3=1,941	0,55 x 2=1,1	0,13 x 1=0,13	3,171
67) Molécula 61	61) <a href="#">9887107</a>  <b>4-(2,4-DI-TERT-PENTYLOXY)ANILINE</b> Empirical Formula (Molecular Weight): $C_{24}H_{34}O_2$ CAS No.: 112322-67-9 Peso molecular: 326,498	0,677 x 3=2,031	0,45 x 2=0,9	0,23 x 1=0,23	3,161
68) Molécula 28	28) <a href="#">CBR00381</a>  <b>4-(1H-Benzimidazol-1-yl)aniline</b> Empirical Formula (Molecular Weight): $C_{15}H_{11}N_3$ CAS No.: 52708-36-6 Peso molecular: 239,25	0,749 x 3=1,437	0,74 x 2=1,48	0,24 x 1=0,24	3,157



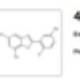
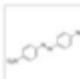
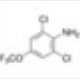
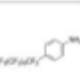
69) Molécula 96	<p>96)</p> <p><a href="#">184212</a></p>  <p><b>2-Isopropenylaniline</b></p> <p>Formula Bruta: <math>C_{10}H_{11}N</math></p> <p>CAS No.: 52542-19-3      Ponderal molecular: 133,19</p> <p>EC No.: 258-008-7      Molécula No.: 2081217</p>	0,587 x 3=1,761	0,57 x 2=1,14	0,22 x 1=0,22	3,121
70) Molécula 37	<p>77)</p> <p><a href="#">CBR00244</a></p>  <p><b>3-Methoxy-5-(1H-tetrazol-1-yl)aniline</b></p> <p>Empirical Formula (Molecular Weight): <math>C_9H_8N_4O</math></p> <p>CAS No.: 883295-48-0      Ponderal molecular: 191,19</p>	0,728x3=2,184	0,45 x 2=0,9	0,03 x 1=0,03	3,114
71) Molécula 36	<p>96)</p> <p><a href="#">CBR00286</a></p>  <p><b>3-(5-Methyl-1H-tetrazol-1-yl)aniline</b></p> <p>Empirical Formula (Molecular Weight): <math>C_9H_8N_4</math></p> <p>CAS No.: 500705-24-6      Ponderal molecular: 175,19</p>	0,744 x 3=2,32	0,36 x 2=0,72	0,06 x 1=0,06	3,1
72) Molécula 45	<p>95)</p> <p><a href="#">CBR00286</a></p>  <p><b>3-(5-Methyl-1H-tetrazol-1-yl)aniline</b></p> <p>Empirical Formula (Molecular Weight): <math>C_9H_8N_4</math></p> <p>CAS No.: 500705-24-6      Ponderal molecular: 175,19</p>	0,744 x 3=2,232	0,36 x 2=0,72	0,06 x 1=0,06	3,012
73) Molécula 41	<p>94)</p> <p><a href="#">CBR00198</a></p>  <p><b>3-(2,5-Dimethyl-1H-pyrrol-3-yl)aniline</b></p> <p>Empirical Formula (Molecular Weight): <math>C_{12}H_{14}N_2</math></p> <p>CAS No.: 247225-93-8      Ponderal molecular: 186,25</p>	0,723x3=2,169	0,45 x 2=0,9	0,02 x 1=0,02	3,089
74) Molécula 57	<p>77)</p> <p><a href="#">CD8014347</a></p>  <p><b>4-(1,2,3-thiadiazol-4-yl)aniline</b></p> <p>Empirical Formula (Molecular Weight): <math>C_7H_6N_2S</math></p> <p>Ponderal molecular: 177,23</p>	0,258x3=0,774	0,87 X 2=1,74	0,47 X 1=0,47	2,984

75) Molécula 48	<p>48) <a href="#">Pub18685</a></p>  <p><b>2-[5-(3,4-Dichlorophenyl)-1,3,4-oxadiazol-2-yl]aniline</b>  Molecular Formula: <math>C_{12}H_8Cl_2N_2</math>  CAS No.: 57120-90-1</p>	0,655x3=1,965	0,41 x 2=0,82	0,19 x 1=0,19	2,975
76) Molécula 04	<p>4) <a href="#">CBR01855</a></p>  <p><b>3-(1H-Tetrazol-1-yl)aniline</b>  Empirical Formula (Molecular Weight): <math>C_7H_5N_4</math>  CAS No.: 54213-12-8 Molecular Weight: 161,16</p>	0,646 x 3=1,938	0,49 x 2= 0,98	0,05 x 1=0,05	2,968
77) Molécula 24	<p>24) <a href="#">CBR00078</a></p>  <p><b>2-(1H-Tetrazol-1-yl)aniline</b>  Empirical Formula (Molecular Weight): <math>C_7H_5N_4</math>  CAS No.: 14210-51-6 Molecular Weight: 161,16</p>	0,673 x 3=2,019	0,47 x 2=0,94	-0,02 x 1= -0,02	2,939
78) Molécula 25	<p>25) <a href="#">CBR00260</a></p>  <p><b>4-(1H-Tetrazol-5-yloxy)aniline</b>  Empirical Formula (Molecular Weight): <math>C_7H_5N_4O</math>  CAS No.: 467226-44-4 Molecular Weight: 177,16</p>	0,461 x 3=1,383	0,66 x 2=1,32	0,23 x 1=0,23	2,933
79) Molécula 94	<p>94) <a href="#">782260</a></p>  <p><b>1-(2-Aminophenyl)-1H-pyrazole</b>  Molecular Weight: 139,13  Empirical Formula (Molecular Weight): <math>C_8H_7N_3</math>  CAS No.: 54705-91-6 Molecular Weight: 139,13</p>	0,555 x 3=1,665	0,60 x 2= 1,2	0,04 x 1=0,04	2,905
80) Molécula 62	<p>62) <a href="#">CBR02023</a></p>  <p><b>2-Fluoro-5-(1H-tetrazol-1-yl)aniline</b>  Empirical Formula (Molecular Weight): <math>C_7H_4FN_4</math>  Molecular Weight: 127,16</p>	0,583 x 3=1,749	0,51 x 2=1,02	0,01 x 1=0,01	2,779

81) Molécula 88	<p>88) <a href="#">773784</a></p>  <p><b>4-Aminophenyl propargyl ether</b>  Molecular Weight: 146,15 g/mol  Empirical Formula (Molecular Weight): <math>C_9H_9NO</math>  CAS No.: <a href="#">26557-78-8</a>    Purity: 147,17</p>	0,722 x 3=1,166	0,62 x 2=1,24	0,27 x 1=0,27	2,676
82) Molécula 87	<p>87) <a href="#">A69188</a></p>  <p><b>4-Amino-4'-nitrodiphenyl sulfide</b>  Molecular Weight: 246,29 g/mol  Empirical Formula (Molecular Weight): <math>C_{12}H_9N_2OS</math>  CAS No.: <a href="#">301-59-7</a>    Purity: 246,29  EC No.: <a href="#">202-957-1</a></p>	0,544 x 3=1,632	0,43 x 2=0,86	0,17 x 1=0,17	2,662
83) Molécula 81	<p>81) <a href="#">CBR00097</a></p>  <p><b>4-((5-Methyl-4H-1,2,4-triazol-3-yl)methyl)aniline dihydrochloride</b>  Molecular Weight: 261,25 g/mol  Purity: 261,25</p>	0,345x3=1,035	0,67 x 2=1,34	0,24 x 1=0,24	2,615
84) Molécula 71	<p>71) <a href="#">TMT06306</a></p>  <p><b>4-(2-(Pyridin-4-yl)ethyl)aniline</b>  Empirical Formula (Molecular Weight): <math>C_{12}H_{11}N_2</math>  CAS No.: <a href="#">6318-70-3</a>    Purity: 195,26</p>	0,532 x 3=1,596	0,69 x 2=0,69	0,31 x 1=0,31	2,596
85) Molécula 69	<p>69) <a href="#">CO5006603</a></p>  <p><b>4-(4'-aminomethyl)phenyl-1-N-Boc aniline</b>  Empirical Formula (Molecular Weight): <math>C_{17}H_{19}NO_2</math>  Purity: 295,38</p>	0,528x3=1,584	0,38 x 2=0,76	0,22 x 1=0,22	2,564
86) Molécula 21	<p>21) <a href="#">CBR00146</a></p>  <p><b>3-(1,3-Thiazol-4-yl)aniline</b>  Empirical Formula (Molecular Weight): <math>C_8H_7NS</math>  CAS No.: <a href="#">134812-28-5</a>    Purity: 176,24</p>	0,185 x 3=0,555	0,83 x 2=1,626	0,35 x 1=0,35	2,531



87) Molécula 22	<p>32) <a href="#">CBR00254</a></p> <p><b>4-[(1,3-Thiazol-4-yl)aniline]</b> Empirical Formula (Molecular Weight): <math>C_9H_7N_2S</math> CAS No.: <a href="#">60759-10-6</a> Pico molecular: 176,24</p>	0,185 x 3=0,555	0,81 x 2=1,62	0,33 x 1=0,33	2,505
88) Molécula 07	<p>7) <a href="#">686380</a></p> <p><b>4-[(Trimethylsilyl)ethynyl]aniline</b> Empirical Formula (Molecular Weight): <math>C_{12}H_{15}Si</math> CAS No.: <a href="#">75867-39-9</a> Pico molecular: 189,33</p> <p>Compartir Nº do produto Descrição</p>	não foi possível calcular	0,90 x 2=1,80	0,65 x 1=0,65	2,45
89) Molécula 40	<p>40) <a href="#">CBR01282</a></p> <p><b>2-Methyl-5-(1H-tetrazol-1-yl)aniline</b> Empirical Formula (Molecular Weight): <math>C_9H_7N_4</math> CAS No.: <a href="#">384860-18-8</a> Pico molecular: 175,19</p>	0,511 x 3=1,533	0,45 x 2=0,9	0,01 x 1=0,01	2,443
90) Molécula 64	<p>64) <a href="#">CD5004111</a></p> <p><b>4-(2-methyl-1,3-thiazol-4-yl)aniline</b> Empirical Formula (Molecular Weight): <math>C_{11}H_{11}N_2S</math> CAS No.: <a href="#">25025-69-2</a> Pico molecular: 190,26</p>	0,192 x 3=0,576	0,61 x 2=1,22	0,19 x 1=0,19	1,986
91) Molécula 83	<p>83) <a href="#">TMT00138</a></p> <p><b>2,6-Dibromo-4-(6-methylbenzo[d]thiazol-2-yl)aniline</b> Empirical Formula (Molecular Weight): <math>C_{17}H_{11}Br_2N_2S</math> Pico molecular: 395,12</p>	0,279 x 3=0,837	0,49 x 2=0,98	0,06 x 1=0,06	1,877
92) Molécula 75	<p>75) <a href="#">CD5000952</a></p> <p><b>4-[4-(4-fluorophenyl)-1,3-thiazol-2-yl]aniline</b> Empirical Formula (Molecular Weight): <math>C_{17}H_{11}FN_2S</math> Pico molecular: 279,32</p>	0,116x3=0,348	0,63 x 2=1,26	0,20 x 1=0,20	1,808

93) Molécula 77	<p>77) <a href="#">DTV000483</a></p>  <p><b>3-(6-Methylimidazo[1,2-a]pyridin-2-yl)aniline</b>  Empirical Formula (Molecular Weight): <math>C_{12}H_{10}N_4</math>  Molecular Weight: 222,27</p>	0,05 x 3=0,15	0,75 x 2=1,5	0,19 x 1=0,19	1,84
94) Molécula 79	<p>79) <a href="#">DTV000483</a></p>  <p><b>3-(6-Methylimidazo[1,2-a]pyridin-2-yl)aniline</b>  Empirical Formula (Molecular Weight): <math>C_{12}H_{10}N_4</math>  Molecular Weight: 222,27</p>	0,128 x 3=0,384	0,53 x 2=1,06	0,28 x 1=0,28	1,724
95) Molécula 82	<p>82) <a href="#">TMT001154</a></p>  <p><b>4-Chloro-3-(5,7-dimethylbenzo[d]oxazol-2-yl)aniline</b>  Empirical Formula (Molecular Weight): <math>C_{20}H_{17}ClN_2O_2</math>  Molecular Weight: 375,73</p>	0,187x3=0,561	0,40 x 2=0,8	0,18 x 1=0,18	1,544
96) Molécula 86	<p>86) <a href="#">264787</a></p>  <p><b>Disperse Orange 3</b>  Synonyms: 4-(4-Nitrophenyl)azobenzene  Formula Weight: <math>C_{18}H_{15}N_3O_2</math>  CAS No.: 730-60-5 Molecular Weight: 343,33  EC No.: 215-954-8 Synonyms No.: 1542957</p>	0,156 x 3=0,468	0,45 x 2=0,9	0,12 x 1=0,12	1,488
97) Molécula 03	<p>3) <a href="#">429899</a></p>  <p><b>2,6-Dichloro-4-(trifluoromethoxy)aniline</b>  Formula Weight: <math>C_8H_5Cl_2F_3NO</math>  CAS No.: 99479-66-0 Molecular Weight: 246,05</p>	não foi possível calcular	0,39 x 2=0,78	0,21 x 1=0,21	0,99
98) Molécula 15	<p>15) <a href="#">28623</a></p>  <p><b>4-(Heptadecafluorooctyl)aniline</b>  Synonyms: 4-(7H-Perfluorooctyl)aniline  Empirical Formula (Molecular Weight): <math>C_{22}H_9F_{17}N</math>  CAS No.: 83766-52-3 Molecular Weight: 511,58</p>	não foi possível calcular	-0,34 x 2= -0,68	-0,36 x 1= -0,36	-1,04